



HILTI

HILTI HIT-HY 200-R V3 INJECTION MORTAR

ETA-19/0601 (10.12.2019)



<u>English</u>	2-41
<u>Deutsch</u>	43-82
<u>Français</u>	84-123
<u>Polski</u>	125-166

Approval body for construction products
and types of construction

Bautechnisches Prüfamt

An institution established by the Federal and
Laender Governments

★ ★ ★
★ Designated
according to
Article 29 of Regula-
tion (EU) No 305/2011
and member of EOTA
(European Organi-
sation for Technical
Assessment)
★ ★ ★
★ ★

European Technical Assessment

ETA-19/0601
of 10 December 2019

English translation prepared by DIBt - Original version in German language

General Part

Technical Assessment Body issuing the
European Technical Assessment:

Trade name of the construction product

Product family
to which the construction product belongs

Manufacturer

Manufacturing plant

This European Technical Assessment
contains

This European Technical Assessment is
issued in accordance with Regulation (EU)
No 305/2011, on the basis of

Deutsches Institut für Bautechnik

Injection System Hilti HIT-HY 200-R V3

Bonded fastener for use in concrete

Hilti Aktiengesellschaft
Feldkircherstrasse 100
9494 SCHAAN
FÜRSTENTUM LIECHTENSTEIN

Hilti Werke
Hilti Plants

40 pages including 3 annexes which form an integral part
of this assessment

EAD 330499-01-0601

European Technical Assessment
ETA-19/0601
English translation prepared by DIBt

Page 2 of 40 | 10 December 2019

The European Technical Assessment is issued by the Technical Assessment Body in its official language. Translations of this European Technical Assessment in other languages shall fully correspond to the original issued document and shall be identified as such.

Communication of this European Technical Assessment, including transmission by electronic means, shall be in full. However, partial reproduction may only be made with the written consent of the issuing Technical Assessment Body. Any partial reproduction shall be identified as such.

This European Technical Assessment may be withdrawn by the issuing Technical Assessment Body, in particular pursuant to information by the Commission in accordance with Article 25(3) of Regulation (EU) No 305/2011.

Specific Part**1 Technical description of the product**

The Injection system Hilti HIT-HY 200-R V3 is a bonded fastener consisting of a foil pack with injection mortar Hilti HIT-HY 200-R V3 and a steel element according to Annex A.

The steel element is placed into a drilled hole filled with injection mortar and is anchored via the bond between metal part, injection mortar and concrete.

The product description is given in Annex A.

2 Specification of the intended use in accordance with the applicable European Assessment Document

The performances given in Section 3 are only valid if the anchor is used in compliance with the specifications and conditions given in Annex B.

The verifications and assessment methods on which this European Technical Assessment is based lead to the assumption of a working life of the anchor of at least 50 years. The indications given on the working life cannot be interpreted as a guarantee given by the producer, but are to be regarded only as a means for choosing the right products in relation to the expected economically reasonable working life of the works.

3 Performance of the product and references to the methods used for its assessment**3.1 Mechanical resistance and stability (BWR 1)**

Essential characteristic	Performance
Characteristic resistance for static and quasi-static tension load	See Annex C1 to C8
Characteristic resistance for static and quasi-static shear load	See Annex C2, C4, C6, C8
Displacements for static and quasi-static loads	See Annex C9 to C12
Characteristic resistance for seismic performance categories C1 and C2	See Annex C13 to C17
Durability	See Annex B2

3.2 Hygiene, health and the environment (BWR 3)

Essential characteristic	Performance
Content, emission and/or release of dangerous substances	No performance assessed

European Technical Assessment

ETA-19/0601

English translation prepared by DIBt

Page 4 of 40 | 10 December 2019

4 Assessment and verification of constancy of performance (AVCP) system applied, with reference to its legal base

In accordance with the European Assessment Document EAD 330499-01-0601 the applicable European legal act is: [96/582/EC].

The system to be applied is: 1

5 Technical details necessary for the implementation of the AVCP system, as provided for in the applicable European Assessment Document

Technical details necessary for the implementation of the AVCP system are laid down in the control plan deposited at Deutsches Institut für Bautechnik.

Issued in Berlin on 10 December 2019 by Deutsches Institut für Bautechnik

BD Dipl.-Ing. Andreas Kummerow
Head of Department

beglaubigt:
Stiller

Installed condition

Figure A1:

Threaded rod, HAS-U-..., HIT-V-... and AM 8.8

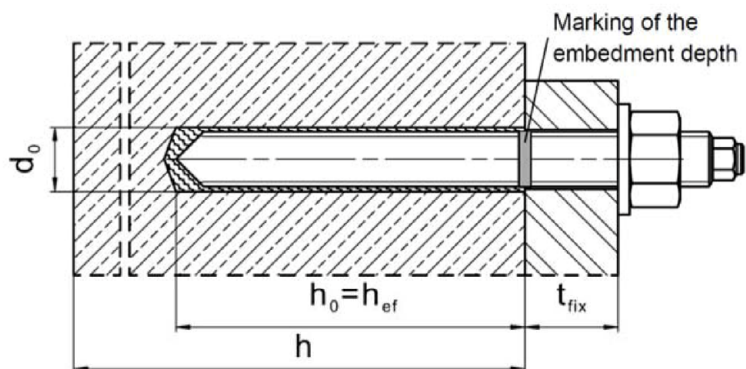


Figure A2:

Threaded rod, HAS-U-..., HIT-V-... and AM 8.8 with Hilti Filling Set

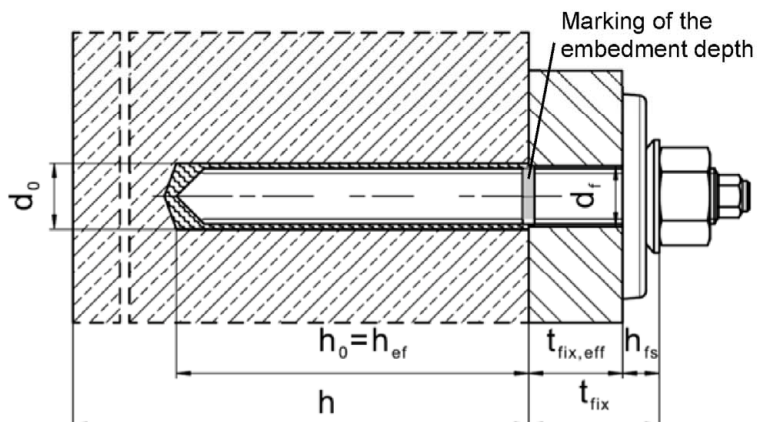
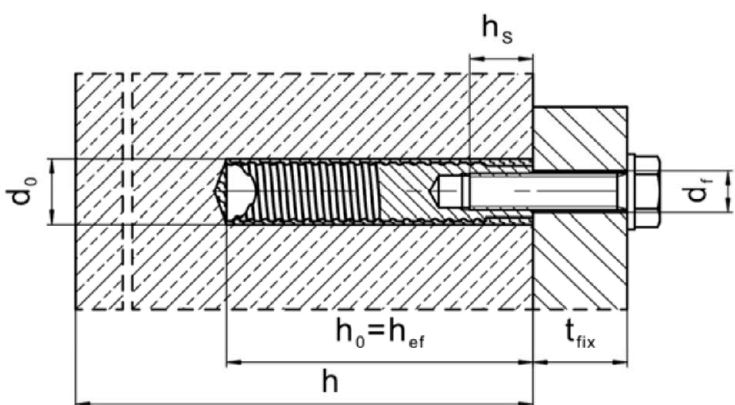


Figure A3:

Internally threaded sleeve HIS-(R)N



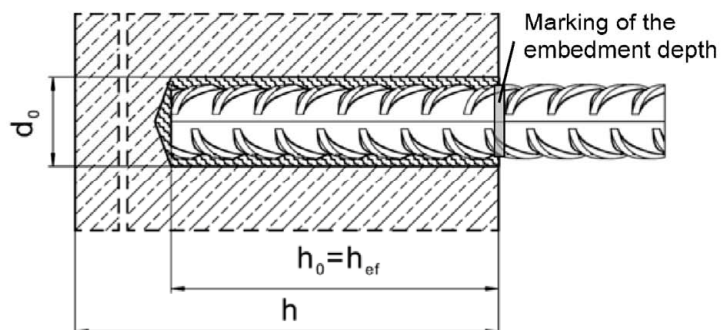
Injection System Hilti HIT-HY 200-R V3

Product description
Installed condition

Annex A1

Installed condition

Figure A4:
Reinforcing bar



Injection System Hilti HIT-HY 200-R V3

Product description
Installed condition

Annex A2

Product description: Injection mortar and steel elements

Injection mortar Hilti HIT-HY 200-R V3: hybrid system with aggregate

330 ml and 500 ml

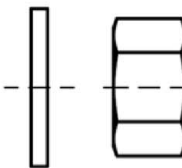
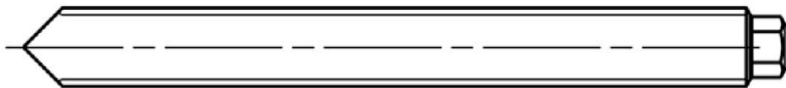
Marking:
HILTI-HIT
Production number and
production line
Expiry date mm/yyyy



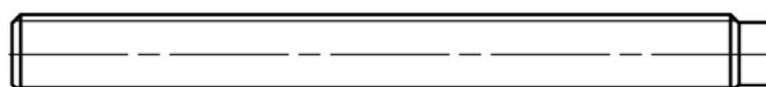
Static mixer Hilti HIT-RE-M



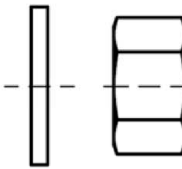
Steel elements



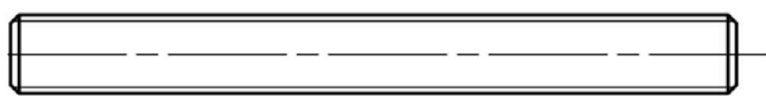
HAS-U-...: M8 to M30



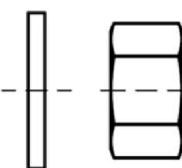
washer nut



HIT-V-...: M8 to M30



washer nut



Threaded rod: M8 to M30

Hilti AM 8.8 meter rod electroplated zinc coated: M8 to M30, 1m to 3m

Hilti AM HDG 8.8 meter rod hot dip galvanized: M8 to M30, 1m to 3m

Commercial standard threaded rod:

- Materials and mechanical properties according to Table A1.
- Inspection certificate 3.1 according to EN 10204:2004. The document shall be stored.
- Marking of embedment depth.

Injection System Hilti HIT-HY 200-R V3

Product description

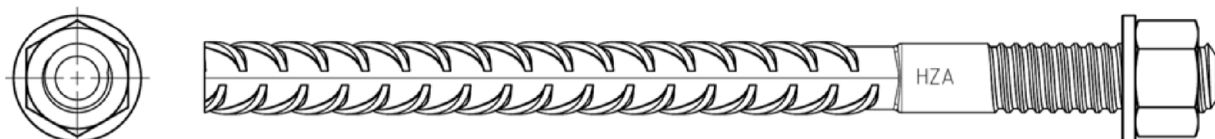
Injection mortar / Static mixer / Steel elements

Annex A3

Steel elements



Internally threaded sleeve: HIS-(R)N M8 to M20



Hilti Tension Anchor: HZA M12 to M27 and HZA-R M12 to M24



Reinforcing bar (rebar): ϕ 8 to ϕ 32

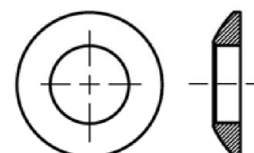
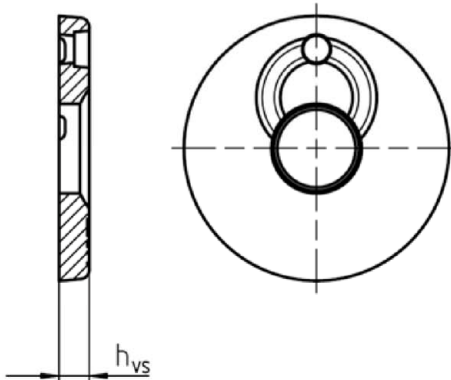
- Materials and mechanical properties according to Table A1
- Dimensions according to Annex B6

Hilti Filling Set to fill the annular gap between anchor and fixture

Sealing washer



Spherical washer



Hilti Filling Set	M16	M20	M24
Diameter of sealing washer d_{vs} [mm]	56	60	70
Thickness of sealing washer h_{vs} [mm]		6	
Thickness of Hilti Filling Set h_{fs} [mm]	11	13	15

Injection System Hilti HIT-HY 200-R V3

Product description

Injection mortar / Static mixer / Steel elements

Annex A4

Table A1: Materials

Designation	Material
Reinforcing bars (rebars)	
Rebar: EN 1992-1-1: 2004 and AC:2010, Annex C	Bars and de-coiled rods class B or C with f_{yk} and k according to NDP or NCL of EN 1992-1-1/NA $f_{uk} = f_{tk} = k \cdot f_{yk}$
Metal parts made of zinc coated steel	
HAS-U-5.8 (HDG), HIT-V-5.8(F), Threaded rod	Strength class 5.8, $f_{uk} = 500 \text{ N/mm}^2$, $f_{yk} = 400 \text{ N/mm}^2$, Elongation at fracture ($l_0=5d$) > 8% ductile Electroplated zinc coated $\geq 5 \mu\text{m}$, (F) or (HDG) hot dip galvanized $\geq 45 \mu\text{m}$
HAS-U-8.8 (HDG), HIT-V-8.8(F), Threaded rod	Strength class 8.8, $f_{uk} = 800 \text{ N/mm}^2$, $f_{yk} = 640 \text{ N/mm}^2$, Elongation at fracture ($l_0=5d$) > 12% ductile Electroplated zinc coated $\geq 5 \mu\text{m}$, (F) or (HDG) hot dip galvanized $\geq 45 \mu\text{m}$
Hilti Meter rod AM 8.8 (HDG)	Strength class 8.8, $f_{uk} = 800 \text{ N/mm}^2$, $f_{yk} = 640 \text{ N/mm}^2$ Elongation at fracture ($l_0 = 5d$) > 12% ductile, Electroplated zinc coated $\geq 5 \mu\text{m}$, (HDG) hot dip galvanized $\geq 45 \mu\text{m}$
Hilti tension anchor HZA	Round steel with threaded part: electroplated zinc coated $\geq 5 \mu\text{m}$ Rebar: Bars class B according to NDP or NCL of EN 1992-1-1/NA
Internally threaded sleeve HIS-N	Electroplated zinc coated $\geq 5 \mu\text{m}$
Washer	Electroplated zinc coated $\geq 5 \mu\text{m}$, hot dip galvanized $\geq 45 \mu\text{m}$
Nut	Strength class of nut adapted to strength class of threaded rod Electroplated zinc coated $\geq 5 \mu\text{m}$, (F) hot dip galvanized $\geq 45 \mu\text{m}$
Hilti Filling Set (F)	Filling washer: Electroplated zinc coated $\geq 5 \mu\text{m}$, (F) hot dip galvanized $\geq 45 \mu\text{m}$ Spherical washer: Electroplated zinc coated $\geq 5 \mu\text{m}$, (F) hot dip galvanized $\geq 45 \mu\text{m}$ Lock nut: Electroplated zinc coated $\geq 5 \mu\text{m}$, (F) hot dip galvanized $\geq 45 \mu\text{m}$

Injection System Hilti HIT-HY 200-R V3

Product description
Materials

Annex A5

Table A1: continued

Metal parts made of stainless steel corrosion resistance class III according EN 1993-1-4:2006+A1:2015-06	
HAS-U A4, HIT-V-R	For ≤ M24: strength class 70, $f_{uk} = 700 \text{ N/mm}^2$, $f_{yk} = 450 \text{ N/mm}^2$; For > M24: strength class 50, $f_{uk} = 500 \text{ N/mm}^2$, $f_{yk} = 210 \text{ N/mm}^2$; Elongation at fracture ($l_0=5d$) > 8% ductile
Threaded rod	For ≤ M24: strength class 70, $f_{uk} = 700 \text{ N/mm}^2$, $f_{yk} = 450 \text{ N/mm}^2$; For > M24: strength class 50, $f_{uk} = 500 \text{ N/mm}^2$, $f_{yk} = 210 \text{ N/mm}^2$; Elongation at fracture ($l_0=5d$) > 8% ductile Stainless steel 1.4401, 1.4404, 1.4578, 1.4571, 1.4439, 1.4362 EN 10088-1:2014
Hilti tension anchor HZA-R	Round steel with threaded part: Stainless steel 1.4404, 1.4362, 1.4571 EN 10088-1:2014 Rebar: Bars class B according to NDP or NCL of EN 1992-1-1/NA
Internally threaded sleeve HIS-RN	Stainless steel 1.4401, 1.4571 EN 10088-1:2014
Washer	Stainless steel 1.4401, 1.4404, 1.4578, 1.4571, 1.4439, 1.4362 EN 10088-1:2014
Nut	For ≤ M24: strength class 70, $f_{uk} = 700 \text{ N/mm}^2$, $f_{yk} = 450 \text{ N/mm}^2$; For > M24: strength class 50, $f_{uk} = 500 \text{ N/mm}^2$, $f_{yk} = 210 \text{ N/mm}^2$; Stainless steel 1.4401, 1.4404, 1.4578, 1.4571, 1.4439, 1.4362 EN 10088-1:2014
Metal parts made of high corrosion resistant steel corrosion resistance class V according EN 1993-1-4:2006+A1:2015-06	
HAS-U HCR, HIT-V-HCR	For ≤ M20: $f_{uk} = 800 \text{ N/mm}^2$, $f_{yk} = 640 \text{ N/mm}^2$, For > M20: $f_{uk} = 700 \text{ N/mm}^2$, $f_{yk} = 400 \text{ N/mm}^2$, Elongation at fracture ($l_0=5d$) > 8% ductile
Threaded rod	For ≤ M20: $f_{uk} = 800 \text{ N/mm}^2$, $f_{yk} = 640 \text{ N/mm}^2$, For > M20: $f_{uk} = 700 \text{ N/mm}^2$, $f_{yk} = 400 \text{ N/mm}^2$, Elongation at fracture ($l_0=5d$) > 8% ductile High corrosion resistant steel 1.4529, 1.4565 EN 10088-1:2014
Washer	High corrosion resistant steel 1.4529, 1.4565 EN 10088-1:2014
Nut	For ≤ M20: $f_{uk} = 800 \text{ N/mm}^2$, $f_{yk} = 640 \text{ N/mm}^2$, For > M20: $f_{uk} = 700 \text{ N/mm}^2$, $f_{yk} = 400 \text{ N/mm}^2$, High corrosion resistant steel 1.4529, 1.4565 EN 10088-1:2014

Injection System Hilti HIT-HY 200-R V3

Product description
Materials

Annex A6

Specifications of intended use

Anchorage subject to:

- Static and quasi static loading.
- Seismic performance category C1 and C2 (see Table B1).

Base material:

- Compacted reinforced or unreinforced normal weight concrete without fibres according to EN 206-1:2013+A1:2016.
- Strength classes C20/25 to C50/60 according to EN 206-1:2013+A1:2016.
- Cracked and uncracked concrete.

Temperature in the base material:

at installation

-10 °C to +40 °C for the standard variation of temperature after installation

in-service

Temperature range I: -40 °C to +40 °C

(max. long term temperature +24 °C and max. short term temperature +40 °C)

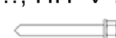
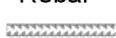
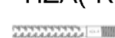
Temperature range II: -40 °C to +80 °C

(max. long term temperature +50 °C and max. short term temperature +80 °C)

Temperature range III: -40 °C to +120 °C

(max. long term temperature +72 °C and max. short term temperature +120 °C)

Table B1: Specifications of intended use

Elements	HIT-HY 200-R V3 with ...			
	HAS-U-..., HIT-V-..., AM 8.8 	Rebar 	HZA(-R) 	HIS-(R)N 
Hammer drilling with hollow drill bit TE-CD or TE-YD 	✓	✓	✓	✓
Hammer drilling 	✓	✓	✓	✓
Diamond drilling with roughening tool TE-YRT 	✓	✓	✓	✓
Static and quasi static loading in cracked and uncracked concrete	M8 to M30	Ø 8 to Ø 32	M12 to M27	M8 to M20
Seismic performance category C1	M10 to M30	Ø 10 to Ø 32	M12 to M27	-
Seismic performance category C2	M16 to M24, HAS-U 8.8, HIT-V 8.8, AM 8.8, HAS-U 8.8 HDG, HIT-V-F 8.8, AM HDG 8.8 Commercial standard rod (electroplated zinc coated only)	-	-	-

Injection System Hilti HIT-HY 200-R V3

Intended Use Specifications

Annex B1

Use conditions (Environmental conditions):

- Structures subject to dry internal conditions (all materials).
- For all other conditions according EN 1993-1-4:2006+A1:2015-06 corresponding to corrosion resistance classes Annex A6 Table A1 (stainless steels).

Design:

- Anchorages are designed under the responsibility of an engineer experienced in anchorages and concrete work.
- Verifiable calculation notes and drawings are prepared taking account of the loads to be anchored. The position of the anchor is indicated on the design drawings (e. g. position of the anchor relative to reinforcement or to supports, etc.).
- The anchorages are designed in accordance with:
EN 1992-4:2018 and EOTA Technical Report TR 055.

Installation:

- Use category: dry or wet concrete (not in flooded holes) for all drilling techniques.
- Drilling technique:
 - Hammer drilling,
 - Hammer drilling with Hilti hollow drill bit TE-CD, TE-YD,
 - Diamond coring with roughening with Hilti roughening tool TE-YRT.
- Installation direction D3: downward, horizontal and upward (e.g. overhead) installation admissible for all elements.
- Anchor installation carried out by appropriately qualified personnel and under the supervision of the person responsible for technical matters of the site.

Injection System Hilti HIT-HY 200-R V3

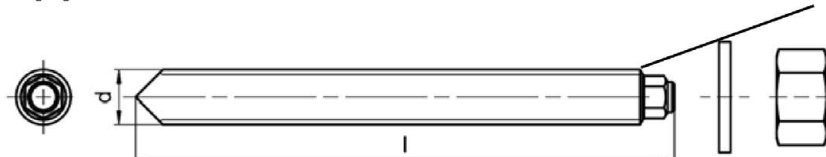
Intended Use
Specifications

Annex B2

Table B2: Installation parameters of threaded rod, HAS-U-..., HIT-V-... and AM 8.8

Threaded rod, HAS-U-..., HIT-V-..., AM 8.8	M8	M10	M12	M16	M20	M24	M27	M30	
Diameter of element d [mm]	8	10	12	16	20	24	27	30	
Nominal diameter of drill bit d_0 [mm]	10	12	14	18	22	28	30	35	
Effective embedment depth and drill hole depth $h_{\text{ef}} = h_0$ [mm]	60 to 160	60 to 200	70 to 240	80 to 320	90 to 400	96 to 480	108 to 540	120 to 600	
Maximum diameter of clearance hole in the fixture d_f [mm]	9	12	14	18	22	26	30	33	
Thickness of Hilti Filling Set h_{fs} [mm]	-	-	-	11	13	15	-	-	
Effective fixture thickness with Hilti Filling Set $t_{\text{fix,eff}}$ [mm]	$t_{\text{fix,eff}} = t_{\text{fix}} - h_{\text{fs}}$								
Minimum thickness of concrete member h_{min} [mm]	$h_{\text{ef}} + 30 \geq 100 \text{ mm}$			$h_{\text{ef}} + 2 \cdot d_0$					
Maximum torque moment T_{max} [Nm]	10	20	40	80	150	200	270	300	
Minimum spacing s_{min} [mm]	40	50	60	75	90	115	120	140	
Minimum edge distance c_{min} [mm]	40	45	45	50	55	60	75	80	

HAS-U-...



Marking:

Steel grade number and length identification letter: e.g. 8L

HIT-V-...



Marking:

5.8 - I = HIT-V-5.8 M...x l
 5.8F - I = HIT-V-5.8F M...x l
 8.8 - I = HIT-V-8.8 M...x l
 8.8F - I = HIT-V-8.8F M...x l
 R - I = HIT-V-R M...x l
 HCR - I = HIT-V-HCR M...x l

Hilti meter rod AM (HDG) 8.8



Injection System Hilti HIT-HY 200-R V3

Intended Use

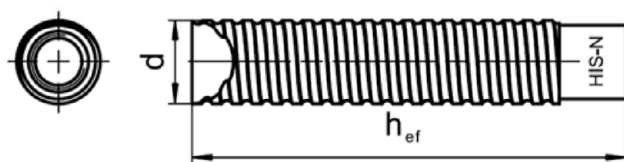
Installation parameters of threaded rod, HAS-U-..., HIT-V-... and AM 8.8

Annex B3

Table B3: Installation parameters of internally threaded sleeve HIS-(R)N

Internally threaded sleeve HIS-(R)N...	M8	M10	M12	M16	M20
Outer diameter of sleeve d [mm]	12,5	16,5	20,5	25,4	27,6
Nominal diameter of drill bit d_0 [mm]	14	18	22	28	32
Effective embedment depth and drill hole depth $h_{ef} = h_0$ [mm]	90	110	125	170	205
Maximum diameter of clearance hole in the fixture d_f [mm]	9	12	14	18	22
Minimum thickness of concrete member h_{min} [mm]	120	150	170	230	270
Maximum torque moment T_{max} [Nm]	10	20	40	80	150
Thread engagement length min-max h_s [mm]	8-20	10-25	12-30	16-40	20-50
Minimum spacing s_{min} [mm]	60	75	90	115	130
Minimum edge distance c_{min} [mm]	40	45	55	65	90

Internally threaded sleeve HIS-(R)N...



Marking:

Identifying mark - HILTI and
embossing "HIS-N" (for C-steel)
embossing "HIS-RN" (for stainless steel)

Injection System Hilti HIT-HY 200-R V3

Intended Use
Installation parameters of internally threaded sleeve HIS-(R)N

Annex B4

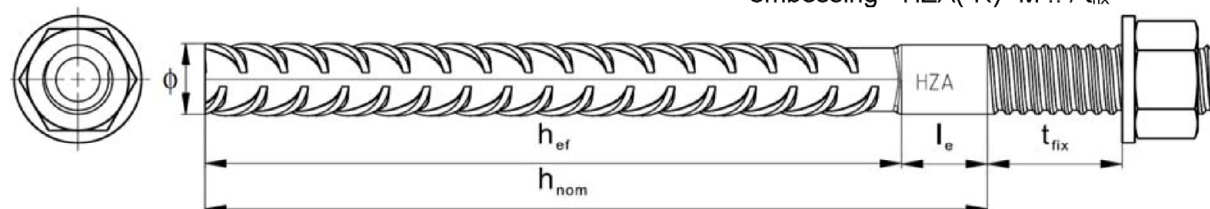
Table B4: Installation parameters of Hilti tension anchor HZA-R

Hilti tension anchor HZA-R ...		M12	M16	M20	M24
Rebar diameter	ϕ [mm]	12	16	20	25
Nominal embedment depth and drill hole depth	$h_{\text{nom}} = h_0$ [mm]	170 to 240	180 to 320	190 to 400	200 to 500
Effective embedment depth ($h_{\text{ef}} = h_{\text{nom}} - l_e$)	h_{ef} [mm]	$h_{\text{nom}} - 100$			
Length of smooth shaft	l_e [mm]	100			
Nominal diameter of drill bit	d_0 [mm]	16	20	25	32
Maximum diameter of clearance hole in the fixture ¹⁾	d_f [mm]	14	18	22	26
Maximum torque moment	T_{\max} [Nm]	40	80	150	200
Minimum thickness of concrete member	h_{\min} [mm]	$h_{\text{nom}} + 2 \cdot d_0$			
Minimum spacing	s_{\min} [mm]	65	80	100	130
Minimum edge distance	c_{\min} [mm]	45	50	55	60

Table B5: Installation parameters of Hilti tension anchor HZA

Hilti tension anchor HZA...		M12	M16	M20	M24	M27
Rebar diameter	ϕ [mm]	12	16	20	25	28
Nominal embedment depth and drill hole depth	$h_{\text{nom}} = h_0$ [mm]	90 to 240	100 to 320	110 to 400	120 to 500	140 to 560
Effective embedment depth ($h_{\text{ef}} = h_{\text{nom}} - l_e$)	h_{ef} [mm]	$h_{\text{nom}} - 20$				
Length of smooth shaft	l_e [mm]	20				
Nominal diameter of drill bit	d_0 [mm]	16	20	25	32	35
Maximum diameter of clearance hole in the fixture ¹⁾	d_f [mm]	14	18	22	26	30
Maximum torque moment	T_{\max} [Nm]	40	80	150	200	270
Minimum thickness of concrete member	h_{\min} [mm]	$h_{\text{nom}} + 2 \cdot d_0$				
Minimum spacing	s_{\min} [mm]	65	80	100	130	140
Minimum edge distance	c_{\min} [mm]	45	50	55	60	75

Marking:
embossing "HZA(-R)" M .. / t_{fix}



Injection System Hilti HIT-HY 200-R V3

Intended Use
Installation parameters of Hilti tension anchor HZA-(R)

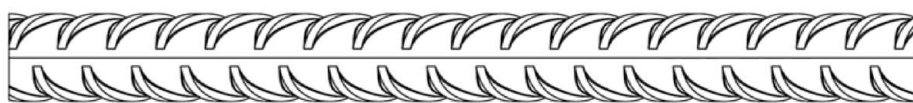
Annex B5

Table B6: Installation parameters of reinforcing bar

Reinforcing bar (rebar)	φ 8	φ 10	φ 12	φ 14	φ 16	φ 20	φ 25	φ 26	φ 28	φ 30	φ 32
Diameter φ [mm]	8	10	12	14	16	20	25	26	28	30	32
Effective embedment depth and drill hole depth $h_{\text{ef}} = h_0$ [mm]	60 to 160	60 to 200	70 to 240	75 to 280	80 to 320	90 to 400	100 to 500	104 to 520	112 to 560	120 to 600	128 to 640
Nominal diameter of drill bit d_0 [mm]	10 / 12 ¹⁾	12 / 14 ¹⁾	14 ¹⁾	16 ¹⁾	18	20	25	32	32	35	37
Minimum thickness of concrete member h_{min} [mm]	$h_{\text{ef}} + 30 \geq 100 \text{ mm}$				$h_{\text{ef}} + 2 \cdot d_0$						
Minimum spacing s_{min} [mm]	40	50	60	70	80	100	125	130	140	150	160
Minimum edge distance c_{min} [mm]	40	45	45	50	50	65	70	75	75	80	80

¹⁾ Each of the two given values can be used.

Reinforcing bar



For rebar bolt

- Minimum value of related rib area $f_{R,\text{min}}$ according to EN 1992-1-1:2004+AC:2010
- Rib height of the bar h_{rib} shall be in the range $0,05 \cdot \phi \leq h_{\text{rib}} \leq 0,07 \cdot \phi$
(ϕ : Nominal diameter of the bar; h_{rib} : Rib height of the bar)

Injection System Hilti HIT-HY 200-R V3

Intended Use
Installation parameters of reinforcing bar (rebar)

Annex B6

Table B7: Maximum working time and minimum curing time Hilti-HY 200-R V3

Temperature in the base material T	Maximum working time t _{work}	Minimum curing time t _{cure}
-10 °C to -5 °C	3 hours	20 hours
> -5 °C to 0 °C	1,5 hours	8 hours
> 0 °C to 5 °C	45 min	4 hours
> 5 °C to 10 °C	30 min	2,5 hours
> 10 °C to 20 °C	15 min	1,5 hours
> 20 °C to 30 °C	9 min	1 hour
> 30 °C to 40 °C	6 min	1 hour

Injection System Hilti HIT-HY 200-R V3

Intended Use
Maximum working time and minimum curing time

Annex B7

Table B8: Parameters of cleaning and setting tools

Elements				Drill and clean					Installation
Threaded rod, HAS-U-..., HIT-V-..., AM 8.8	HIS-(R)N	Rebar	HZA(-R)	Hammer drilling	Hollow drill bit	Diamond coring	Roughening tool	Brush	Piston plug
size	size	size	size	d ₀ [mm]	d ₀ [mm]	d ₀ [mm]	d ₀ [mm]	HIT-RB	HIT-SZ
M8	-	φ8	-	10	-	-	-	10	-
M10	-	φ8 / φ10	-	12	12 ¹⁾	-	-	12	12
M12	M8	φ10 / φ12	-	14	14 ¹⁾	-	-	14	14
-	-	φ12	M12	16	16	-	-	16	16
M16	M10	φ14	-	18	18	18	18	18	18
-	-	φ16	M16	20	20	20	20	20	20
M20	M12	-	-	22	22	22	22	22	22
-	-	φ20	M20	25	25	25	25	25	25
M24	M16	-	-	28	28	28	28	28	28
M27	-	-	-	30	-	-	-	30	30
-	M20	φ25 / φ26	M24	32	32	32	32	32	32
M30	-	φ28	M27	35	35	35	35	35	35
-	-	φ30	-	37	-	-	-	37	37
-	-	φ32	-	40	-	-	-	40	40

¹⁾ To be used in combination with Hilti vacuum cleaner with suction volume ≥ 61 l/s (VC 20/40 -Y in corded mode only).

Cleaning alternatives

Manual Cleaning (MC):

Hilti hand pump for blowing out drill holes with diameters d₀ ≤ 20 mm and drill hole depths h₀ ≤ 10 · d.



Compressed air cleaning (CAC):

Air nozzle with an orifice opening of minimum 3,5 mm in diameter.



Automatic Cleaning (AC):

Cleaning is performed during drilling with Hilti TE-CD and TE-YD drilling system including vacuum cleaner.



Injection System Hilti HIT-HY 200-R V3

Intended Use
Parameters of cleaning and setting tools
Cleaning alternatives

Annex B8

Table B9: Parameters for use of the Hilti Roughening tool TE-YRT

Associated components			
Diamond coring		Roughening tool TE-YRT	Wear gauge RTG...
			
d_0 [mm]		d_0 [mm]	size
nominal	measured		
18	17,9 to 18,2	18	18
20	19,9 to 20,2	20	20
22	21,9 to 22,2	22	22
25	24,9 to 25,2	25	25
28	27,9 to 28,2	28	28
30	29,9 to 30,2	30	30
32	31,9 to 32,2	32	32
35	34,9 to 35,2	35	35

Table B10: Installation parameters for use of the Hilti Roughening tool TE-YRT

	Roughening time $t_{roughen}$	Minimum blowing time $t_{blowing}$
h_{ref} [mm]	$t_{roughen}$ [sec] = h_{ref} [mm] / 10	$t_{blowing}$ [sec] = $t_{roughen}$ [sec] + 20
0 to 100	10	30
101 to 200	20	40
201 to 300	30	50
301 to 400	40	60
401 to 500	50	70
501 to 600	60	80

Hilti roughening tool TE-YRT and wear gauge RTG



Injection System Hilti HIT-HY 200-R V3

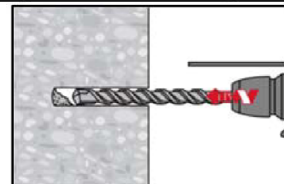
Intended Use
Parameters for use of the Hilti Roughening tool TE-YRT

Annex B9

Installation instruction

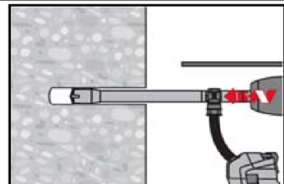
Hole drilling

a) Hammer drilling



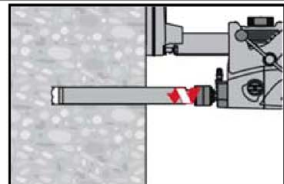
Drill hole to the required embedment depth with a hammer drill set in rotation-hammer mode using an appropriately sized carbide drill bit.

b) Hammer drilling with Hilti hollow drill bit



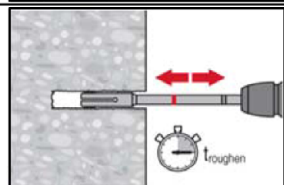
Drill hole to the required embedment depth with an appropriately sized Hilti TE-CD or TE-YD hollow drill bit attached to Hilti vacuum cleaner VC 20/40 (-Y) (suction volume $\geq 57 \text{ l/s}$) with automatic cleaning of the filter activated. This drilling system removes the dust and cleans the drill hole during drilling when used in accordance with the user's manual. When using TE-CD size 12 and 14 refer to Table B8. After drilling is completed, proceed to the "injection preparation" step in the installation instruction.

c) Diamond coring with roughening with Hilti roughening tool TE-YRT:



Diamond coring is permissible when suitable diamond core drilling machines and the corresponding core bits are used.

For the use in combination with Hilti roughening tool TE-YRT see parameters in Table B10.



Before roughening water needs to be removed from the drill hole. Check usability of the roughening tool with the wear gauge RTG. Roughen the drill hole over the whole length to the required h_{ef} .

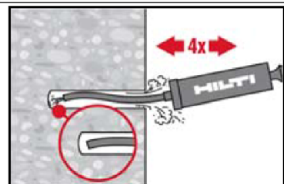
Drill hole cleaning

Just before setting an anchor, the drill hole must be free of dust and debris. Inadequate hole cleaning = poor load values.

Manual Cleaning (MC)

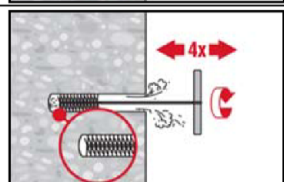
Uncracked concrete only.

For drill hole diameters $d_0 \leq 20 \text{ mm}$ and drill hole depths $h_0 \leq 10 \cdot d$.

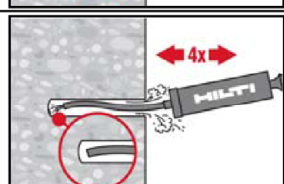


The Hilti hand pump may be used for blowing out drill holes up to diameters $d_0 \leq 20 \text{ mm}$ and drill hole depths $h_0 \leq 10 \cdot d$.

Blow out at least 4 times from the back of the drill hole until return air stream is free of noticeable dust.



Brush 4 times with the specified brush (see Table B8) by inserting the steel brush Hilti HIT-RB to the back of the hole (if needed with extension) in a twisting motion and removing it. The brush must produce natural resistance as it enters the drill hole (brush $\varnothing \geq$ drill hole \varnothing) - if not the brush is too small and must be replaced with the proper brush diameter.



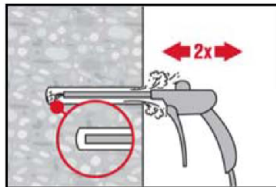
Blow out again with the Hilti hand pump at least 4 times until return air stream is free of noticeable dust.

Injection System Hilti HIT-HY 200-R V3

Intended Use
Installation instructions

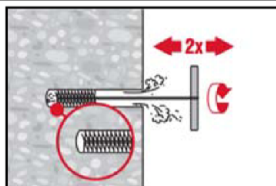
Annex B10

Compressed air cleaning (CAC) for all drill hole diameters d_0 and all drill hole depths h_0

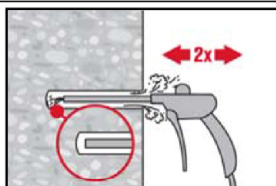


Blow 2 times from the back of the hole (if needed with nozzle extension) over the hole length with oil-free compressed air (min. 6 bar at 6 m³/h) until return air stream is free of noticeable dust.

For drill hole diameters ≥ 32 mm the compressor has to supply a minimum air flow of 140 m³/h.

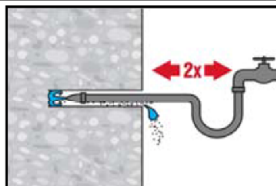


Brush 2 times with the specified brush (see Table B8) by inserting the steel brush Hilti HIT-RB to the back of the hole (if needed with extension) in a twisting motion and removing it. The brush must produce natural resistance as it enters the drill hole (brush $\varnothing \geq$ drill hole \varnothing) - if not the brush is too small and must be replaced with the proper brush diameter.

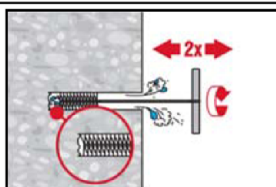


Blow again with compressed air 2 times until return air stream is free of noticeable dust.

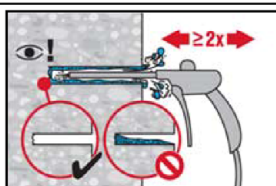
Cleaning of diamond cored holes with roughening with Hilti roughening tool TE-YRT.



Flush 2 times by inserting a water hose (water-line pressure) to the back of the hole until water runs clear.



Brush 2 times with the specified brush (see Table B8) by inserting the steel brush Hilti HIT-RB to the back of the hole (if needed with extension) in a twisting motion and removing it. The brush must produce natural resistance as it enters the drill hole (brush $\varnothing \geq$ drill hole \varnothing) - if not the brush is too small and must be replaced with the proper brush diameter.



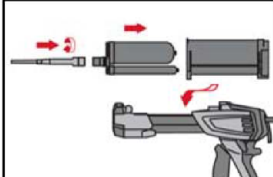
Blow 2 times from the back of the hole (if needed with nozzle extension) over the whole length with oil-free compressed air (min. 6 bar at 6 m³/h) until return air stream is free of noticeable dust and water. Remove all water from the drillhole until drillhole is completely dried before mortar injection. For drill hole diameters ≥ 32 mm the compressor has to supply a minimum air flow of 140 m³/h.

Injection System Hilti HIT-HY 200-R V3

Intended Use
Installation instructions

Annex B11

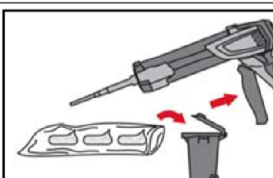
Injection preparation



Tightly attach Hilti mixing nozzle HIT-RE-M to foil pack manifold. Do not modify the mixing nozzle.

Observe the instruction for use of the dispenser.

Check foil pack holder for proper function. Insert foil pack into foil pack holder and put holder into dispenser.



The foil pack opens automatically as dispensing is initiated. Depending on the size of the foil pack, an initial amount of adhesive has to be discarded. Discarded quantities are

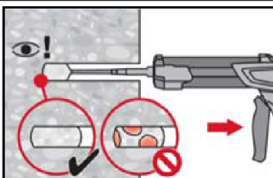
2 strokes for 330 ml foil pack,

3 strokes for 500 ml foil pack,

4 strokes for 500 ml foil pack $\leq 5^{\circ}\text{C}$.

The minimum foil pack temperature is 0°C .

Inject adhesive from the back of the drill hole without forming air voids.



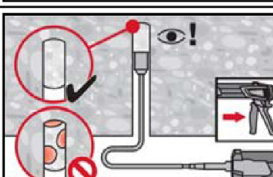
Inject the adhesive starting at the back of the hole, slowly withdrawing the mixer with each trigger pull.

Fill approximately 2/3 of the drill hole to ensure that the annular gap between the anchor and the concrete is completely filled with adhesive along the embedment length.

In water saturated concrete it is required to set the fastener immediately after cleaning the drillhole.



After injection is completed, depressurize the dispenser by pressing the release trigger. This will prevent further adhesive discharge from the mixer.



Overhead installation and/or installation with embedment depth $h_{\text{ef}} > 250\text{mm}$.

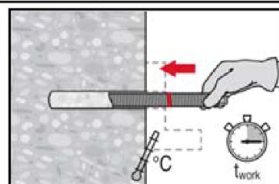
For overhead installation the injection is only possible with the aid of extensions and piston plugs. Assemble HIT-RE-M mixer, extension(s) and appropriately sized piston plug (see Table B8). Insert piston plug to back of the hole and inject adhesive. During injection the piston plug will be naturally extruded out of the drill hole by the adhesive pressure.

Injection System Hilti HIT-HY 200-R V3

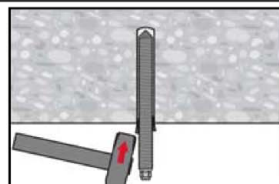
Intended Use
Installation instructions

Annex B12

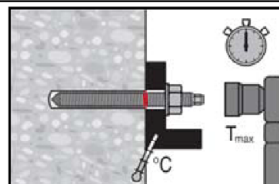
Setting the element



Before use, verify that the element is dry and free of oil and other contaminants. Mark and set element to the required embedment depth before working time t_{work} has elapsed. The working time t_{work} is given in Table B7.

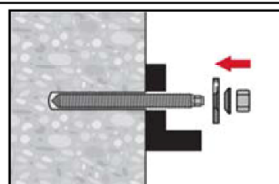


For overhead installation use piston plugs and fix embedded parts with e.g. wedges (Hilti HIT-OHW).

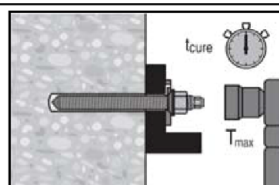


Loading the anchor: After required curing time t_{cure} (see Table B7) the anchor can be loaded.
The applied installation torque shall not exceed the values T_{max} given in Table B2 to Table B5.

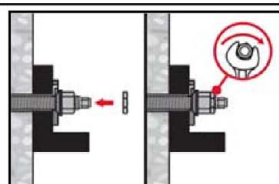
Installation of Hilti Filling Set



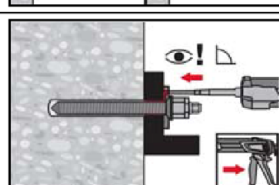
Use Hilti Filling Set with standard nut. Observe the correct orientation of filling washer and spherical washer.



The applied installation torque shall not exceed the values T_{max} given in Table B2 to Table B5.



Optional:
Installation of lock nut. Tighten with a $\frac{1}{4}$ to $\frac{1}{2}$ turn. (Not for size M24.)



Fill the annular gap between anchor rod and fixture with 1-3 strokes of a Hilti injection mortar HIT-HY ... or HIT-RE
Follow the installation instructions supplied with the respective Hilti injection mortar.
After required curing time t_{cure} the anchor can be loaded.

Injection System Hilti HIT-HY 200-R V3

Intended Use
Installation instructions

Annex B13

Table C1: Essential characteristics for threaded rod, HAS-U-..., HIT-V-... and AM 8.8 under tension load in concrete

Threaded rod, HAS-U-..., HIT-V-... and AM 8.8	M8	M10	M12	M16	M20	M24	M27	M30
Installation safety factor								
Hammer drilling γ_{inst} [-]								
Hammer drilling with Hilti hollow drill bit TE-CD or TE-YD	γ_{inst} [-]	1)						1,0
Diamond coring with roughening with Hilti roughening tool TE-YRT	γ_{inst} [-]		1)					1,0
Steel failure								
Characteristic resistance $N_{Rk,s}$ [kN]								$A_s \cdot f_{uk}$
Partial factor grade 5.8 $\gamma_{Ms,N}^{(2)}$ [-]								1,5
Partial factor grade 8.8 $\gamma_{Ms,N}^{(2)}$ [-]								1,5
Partial factor HAS-U A4, HIT-V-R $\gamma_{Ms,N}^{(2)}$ [-]						1,86		2,86
Partial factor HAS-U HCR, HIT-V-HCR $\gamma_{Ms,N}^{(2)}$ [-]					1,5			2,1
Combined pullout and concrete cone failure								
Characteristic bond resistance in uncracked concrete C20/25								
Temperature range I: 40 °C / 24 °C $\tau_{Rk,ucr}$ [N/mm ²]								18
Temperature range II: 80 °C / 50 °C $\tau_{Rk,ucr}$ [N/mm ²]								15
Temperature range III: 120 °C / 72 °C $\tau_{Rk,ucr}$ [N/mm ²]								13
Characteristic bond resistance in cracked concrete C20/25								
Temperature range I: 40 °C / 24 °C $\tau_{Rk,cr}$ [N/mm ²]		7,5			8,5			9,0
Temperature range II: 80 °C / 50 °C $\tau_{Rk,cr}$ [N/mm ²]		6,0			7,0			7,5
Temperature range III: 120 °C / 72 °C $\tau_{Rk,cr}$ [N/mm ²]		5,5			6,0			6,5
Influence factors ψ on bond resistance τ_{Rk}								
Cracked and uncracked concrete: Factor for concrete strength ψ_c	C30/37							1,04
	C40/45							1,07
	C50/60							1,1
Cracked and uncracked concrete: Sustained load factor ψ_{sus}^0	40 °C/24 °C							0,74
	80 °C/50 °C							0,89
	120 °C/72 °C							0,72

Injection System Hilti HIT-HY 200-R V3

Performances
Essential characteristics under tension load in concrete

Annex C1

Table C1: continued

Concrete cone failure		
Factor for uncracked concrete	$k_{ucr,N}$	[-]
Factor for cracked concrete	$k_{cr,N}$	[-]
Edge distance	$c_{cr,N}$	[mm]
Spacing	$s_{cr,N}$	[mm]
Splitting failure		
Edge distance $c_{cr,sp}$ [mm] for	$h / h_{ef} \geq 2,0$	$1,0 \cdot h_{ef}$
	$2,0 > h / h_{ef} > 1,3$	$4,6 \cdot h_{ef} - 1,8 \cdot h$
	$h / h_{ef} \leq 1,3$	$2,26 \cdot h_{ef}$
Spacing	$s_{cr,sp}$	[mm]

1) No performance assessed.

2) In absence of national regulations.

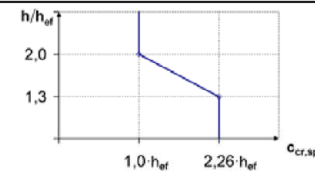


Table C2: Essential characteristics for threaded rod, HAS-U-..., HIT-V-... and AM 8.8 under shear load in concrete

Threaded rod, HAS-U-..., HIT-V-..., AM 8.8	M8	M10	M12	M16	M20	M24	M27	M30
Steel failure without lever arm								
Characteristic resistance								
Characteristic resistance	$V_{Rk,s}$	[kN]						
Partial factor grade 5.8	$\gamma_{Ms,V}^{1)}$	[-]						
Partial factor grade 8.8	$\gamma_{Ms,V}^{1)}$	[-]						
Partial factor HAS-U A4, HIT-V-R	$\gamma_{Ms,V}^{1)}$	[-]						
Partial factor HAS-U HCR, HIT-V-HCR	$\gamma_{Ms,V}^{1)}$	[-]						
Ductility factor	k_7	[-]						
Steel failure with lever arm								
Bending moment	$M_{Rk,s}^0$	[Nm]						
Ductility factor	k_7	[-]						
Concrete pry-out failure								
Pry-out factor	k_8	[-]						
Concrete edge failure								
Effective length of fastener	l_f	[mm]						
Outside diameter of fastener	d_{nom}	[mm]	8	10	12	16	20	24
								27
								30

1) In absence of national regulations.

Injection System Hilti HIT-HY 200-R V3

Performances
Essential characteristics under tension and shear loads in concrete

Annex C2

Table C3: Essential characteristics for internally threaded sleeve HIS-(R)N under tension load in concrete

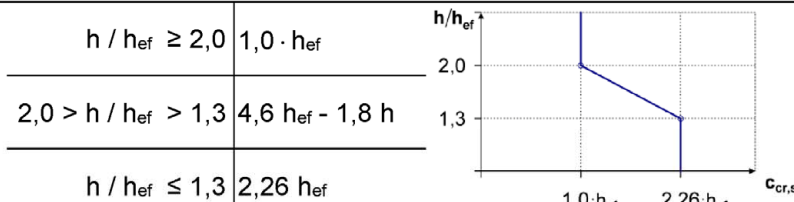
HIS-(R)N	M8	M10	M12	M16	M20
Installation safety factor					
Hammer drilling γ_{inst} [-]				1,0	
Hammer drilling with Hilti hollow drill bit TE-CD or TE-YD γ_{inst} [-]				1,0	
Diamond coring with roughening with Hilti roughening tool TE-YRT γ_{inst} [-]	1)			1,0	
Steel failure					
Characteristic resistance HIS-N with screw or threaded rod grade 8.8 $N_{Rk,s}$ [kN]	25	46	67	125	116
Partial factor $\gamma_{Ms,N}^{(2)}$ [-]			1,50		
Characteristic resistance HIS-RN with screw or threaded rod grade 70 $N_{Rk,s}$ [kN]	26	41	59	110	166
Partial factor $\gamma_{Ms,N}^{(2)}$ [-]		1,87			2,4
Combined pull-out and Concrete cone failure					
Effective embedment depth h_{ef} [mm]	90	110	125	170	205
Effective fastener diameter d_1 [mm]	12,5	16,5	20,5	25,4	27,6
Characteristic bond resistance in uncracked concrete C20/25					
Temperature range I: 40 °C/24 °C $\tau_{Rk,ucr}$ [N/mm²]				13	
Temperature range II: 80 °C/50 °C $\tau_{Rk,ucr}$ [N/mm²]				11	
Temperature range III: 120 °C/72 °C $\tau_{Rk,ucr}$ [N/mm²]				9,5	
Characteristic bond resistance in cracked concrete C20/25					
Temperature range I: 40 °C/24 °C $\tau_{Rk,cr}$ [N/mm²]				7	
Temperature range II: 80 °C/50 °C $\tau_{Rk,cr}$ [N/mm²]				5,5	
Temperature range III: 120 °C/72 °C $\tau_{Rk,cr}$ [N/mm²]				5	
Influence factors ψ on bond resistance τ_{Rk}					
Cracked and uncracked concrete: Factor for concrete strength ψ_c	C30/37			1,04	
	C40/45			1,07	
	C50/60			1,1	
Cracked and uncracked concrete: Sustained load factor ψ_{sus}^0	40 °C/24 °C			0,74	
	80 °C/50 °C			0,89	
	120 °C/72 °C			0,72	

Injection System Hilti HIT-HY 200-R V3

Performances
Essential characteristics under tension loads in concrete

Annex C3

Table C3: continued

Concrete cone failure		
Factor for uncracked concrete	$k_{ucr,N}$	[-]
Factor for cracked concrete	$k_{cr,N}$	[-]
Edge distance	$c_{cr,N}$	[mm]
Spacing	$s_{cr,N}$	[mm]
Splitting failure		
Edge distance $c_{cr,sp}$ [mm] for		
		$h / h_{eff} \geq 2,0$
		$1,0 \cdot h_{eff}$
		$2,0 > h / h_{eff} > 1,3$
		$4,6 h_{eff} - 1,8 h$
		$h / h_{eff} \leq 1,3$
		$2,26 h_{eff}$
Spacing	$s_{cr,sp}$	[mm]
		$2 \cdot c_{cr,sp}$

¹⁾ No performance assessed.

²⁾ In absence of national regulations.

Table C4: Essential characteristics for internally threaded sleeve HIS-(R)N under shear load in concrete

HIS-(R)N	M8	M10	M12	M16	M20
Steel failure without lever arm					
Characteristic resistance HIS-N with screw or threaded rod grade 8.8	$V_{Rk,s}$ [kN]	13	23	34	63
Partial factor	$\gamma_{Ms,V}^{1)}$ [-]			1,25	
Characteristic resistance HIS-RN with screw or threaded rod grade 70	$V_{Rk,s}$ [kN]	13	20	30	55
Partial factor	$\gamma_{Ms,V}^{1)}$ [-]			1,56	2,0
Ductility factor	k_7 [-]			1,0	
Steel failure with lever arm					
HIS-N with screw or threaded rod grade 8.8	$M^0_{Rk,s}$ [Nm]	30	60	105	266
HIS-RN with screw or threaded rod grade 70	$M^0_{Rk,s}$ [Nm]	26	52	92	233
Ductility factor	k_7 [-]			1,0	
Concrete pry-out failure					
Pry-out factor	k_8 [-]			2,0	
Concrete edge failure					
Effective length of fastener	l_f [mm]	90	110	125	170
Outside diameter of fastener	d_{nom} [mm]	12,5	16,5	20,5	25,4
1)	In absence of national regulations.				

Injection System Hilti HIT-HY 200-R V3

Performances
Essential characteristics under tension and shear load in concrete

Annex C4

Table C5: Essential characteristics for Hilti tension anchor HZA / HZA-R under tension load in concrete

Hilti tension anchor HZA, HZA-R	M12	M16	M20	M24	M27
Installation safety factor					
Hammer drilling γ_{inst} [-]				1,0	
Hammer drilling with Hilti hollow drill bit TE-CD or TE-YD γ_{inst} [-]				1,0	
Diamond coring with roughening with Hilti roughening tool TE-YRT γ_{inst} [-]	1)			1,0	
Steel failure					
Characteristic resistance HZA $N_{Rk,s}$ [kN]	46	86	135	194	253
Characteristic resistance HZA-R $N_{Rk,s}$ [kN]	62	111	173	248	1)
Partial factor $\gamma_{Ms,N}^{2)}$ [-]			1,4		
Combined pull-out and concrete cone failure					
Diameter of rebar d [mm]	12	16	20	25	28
Characteristic bond resistance in uncracked concrete C20/25					
Effective anchorage depth HZA h_{ef} [mm]				h _{nom} - 20	
HZA-R h_{ef} [mm]				h _{nom} - 100	1)
Temperature range I: 40 °C/24 °C $\tau_{Rk,ucr}$ [N/mm ²]				12	
Temperature range II: 80 °C/50 °C $\tau_{Rk,ucr}$ [N/mm ²]				10	
Temperature range III: 120 °C/72 °C $\tau_{Rk,ucr}$ [N/mm ²]				8,5	
Characteristic bond resistance in cracked concrete C20/25					
Temperature range I: 40 °C/24 °C $\tau_{Rk,cr}$ [N/mm ²]				7	
Temperature range II: 80 °C/50 °C $\tau_{Rk,cr}$ [N/mm ²]				5,5	
Temperature range III: 120 °C/72 °C $\tau_{Rk,cr}$ [N/mm ²]				5	
Influence factors ψ on bond resistance τ_{Rk}					
Cracked and uncracked concrete: Factor for concrete strength ψ_c	C30/37			1,04	
	C40/45			1,07	
	C50/60			1,1	
Cracked and uncracked concrete: Sustained load factor ψ_{sus}^0	40 °C/24 °C			0,74	
	80 °C/50 °C			0,89	
	120 °C/72 °C			0,72	

Injection System Hilti HIT-HY 200-R V3

Performances

Essential characteristics under tension load in concrete

Annex C5

Table C5: continued

Concrete cone failure					
Effective anchorage depth	HZA	h_{ef}	[mm]	h_{nom}	
	HZA-R	h_{ef}	[mm]	h_{nom}	1)
Factor for uncracked concrete		k_{ucr}	[·]	11,0	
Factor for cracked concrete		k_{cr}	[·]	7,7	
Edge distance		$c_{\text{cr},N}$	[mm]	$1,5 \cdot h_{\text{ef}}$	
Spacing		$s_{\text{cr},N}$	[mm]	$3,0 \cdot h_{\text{ef}}$	
Splitting failure relevant for uncracked concrete					
Edge distance $c_{\text{cr},sp}$ [mm] for	$h / h_{\text{ef}} \geq 2,0$		$1,0 \cdot h_{\text{ef}}$		
	$2,0 > h / h_{\text{ef}} > 1,3$		$4,6 \cdot h_{\text{ef}} - 1,8 \cdot h$		
	$h / h_{\text{ef}} \leq 1,3$		$2,26 \cdot h_{\text{ef}}$		
Spacing		$s_{\text{cr},sp}$	[mm]	$2 \cdot c_{\text{cr},sp}$	

1) No performance assessed.

2) In absence of national regulations.

Table C6: Essential characteristics for Hilti tension anchor HZA, HZA-R under shear load in concrete

Hilti tension anchor HZA, HZA-R		M12	M16	M20	M24	M27
Steel failure without lever arm						
Characteristic resistance HZA	$V_{Rk,s}$	[kN]	23	43	67	97
Characteristic resistance HZA-R	$V_{Rk,s}$	[kN]	31	55	86	124
Partial factor	$\gamma_{Ms,V}^{2)}$	[·]			1,5	
Ductility factor	k_7	[·]			1,0	
Steel failure with lever arm						
HZA	$M_{Rk,s}^0$	[Nm]	72	183	357	617
HZA-R	$M_{Rk,s}^0$	[Nm]	97	234	457	790
Ductility factor	k_7	[·]			1,0	
Concrete pry-out failure						
Pry-out factor	k_8	[·]			2,0	
Concrete edge failure						
Effective length of fastener	l_f	[mm]	$\min(h_{\text{nom}}, 12 \cdot d_{\text{nom}})$			$\min(h_{\text{nom}}, 300)$
Outside diameter of fastener	d_{nom}	[mm]	12	16	20	24
1)	No performance assessed.					
2)	In absence of national regulations.					

Injection System Hilti HIT-HY 200-R V3

Performances
Essential characteristics under tension and shear load in concrete

Annex C6

Table C7: Essential characteristics for rebar under tension load in concrete

Rebar	φ 8	φ 10	φ 12	φ 14	φ 16	φ 20	φ 25	φ 26	φ 28	φ 30	φ 32		
Installation safety factor													
Hammer drilling γ_{inst} [-]													
Hammer drilling with Hilti hollow drill bit TE-CD or TE-YD	γ_{inst}	[-]											
Diamond coring with roughening with Hilti roughening tool TE-YRT	γ_{inst}	[-]	1)										
Steel failure													
Characteristic resistance Rebar B500B acc. to DIN 488:2009-08	N _{Rk,s}	[kN]	28	43	62	85	111	173	270	292	339	388	442
Partial factor	$\gamma_{Ms,N}^{(2)}$	[-]										1,4	
Combined pull-out and concrete cone failure													
Diameter of rebar	d	[mm]	8	10	12	14	16	20	25	26	28	30	32
Characteristic bond resistance in uncracked concrete C20/25													
Temperature range I: 40°C/24°C	$\tau_{Rk,ucr}$	[N/mm ²]										12	
Temperature range II: 80°C/50°C	$\tau_{Rk,ucr}$	[N/mm ²]										10	
Temperature range III: 120°C/72°C	$\tau_{Rk,ucr}$	[N/mm ²]										8,5	
Characteristic bond resistance in cracked concrete C20/25													
Temperature range I: 40°C/24°C	$\tau_{Rk,cr}$	[N/mm ²]	1)	5								7	
Temperature range II: 80°C/50°C	$\tau_{Rk,cr}$	[N/mm ²]	1)	4								5,5	
Temperature range III: 120°C/72°C	$\tau_{Rk,cr}$	[N/mm ²]	1)	3,5								5	
Influence factors ψ on bond resistance τ_{Rk}													
Cracked and uncracked concrete:	ψ_c	C30/37										1,04	
Factor for concrete strength		C40/45										1,07	
		C50/60										1,1	
Cracked and uncracked concrete:	ψ_{sus}^0	40 °C/24 °C										0,74	
Sustained load factor		80 °C/50 °C										0,89	
		120 °C/72 °C										0,72	

Injection System Hilti HIT-HY 200-R V3

Performances

Essential characteristics under tension load in concrete

Annex C7

Table C7: continued

Concrete cone failure		
Factor for uncracked concrete	$k_{ucr,N}$ [-]	11,0
Factor for cracked concrete	$k_{cr,N}$ [-]	7,7
Edge distance	$c_{cr,N}$ [mm]	$1,5 \cdot h_{ef}$
Spacing	$s_{cr,N}$ [mm]	$3,0 \cdot h_{ef}$
Splitting failure relevant for uncracked concrete		
Edge distance $c_{cr,sp}$ [mm] for	$h / h_{ef} \geq 2,0$	$1,0 \cdot h_{ef}$
	$2,0 > h / h_{ef} > 1,3$	$4,6 \cdot h_{ef} - 1,8 \cdot h$
	$h / h_{ef} \leq 1,3$	$2,26 \cdot h_{ef}$
Spacing	$s_{cr,sp}$ [mm]	$2 \cdot c_{cr,sp}$

1) No performance assessed.

2) In absence of national regulations.

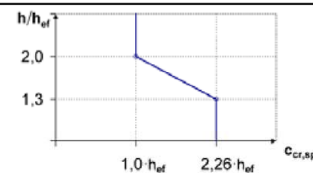


Table C8: Essential characteristics for rebar under shear load in concrete

Rebar	$\phi 8$	$\phi 10$	$\phi 12$	$\phi 14$	$\phi 16$	$\phi 20$	$\phi 25$	$\phi 26$	$\phi 28$	$\phi 30$	$\phi 32$	
Steel failure without lever arm												
Characteristic resistance Rebar B500B acc. to DIN 488:2009-08	$V_{Rk,s}$ [kN]	14	22	31	42	55	86	135	146	169	194	221
Partial factor	$\gamma_{Ms,V}^{1)}$ [-]											1,5
Ductility factor	k_7 [-]											1,0
Steel failure with lever arm												
Rebar B500B acc. to DIN 488:2009-08	$M_{Rk,s}^o$ [Nm]	33	65	112	178	265	518	1012	1139	1422	1749	2123
Ductility factor	k_7 [-]											1,0
Concrete pry-out failure												
Pry-out factor	k_8 [-]											2,0
Concrete edge failure												
Effective length of fastener	l_f [mm]	min (h_{ef} ; $12 \cdot d_{nom}$)					min (h_{nom} ; 300)					
Outside diameter of fastener	d_{nom} [mm]	8	10	12	14	16	20	25	26	28	30	32

1) In absence of national regulations.

Injection System Hilti HIT-HY 200-R V3

Performances
Essential characteristics under tension and shear load in concrete

Annex C8

Table C9: Displacements under tension load

Threaded rod, HAS-U-..., HIT-V-..., AM 8.8		M8	M10	M12	M16	M20	M24	M27	M30	
Uncracked concrete temperature range I : 40°C / 24°C										
Displacement	δ_{N0}	[mm/(N/mm ²)]	0,02	0,03	0,03	0,04	0,06	0,07	0,07	0,08
	$\delta_{N\infty}$	[mm/(N/mm ²)]	0,04	0,05	0,06	0,08	0,10	0,13	0,14	0,16
Uncracked concrete temperature range II : 80°C / 50°C										
Displacement	δ_{N0}	[mm/(N/mm ²)]	0,03	0,04	0,05	0,06	0,08	0,09	0,10	0,12
	$\delta_{N\infty}$	[mm/(N/mm ²)]	0,04	0,05	0,06	0,09	0,11	0,13	0,15	0,16
Uncracked concrete temperature range III : 120°C / 72°C										
Displacement	δ_{N0}	[mm/(N/mm ²)]	0,04	0,05	0,06	0,08	0,10	0,12	0,13	0,16
	$\delta_{N\infty}$	[mm/(N/mm ²)]	0,04	0,05	0,07	0,09	0,11	0,13	0,15	0,17
Cracked concrete temperature range I : 40°C / 24°C										
Displacement	δ_{N0}	[mm/(N/mm ²)]							0,07	
	$\delta_{N\infty}$	[mm/(N/mm ²)]							0,16	
Cracked concrete temperature range II : 80°C / 50°C										
Displacement	δ_{N0}	[mm/(N/mm ²)]							0,10	
	$\delta_{N\infty}$	[mm/(N/mm ²)]							0,22	
Cracked concrete temperature range III : 120°C / 72°C										
Displacement	δ_{N0}	[mm/(N/mm ²)]							0,13	
	$\delta_{N\infty}$	[mm/(N/mm ²)]							0,29	

Table C10: Displacements under shear load

Threaded rod, HAS-U-..., HIT-V-..., AM 8.8		M8	M10	M12	M16	M20	M24	M27	M30	
Displacement	δ_{v0}	[mm/kN]	0,06	0,06	0,05	0,04	0,04	0,03	0,03	0,03
	$\delta_{v\infty}$	[mm/kN]	0,09	0,08	0,08	0,06	0,06	0,05	0,05	0,05

Injection System Hilti HIT-HY 200-R V3

Performances

Displacements with threaded rod, HAS-U-..., HIT-V-... and AM 8.8

Annex C9

Table C11: Displacements under tension load

HIS-(R)N	M8	M10	M12	M16	M20
Uncracked concrete temperature range I : 40°C / 24°C					
Displacement	δ_{N0} [mm/(N/mm ²)]	0,03	0,05	0,06	0,07
	$\delta_{N\infty}$ [mm/(N/mm ²)]	0,06	0,09	0,11	0,13
Uncracked concrete temperature range II : 80°C / 50°C					
Displacement	δ_{N0} [mm/(N/mm ²)]	0,05	0,06	0,08	0,10
	$\delta_{N\infty}$ [mm/(N/mm ²)]	0,07	0,09	0,11	0,13
Uncracked concrete temperature range III : 120°C / 72°C					
Displacement	δ_{N0} [mm/(N/mm ²)]	0,06	0,08	0,10	0,13
	$\delta_{N\infty}$ [mm/(N/mm ²)]	0,07	0,09	0,11	0,14
Cracked concrete temperature range I : 40°C / 24°C					
Displacement	δ_{N0} [mm/(N/mm ²)]			0,11	
	$\delta_{N\infty}$ [mm/(N/mm ²)]			0,16	
Cracked concrete temperature range II : 80°C / 50°C					
Displacement	δ_{N0} [mm/(N/mm ²)]			0,15	
	$\delta_{N\infty}$ [mm/(N/mm ²)]			0,22	
Cracked concrete temperature range III : 120°C / 72°C					
Displacement	δ_{N0} [mm/(N/mm ²)]			0,20	
	$\delta_{N\infty}$ [mm/(N/mm ²)]			0,29	

Table C12: Displacements under shear load

HIS-(R)N	M8	M10	M12	M16	M20
Displacement	δ_{v0} [mm/kN]	0,06	0,06	0,05	0,04
	$\delta_{v\infty}$ [mm/kN]	0,09	0,08	0,08	0,06

Injection System Hilti HIT-HY 200-R V3

Performances
Displacements with HIS-(R)N

Annex C10

Table C13: Displacements under tension load

Hilti tension anchor HZA, HZA-R		M12	M16	M20	M24	M27
Uncracked concrete temperature range I : 40°C / 24°C						
Displacement	δ_{N0} [mm/(N/mm ²)]	0,03	0,04	0,06	0,07	0,08
	$\delta_{N\infty}$ [mm/(N/mm ²)]	0,06	0,08	0,13	0,13	0,15
Uncracked concrete temperature range II : 80°C / 50°C						
Displacement	δ_{N0} [mm/(N/mm ²)]	0,05	0,06	0,08	0,10	0,11
	$\delta_{N\infty}$ [mm/(N/mm ²)]	0,06	0,09	0,14	0,14	0,15
Uncracked concrete temperature range III : 120°C / 72°C						
Displacement	δ_{N0} [mm/(N/mm ²)]	0,06	0,08	0,10	0,12	0,14
	$\delta_{N\infty}$ [mm/(N/mm ²)]	0,07	0,09	0,14	0,14	0,16
Cracked concrete temperature range I : 40°C / 24°C						
Displacement	δ_{N0} [mm/(N/mm ²)]			0,11		
	$\delta_{N\infty}$ [mm/(N/mm ²)]			0,16		
Cracked concrete temperature range II : 80°C / 50°C						
Displacement	δ_{N0} [mm/(N/mm ²)]			0,15		
	$\delta_{N\infty}$ [mm/(N/mm ²)]			0,22		
Cracked concrete temperature range III : 120°C / 72°C						
Displacement	δ_{N0} [mm/(N/mm ²)]			0,20		
	$\delta_{N\infty}$ [mm/(N/mm ²)]			0,29		

Table C14: Displacements under shear load

Hilti tension anchor HZA, HZA-R		M12	M16	M20	M24	M27
Displacement	δ_{v0} [mm/kN]	0,05	0,04	0,04	0,03	0,03
	$\delta_{v\infty}$ [mm/kN]	0,08	0,06	0,06	0,05	0,05

Injection System Hilti HIT-HY 200-R V3

Performances
Displacements with HZA and HZA-R

Annex C11

Table C15: Displacements under tension load

Rebar	$\phi 8$	$\phi 10$	$\phi 12$	$\phi 14$	$\phi 16$	$\phi 20$	$\phi 25$	$\phi 26$	$\phi 28$	$\phi 30$	$\phi 32$
Uncracked concrete temperature range I : 40°C / 24°C											
Displacement	δ_{N0} [mm/(N/mm ²)]	0,02	0,03	0,03	0,04	0,04	0,06	0,07	0,08	0,08	0,09
	$\delta_{N\infty}$ [mm/(N/mm ²)]	0,04	0,05	0,06	0,07	0,08	0,10	0,13	0,14	0,15	0,16
Uncracked concrete temperature range II : 80°C / 50°C											
	δ_{N0} [mm/(N/mm ²)]	0,03	0,04	0,05	0,05	0,06	0,08	0,10	0,11	0,11	0,12
	$\delta_{N\infty}$ [mm/(N/mm ²)]	0,04	0,05	0,06	0,07	0,09	0,11	0,14	0,15	0,15	0,17
Uncracked concrete temperature range III : 120°C / 72°C											
Displacement	δ_{N0} [mm/(N/mm ²)]	0,04	0,05	0,06	0,07	0,08	0,10	0,12	0,13	0,14	0,15
	$\delta_{N\infty}$ [mm/(N/mm ²)]	0,04	0,05	0,07	0,08	0,09	0,11	0,14	0,15	0,16	0,18
Cracked concrete temperature range I : 40°C / 24°C											
Displacement	δ_{N0} [mm/(N/mm ²)]	0,11									
	$\delta_{N\infty}$ [mm/(N/mm ²)]	0,16									
Cracked concrete temperature range II : 80°C / 50°C											
Displacement	δ_{N0} [mm/(N/mm ²)]	0,15									
	$\delta_{N\infty}$ [mm/(N/mm ²)]	0,22									
Cracked concrete temperature range III : 120°C / 72°C											
Displacement	δ_{N0} [mm/(N/mm ²)]	0,20									
	$\delta_{N\infty}$ [mm/(N/mm ²)]	0,29									

Table C16: Displacements under shear load

Rebar	$\phi 8$	$\phi 10$	$\phi 12$	$\phi 14$	$\phi 16$	$\phi 20$	$\phi 25$	$\phi 26$	$\phi 28$	$\phi 30$	$\phi 32$
Displacement	δ_{v0} [mm/kN]	0,06	0,05	0,05	0,04	0,04	0,04	0,03	0,03	0,03	0,03
	$\delta_{v\infty}$ [mm/kN]	0,09	0,08	0,07	0,06	0,06	0,05	0,05	0,05	0,04	0,04

Injection System Hilti HIT-HY 200-R V3

Performances
Displacements with rebar

Annex C12

Table C17: Essential characteristics for threaded rod, HAS-U-..., HIT-V-... and AM 8.8 under tension load for seismic performance category C1

Threaded rod, HAS-U-..., HIT-V-... and AM 8.8	M10	M12	M16	M20	M24	M27	M30
Steel failure							
HAS-U-5.8 (HDG), HIT-V-5.8(F), threaded rod 5.8	N _{Rk,s,seis} [kN]	29	42	79	123	177	230
HAS-U-8.8 (HDG), HIT-V-8.8(F), threaded rod 8.8, AM 8.8	N _{Rk,s,seis} [kN]	46	67	126	196	282	367
HAS-U A4, HIT-V-R, threaded rod A4-70	N _{Rk,s,seis} [kN]	41	59	110	172	247	230
HAS-U HCR, HIT-V-HCR, threaded rod HCR-80	N _{Rk,s,seis} [kN]	46	67	126	196	247	321
Combined pullout and concrete cone failure							
Characteristic bond resistance in cracked concrete C20/25							
Temperature range I: 40 °C/24 °C	τ _{Rk,seis} [N/mm ²]	5,2				7,0	
Temperature range II: 80 °C/50 °C	τ _{Rk,seis} [N/mm ²]	3,9				5,7	
Temperature range III: 120 °C/72 °C	τ _{Rk,seis} [N/mm ²]	3,5				4,8	

Table C18: Essential characteristics for threaded rod, HAS-U-..., HIT-V-... and AM 8.8 under shear load for seismic performance category C1

Threaded rod, HAS-U-..., HIT-V-..., AM 8.8	M10	M12	M16	M20	M24	M27	M30
Steel failure without lever arm							
HAS-U-5.8 (HDG), HIT-V-5.8(F), threaded rod 5.8	V _{Rk,s,seis} [kN]	11	15	27	43	62	81
HAS-U-8.8 (HDG), HIT-V-8.8(F), threaded rod 8.8, AM 8.8	V _{Rk,s,seis} [kN]	16	24	44	69	99	129
HAS-U A4, HIT-V-R, threaded rod A4-70	V _{Rk,s,seis} [kN]	14	21	39	60	87	81
HAS-U HCR, HIT-V-HCR, threaded rod HCR-80	V _{Rk,s,seis} [kN]	16	24	44	69	87	113

Table C19: Displacements under tension load for seismic performance category C1

Threaded rod, HAS-U-..., HIT-V-..., AM 8.8	M10	M12	M16	M20	M24	M27	M30
Displacement ¹⁾ δ _{N,seis} [mm]	0,8	0,8	0,8	0,8	0,8	0,8	0,8

¹⁾ Maximum displacement during cycling (seismic event).

Table C20: Displacements under shear load for seismic performance category C1

Threaded rod, HAS-U-..., HIT-V-..., AM 8.8	M10	M12	M16	M20	M24	M27	M30
Displacement ¹⁾ δ _{V,seis} [mm]	3,5	3,8	4,4	5,0	5,6	6,1	6,5

¹⁾ Maximum displacement during cycling (seismic event).

Injection System Hilti HIT-HY 200-R V3

Performances
Essential characteristics for seismic performance category C1 and displacements.

Annex C13

Table C21: Essential characteristics for Hilti tension anchor HZA, HZA-R under tension load for seismic performance category C1

Hilti tension anchor HZA, HZA-R	M12	M16	M20	M24	M27
Steel failure					
Characteristic resistance HZA $N_{Rk,s,seis}$ [kN]	46	86	135	194	253
Characteristic resistance HZA-R $N_{Rk,s,seis}$ [kN]	62	111	173	248	¹⁾
Partial factor $\gamma_{Ms,N,seis}^{2)}$ [-]			1,4		
Combined pull-out and concrete cone failure					
Diameter of rebar d [mm]	12	16	20	25	28
Characteristic bond resistance in cracked concrete C20/25					
Temperature range I: $40^{\circ}\text{C}/24^{\circ}\text{C}$ $\tau_{Rk,cr}$ [N/mm ²]			6,1		
Temperature range II: $80^{\circ}\text{C}/50^{\circ}\text{C}$ $\tau_{Rk,cr}$ [N/mm ²]			4,8		
Temperature range III: $120^{\circ}\text{C}/72^{\circ}\text{C}$ $\tau_{Rk,cr}$ [N/mm ²]			4,4		

¹⁾ No performance assessed.

²⁾ In absence of national regulations.

Table C22: Essential characteristics for Hilti tension anchor HZA, HZA-R under shear load for seismic performance category C1

Hilti tension anchor HZA, HZA-R	M12	M16	M20	M24	M27
Steel failure without lever arm					
Characteristic resistance HZA $V_{Rk,s,seis}$ [kN]	16	30	47	68	88
Characteristic resistance HZA-R $V_{Rk,s,seis}$ [kN]	22	39	60	124	¹⁾
Partial factor $\gamma_{Ms,V,seis}^{2)}$ [-]			1,5		

¹⁾ No performance assessed.

²⁾ In absence of national regulations.

Table C23: Displacements under tension load for seismic performance category C1

Hilti tension anchor HZA, HZA-R	M12	M16	M20	M24	M27
Displacement ¹⁾ $\delta_{N,seis}$ [mm]	1,3	1,3	1,3	1,3	1,3

¹⁾ Maximum displacement during cycling (seismic event).

Table C24: Displacements under shear load for seismic performance category C1

Hilti tension anchor HZA, HZA-R	M12	M16	M20	M24	M27
Displacement ¹⁾ $\delta_{V,seis}$ [mm]	3,8	4,4	5,0	5,6	6,1

¹⁾ Maximum displacement during cycling (seismic event).

Injection System Hilti HIT-HY 200-R V3

Performances

Essential characteristics for seismic performance category C1 and displacements.

Annex C14

Table C25: Essential characteristics for rebar under tension load for seismic performance category C1

Rebar	φ 10	φ 12	φ 14	φ 16	φ 20	φ 25	φ 26	φ 28	φ 30	φ 32
Steel failure										
Characteristic resistance for rebar B500B acc. to DIN 488:2009-08										
N _{Rk,seis} [kN]	43	62	85	111	173	270	292	339	388	442
Combined pull-out and Concrete cone failure										
Diameter of rebar d [mm]	10	12	14	16	20	25	26	28	30	32
Characteristic bond resistance in cracked concrete C20/25										
Temperature range I: 40°C/24°C	τ _{Rk,cr} [N/mm ²]	4,4	6,1							
Temperature range II: 80°C/50°C	τ _{Rk,cr} [N/mm ²]	3,5	4,8							
Temperature range III: 120°C/72°C	τ _{Rk,cr} [N/mm ²]	3	4,4							

Table C26: Essential characteristics for rebar under shear loads for seismic performance category C1

Rebar	φ 10	φ 12	φ 14	φ 16	φ 20	φ 25	φ 26	φ 28	φ 30	φ 32
Steel failure without lever arm										
Characteristic resistance for rebar B500B acc. to DIN 488:2009-08										
V _{Rk,s,seis} [kN]	15	22	29	39	60	95	102	118	135	165

Table C27: Displacements under tension load for seismic performance category C1

Rebar	φ 10	φ 12	φ 14	φ 16	φ 20	φ 25	φ 26	φ 28	φ 30	φ 32
Displacement ¹⁾ δ _{N,seis} [mm]	1,3	1,3	1,3	1,3	1,3	1,3	1,3	1,3	1,3	1,3

¹⁾ Maximum displacement during cycling (seismic event).

Table C28: Displacements under shear load for seismic performance category C1

Rebar	φ 10	φ 12	φ 14	φ 16	φ 20	φ 25	φ 26	φ 28	φ 30	φ 32
Displacement ¹⁾ δ _{V,seis} [mm]	3,5	3,8	4,1	4,4	5,0	5,8	6,2	6,2	6,8	6,8

¹⁾ Maximum displacement during cycling (seismic event).

Injection System Hilti HIT-HY 200-R V3

Performances
Essential characteristics for seismic performance category C1 and displacements.

Annex C15

Table C29: Essential characteristics for threaded rod, HAS-U-..., HIT-V... and AM 8.8 under tension load for seismic performance category C2

Threaded rod, HAS-U-..., HIT-V-..., AM 8.8	M16	M20	M24	
Steel failure				
HAS-U 8.8 (HDG), HIT-V (-F) 8.8, AM (HDG) 8.8 Commercial standard threaded rod electroplated zinc coated 8.8	N _{Rk,s,seis} [kN]	126	196	282
Combined pullout and concrete cone failure				
Characteristic bond resistance in cracked concrete C20/25 in hammer drilled holes and hammer drilled holes with Hilti hollow drill bit TE-CD or TE-YD				
Temperature range I: 40 °C/24 °C	τ _{Rk,seis} [N/mm ²]	3,9	4,3	3,5
Temperature range II: 80 °C/50 °C	τ _{Rk,seis} [N/mm ²]	3,3	3,7	2,9
Temperature range III: 120 °C/72 °C	τ _{Rk,seis} [N/mm ²]	2,8	3,2	2,5

Table C30: Essential characteristics for threaded rod, HAS-U-..., HIT-V-... and AM 8.8 under shear load for seismic performance category C2

Threaded rod, HAS-U-..., HIT-V-..., AM 8.8	M16	M20	M24	
Steel failure without lever arm with Hilti Filling Set				
HAS-U 8.8, HIT-V 8.8, AM 8.8	V _{Rk,s,seis} [kN]	46	77	103
Steel failure without lever arm without Hilti Filling Set				
HAS-U 8.8, HIT-V 8.8, AM 8.8	V _{Rk,s,seis} [kN]	40	71	90
HAS-U 8.8 HDG, HIT-V-F 8.8, AM-HDG 8.8	V _{Rk,s,seis} [kN]	30	46	66
Commercial standard threaded rod, electroplated zinc coated 8.8	V _{Rk,s,seis} [kN]	28	50	63

Injection System Hilti HIT-HY 200-R V3

Performances
Essential characteristics for seismic performance category C2.

Annex C16

Table C31: Displacements under tension load for seismic performance category C2

Threaded rod, HAS-U-..., HIT-V-..., AM 8.8	M16	M20	M24	
Displacement DLS, HAS-U 8.8 (HDG), HIT-V (-F) 8.8, AM (HDG) 8.8	$\delta_{N,\text{seis}(DLS)}$ [mm]	0,2	0,5	0,4
Displacement ULS, HAS-U 8.8 (HDG), HIT-V (-F) 8.8, AM (HDG) 8.8	$\delta_{N,\text{seis}(ULS)}$ [mm]	0,6	0,8	1,0

Table C32: Displacements under shear load for seismic performance category C2

Threaded rod, HAS-U-..., HIT-V-..., AM 8.8	M16	M20	M24	
Installation with Hilti Filling Set				
Displacement DLS, HAS-U 8.8, HIT-V 8.8, AM 8.8	$\delta_{V,\text{seis}(DLS)}$ [mm]	1,2	1,4	1,1
Displacement ULS, HAS-U 8.8, HIT-V 8.8, AM 8.8	$\delta_{V,\text{seis}(ULS)}$ [mm]	3,2	3,8	2,6
Installation without Hilti Filling Set				
Displacement DLS, HAS-U 8.8, HIT-V 8.8, AM 8.8	$\delta_{V,\text{seis}(DLS)}$ [mm]	3,2	2,5	3,5
Displacement DLS, HAS-U 8.8 HDG, HIT-V-F 8.8, AM HDG 8.8	$\delta_{V,\text{seis}(DLS)}$ [mm]	2,3	3,8	3,7
Displacement ULS, HAS-U 8.8, HIT-V 8.8, AM 8.8	$\delta_{V,\text{seis}(ULS)}$ [mm]	9,2	7,1	10,2
Displacement ULS, HAS-U 8.8 HDG, HIT-V-F 8.8, AM HDG 8.8	$\delta_{V,\text{seis}(ULS)}$ [mm]	4,3	9,1	8,4

Injection System Hilti HIT-HY 200-R V3

Performances

Displacements for seismic performance category C2.

Annex C17

Zulassungsstelle für Bauprodukte und Bauarten
Bautechnisches Prüfamt
Eine vom Bund und den Ländern
gemeinsam getragene Anstalt des öffentlichen Rechts

Benannt
gemäß Artikel 29
der Verordnung (EU)
Nr. 305/2011 und Mit-
glied der EOTA (Europä-
ische Organisation
für Technische
Bewertung)

Europäische Technische Bewertung

ETA-19/0601
vom 10. Dezember 2019

Allgemeiner Teil

Technische Bewertungsstelle, die
die Europäische Technische Bewertung
ausstellt

Deutsches Institut für Bautechnik

Handelsname des Bauprodukts

Injektionssystem Hilti HIT-HY 200-R V3

Produktfamilie,
zu der das Bauprodukt gehört

Verbunddübel zur Verankerung im Beton

Hersteller

Hilti Aktiengesellschaft
Feldkircherstrasse 100
9494 SCHAAN
FÜRSTENTUM LIECHTENSTEIN

Herstellungsbetrieb

Hilti Werke

Diese Europäische Technische Bewertung
enthält

40 Seiten, davon 3 Anhänge, die fester Bestandteil dieser
Bewertung sind.

Diese Europäische Technische Bewertung
wird ausgestellt gemäß der Verordnung (EU)
Nr. 305/2011, auf der Grundlage von

EAD 330499-01-0601

Die Europäische Technische Bewertung wird von der Technischen Bewertungsstelle in ihrer Amtssprache ausgestellt. Übersetzungen dieser Europäischen Technischen Bewertung in andere Sprachen müssen dem Original vollständig entsprechen und müssen als solche gekennzeichnet sein.

Diese Europäische Technische Bewertung darf, auch bei elektronischer Übermittlung, nur vollständig und ungekürzt wiedergegeben werden. Nur mit schriftlicher Zustimmung der ausstellenden Technischen Bewertungsstelle kann eine teilweise Wiedergabe erfolgen. Jede teilweise Wiedergabe ist als solche zu kennzeichnen.

Die ausstellende Technische Bewertungsstelle kann diese Europäische Technische Bewertung widerrufen, insbesondere nach Unterrichtung durch die Kommission gemäß Artikel 25 Absatz 3 der Verordnung (EU) Nr. 305/2011.

Besonderer Teil**1 Technische Beschreibung des Produkts**

Das Injektionssystem Hilti HIT-HY 200-R V3 ist ein Verbunddübel, der aus einem Foliengebinde mit Injektionsmörtel Hilti HIT-HY 200-R V3 und einem Stahlteil gemäß Anhang A besteht.

Das Stahlteil wird in ein mit Injektionsmörtel gefülltes Bohrloch gesteckt und durch Verbund zwischen Stahlteil, Injektionsmörtel und Beton verankert.

Die Produktbeschreibung ist in Anhang A angegeben.

2 Spezifizierung des Verwendungszwecks gemäß dem anwendbaren Europäischen Bewertungsdokument

Von den Leistungen in Abschnitt 3 kann nur ausgegangen werden, wenn der Dübel entsprechend den Angaben und Bedingungen nach Anhang B verwendet wird.

Die Prüf- und Bewertungsmethoden, die dieser Europäischen Technischen Bewertung zu Grunde liegen, führen zur Annahme einer Nutzungsdauer des DüBELS von mindestens 50 Jahren. Die Angabe der Nutzungsdauer kann nicht als Garantie des Herstellers verstanden werden, sondern ist lediglich ein Hilfsmittel zur Auswahl des richtigen Produkts in Bezug auf die angenommene wirtschaftlich angemessene Nutzungsdauer des Bauwerks.

3 Leistung des Produkts und Angaben der Methoden ihrer Bewertung**3.1 Mechanische Festigkeit und Standsicherheit (BWR 1)**

Wesentliches Merkmal	Leistung
Charakteristischer Widerstand für statische und quasi-statische Einwirkungen unter Zugbeanspruchung	Siehe Anhang C1 bis C8
Charakteristischer Widerstand für statische und quasi-statische Einwirkungen unter Querbeanspruchung	Siehe Anhang C2, C4, C6, C8
Verschiebungen für statische und quasi-statische Einwirkungen	Siehe Anhang C9 bis C12
Charakteristischer Widerstand und Verschiebungen für seismische Leistungskategorie C1 und C2	Siehe Anhang C13 bis C17
Dauerhaftigkeit	Siehe Anhang B2

3.2 Hygiene, Gesundheit und Umweltschutz (BWR 3)

Wesentliches Merkmal	Leistung
Inhalt, Emission und/oder Freisetzung von gefährlichen Stoffen	Leistung nicht bewertet

4 Angewandtes System zur Bewertung und Überprüfung der Leistungsbeständigkeit mit der Angabe der Rechtsgrundlage

Gemäß EAD 330499-01-0601 gilt folgende Rechtsgrundlage: [96/582/EG].

Folgendes System ist anzuwenden: 1

5 Für die Durchführung des Systems zur Bewertung und Überprüfung der Leistungsbeständigkeit erforderliche technische Einzelheiten gemäß anwendbarem Europäischen Bewertungsdokument

Technische Einzelheiten, die für die Durchführung des Systems zur Bewertung und Überprüfung der Leistungsbeständigkeit notwendig sind, sind Bestandteil des Prüfplans, der beim Deutschen Institut für Bautechnik hinterlegt ist.

Ausgestellt in Berlin am 10. Dezember 2019 vom Deutschen Institut für Bautechnik

BD Dipl.-Ing. Andreas Kummerow
Abteilungsleiter

Begläubigt

Einbauzustand

Bild A1:

Gewindestange, HAS-U-..., HIT-V-... und AM 8.8

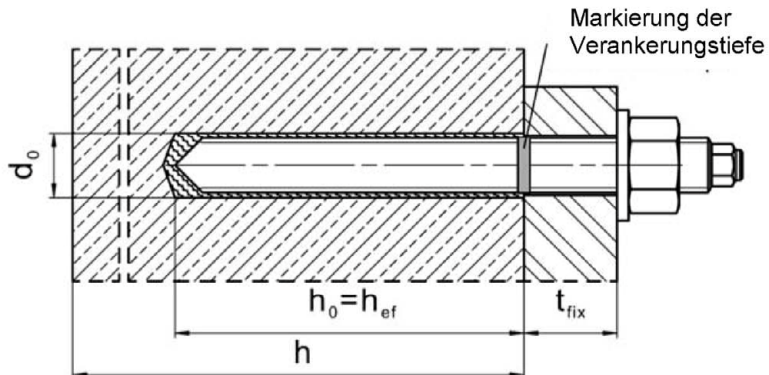


Bild A2:

Gewindestange, HAS-U-..., HIT-V-... und AM 8.8 mit Hilti Verfüll-Set

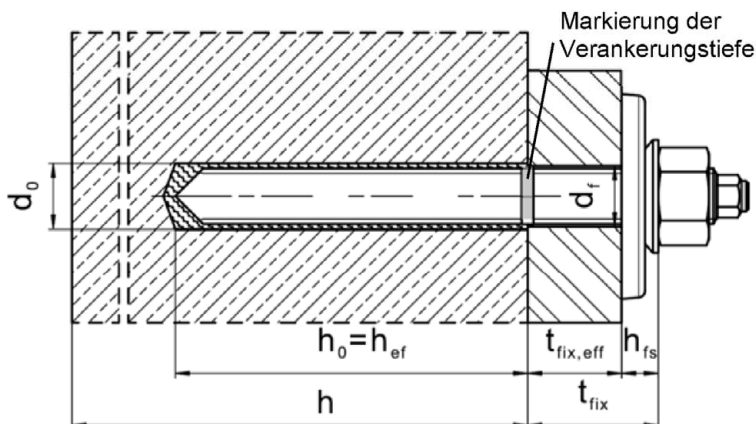
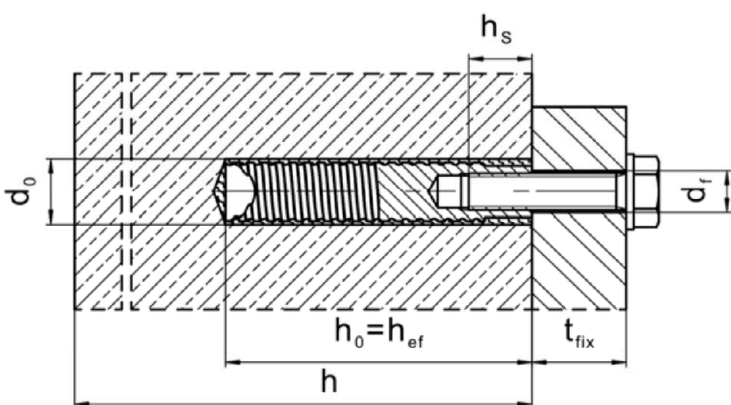


Bild A3:

Innengewindehülse HIS-(R)N



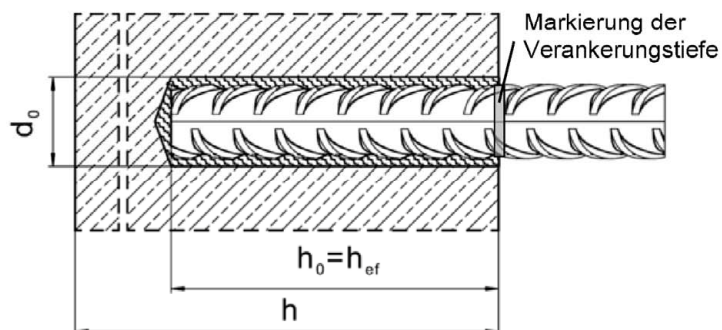
Injektionssystem Hilti HIT-HY 200-R V3

Produktbeschreibung
Einbauzustand

Anhang A1

Einbauzustand

Bild A4:
Betonstahl



Injektionssystem Hilti HIT-HY 200-R V3

Produktbeschreibung
Einbauzustand

Anhang A2

Produktbeschreibung: Injektionsmörtel und Stahlelemente

Injektionsmörtel Hilti HIT-HY 200-R V3: Hybridsystem mit Zuschlag

330 ml und 500 ml

Kennzeichnung:
HILTI-HIT
Chargennummer und
Produktionslinie
Verfallsdatum mm/yyyy

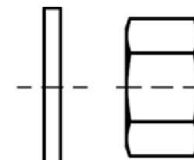
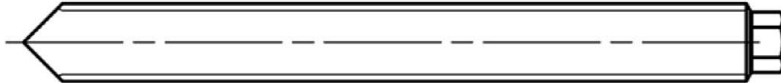


Produktname: "Hilti HIT-HY 200-R V3"

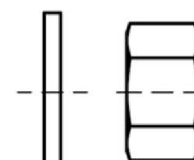
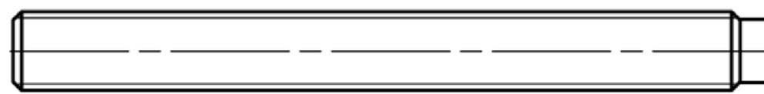
Statikmischer Hilti HIT-RE-M



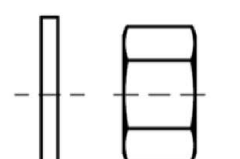
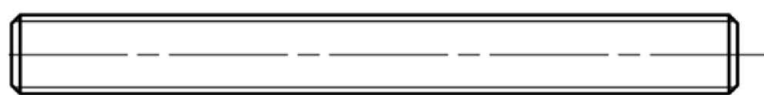
Stahlelemente



HAS-U-...: M8 bis M30



HIT-V-...: M8 bis M30



Gewindestange: M8 bis M30

Hilti AM 8.8 Gewindestange Meterware galvanisch verzinkt: M8 bis M30, 1m bis 3m

Hilti AM HDG 8.8 Gewindestange Meterware feuerverzinkt: M8 bis M30, 1m bis 3m

Handelsübliche Gewindestange:

- Werkstoffe und mechanische Eigenschaften nach Tabelle A1.
- Abnahmeprüfzeugnis 3.1 nach EN 10204:2004. Die Dokumente sind aufzubewahren.
- Markierung der Verankerungstiefe.

Injektionssystem Hilti HIT-HY 200-R V3

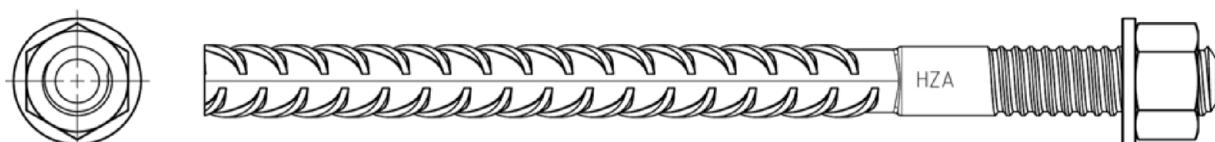
Produktbeschreibung
Injektionsmörtel / Statikmischer / Stahlelemente

Anhang A3

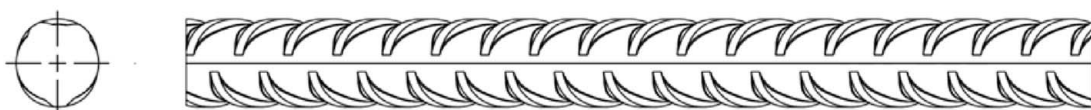
Stahlelemente



Innengewindehülse: HIS-(R)N M8 bis M20



Hilti Zuganker: HZA M12 bis M27 und HZA-R M12 bis M24



Betonstahl (rebar): ϕ 8 bis ϕ 32

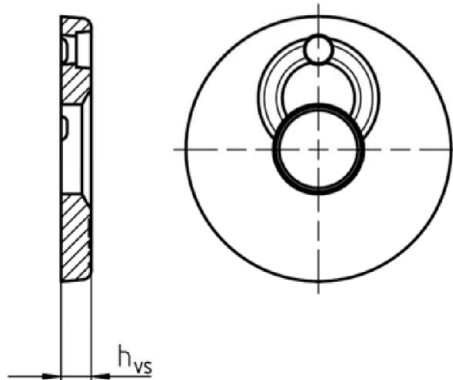
- Werkstoffe und mechanische Eigenschaften nach Tabelle A1
- Maße nach Anhang B6

Hilti Verfüll-Set zum Verfüllen des Ringspalts zwischen Anker und Anbauteil

Verschlusscheibe



Kugelscheibe



Hilti Verfüll-Set	M16	M20	M24
Durchmesser der Verschlusscheibe d _{vs} [mm]	56	60	70
Höhe der Verschlusscheibe h _{vs} [mm]		6	
Höhe des Verfüll-Sets h _{fs} [mm]	11	13	15

Injektionssystem Hilti HIT-HY 200-R V3

Produktbeschreibung
Injektionsmörtel / Statikmischer / Stahlelemente

Anhang A4

Tabelle A1: Werkstoffe

Bezeichnung	Werkstoff
Betonstahl (rebar)	
Betonstahl: EN 1992-1-1: 2004 und AC:2010, Anhang C	Stäbe und Betonstabstahl vom Ring Klasse B oder C mit f_{yk} und k nach NDP oder NCL des EN 1992-1-1/NA $f_{uk} = f_{tk} = k \cdot f_{yk}$.
Stahlteile aus verzinktem Stahl	
HAS-U-5.8 (HDG), HIT-V-5.8(F), Gewindestange	Festigkeitsklasse 5.8, $f_{uk} = 500 \text{ N/mm}^2$, $f_{yk} = 400 \text{ N/mm}^2$, Bruchdehnung ($l_0=5d$) > 8% duktil. Galvanisch verzinkt $\geq 5 \mu\text{m}$, (F) oder (HDG) feuerverzinkt $\geq 45 \mu\text{m}$.
HAS-U-8.8 (HDG), HIT-V-8.8(F), Gewindestange	Festigkeitsklasse 8.8, $f_{uk} = 800 \text{ N/mm}^2$, $f_{yk} = 640 \text{ N/mm}^2$, Bruchdehnung ($l_0=5d$) > 12% duktil. Galvanisch verzinkt $\geq 5 \mu\text{m}$, (F) oder (HDG) feuerverzinkt $\geq 45 \mu\text{m}$.
Hilti Meter Stange AM 8.8 (HDG)	Festigkeitsklasse 8.8, $f_{uk} = 800 \text{ N/mm}^2$, $f_{yk} = 640 \text{ N/mm}^2$ Bruchdehnung ($l_0 = 5d$) > 12% duktil. Galvanisch verzinkt $\geq 5 \mu\text{m}$, (HDG) feuerverzinkt $\geq 45 \mu\text{m}$.
Hilti Zuganker HZA	Rundstahl mit Gewinde: galvanisch verzinkt $\geq 5 \mu\text{m}$. Betonstahl: Betonstabstahl Klasse B gemäß NDP oder NCL des EN 1992-1-1/NA.
Innengewindegöhülse HIS-N	Galvanisch verzinkt $\geq 5 \mu\text{m}$.
Scheibe	Galvanisch verzinkt $\geq 5 \mu\text{m}$, feuerverzinkt $\geq 45 \mu\text{m}$.
Mutter	Festigkeit der Mutter abgestimmt auf Festigkeit der Ankerstange. Galvanisch verzinkt $\geq 5 \mu\text{m}$, (F) feuerverzinkt $\geq 45 \mu\text{m}$.
Hilti Verfüll-Set (F)	Verschlusscheibe: Galvanisch verzinkt $\geq 5 \mu\text{m}$, (F) feuerverzinkt $\geq 45 \mu\text{m}$. Kugelscheibe: Galvanisch verzinkt $\geq 5 \mu\text{m}$, (F) feuerverzinkt $\geq 45 \mu\text{m}$. Sicherungsmutter: Galvanisch verzinkt $\geq 5 \mu\text{m}$, (F) feuerverzinkt $\geq 45 \mu\text{m}$.

Injektionssystem Hilti HIT-HY 200-R V3

Produktbeschreibung
Werkstoffe

Anhang A5

Tabelle A1: fortgesetzt

Stahlteile aus nichtrostendem Stahl der Korrosionsbeständigkeitsklasse III gemäß DIN EN 1993-1-4:2015	
HAS-U A4, HIT-V-R	Für ≤ M24: Festigkeitsklasse 70, $f_{uk} = 700 \text{ N/mm}^2$, $f_{yk} = 450 \text{ N/mm}^2$, Für > M24: Festigkeitsklasse 50, $f_{uk} = 500 \text{ N/mm}^2$, $f_{yk} = 210 \text{ N/mm}^2$, Bruchdehnung ($l_0=5d$) > 8% duktil.
Gewindestange	Für ≤ M24: Festigkeitsklasse 70, $f_{uk} = 700 \text{ N/mm}^2$, $f_{yk} = 450 \text{ N/mm}^2$; Für > M24: Festigkeitsklasse 50, $f_{uk} = 500 \text{ N/mm}^2$, $f_{yk} = 210 \text{ N/mm}^2$; Bruchdehnung ($l_0=5d$) > 8% duktil. Nichtrostender Stahl 1.4401, 1.4404, 1.4578, 1.4571, 1.4439, 1.4362 EN 10088-1:2014
Hilti Zuganker HZA-R	Rundstahl mit Gewinde: Nichtrostender Stahl 1.4404, 1.4362, 1.4571 EN 10088-1:2014. Betonstahl: Betonstabstahl Klasse B gemäß NDP oder NCL des EN 1992-1-1/NA.
Innengewindestange HIS-RN	Nichtrostender Stahl 1.4401, 1.4571 EN 10088-1:2014.
Scheibe	Nichtrostender Stahl 1.4401, 1.4404, 1.4578, 1.4571, 1.4439, 1.4362 EN 10088-1:2014
Mutter	Für ≤ M24: Festigkeitsklasse 70, $f_{uk} = 700 \text{ N/mm}^2$, $f_{yk} = 450 \text{ N/mm}^2$, Für > M24: Festigkeitsklasse 50, $f_{uk} = 500 \text{ N/mm}^2$, $f_{yk} = 210 \text{ N/mm}^2$, Nichtrostender Stahl 1.4401, 1.4404, 1.4578, 1.4571, 1.4439, 1.4362 EN 10088-1:2014
Stahlteile aus hochkorrosionsbeständigem Stahl der Korrosionsbeständigkeitsklasse V gemäß DIN EN 1993-1-4:2015	
HAS-U HCR, HIT-V-HCR	Für ≤ M20: $f_{uk} = 800 \text{ N/mm}^2$, $f_{yk} = 640 \text{ N/mm}^2$, Für > M20: $f_{uk} = 700 \text{ N/mm}^2$, $f_{yk} = 400 \text{ N/mm}^2$, Bruchdehnung ($l_0=5d$) > 8% duktil.
Gewindestange	Für ≤ M20: $f_{uk} = 800 \text{ N/mm}^2$, $f_{yk} = 640 \text{ N/mm}^2$, Für > M20: $f_{uk} = 700 \text{ N/mm}^2$, $f_{yk} = 400 \text{ N/mm}^2$, Bruchdehnung ($l_0=5d$) > 8% duktil. Hochkorrosionsbeständiger Stahl 1.4529, 1.4565 EN 10088-1:2014.
Scheibe	Hochkorrosionsbeständiger Stahl 1.4529, 1.4565 EN 10088-1:2014.
Mutter	Für ≤ M20: $f_{uk} = 800 \text{ N/mm}^2$, $f_{yk} = 640 \text{ N/mm}^2$, Für > M20: $f_{uk} = 700 \text{ N/mm}^2$, $f_{yk} = 400 \text{ N/mm}^2$, Hochkorrosionsbeständiger Stahl 1.4529, 1.4565 EN 10088-1:2014.

Injektionssystem Hilti HIT-HY 200-R V3

Produktbeschreibung
Werkstoffe

Anhang A6

Spezifizierung des Verwendungszwecks

Beanspruchung der Verankerung:

- Statische und quasistatische Belastung.
- Seismische Leistungskategorie C1 und C2 (siehe Tabelle B1).

Verankerungsgrund:

- Verdichteter bewehrter oder unbewehrter Normalbeton ohne Fasern nach EN 206:2013+A1:2016.
- Festigkeitsklassen C20/25 bis C50/60 nach EN 206-1:2013+A1:2016.
- Gerissener und ungerissener Beton.

Temperatur im Verankерungsgrund:

- **Beim Einbau**
-10 °C bis +40 °C für die übliche Temperaturveränderung nach dem Einbau

- **Im Nutzungszustand**

Temperaturbereich I: -40 °C bis +40 °C

(max. Langzeittemperatur +24 °C und max. Kurzzeittemperatur +40 °C)

Temperaturbereich II: -40 °C bis +80 °C

(max. Langzeittemperatur +50 °C und max. Kurzzeittemperatur +80 °C)

Temperaturbereich III: -40 °C bis +120 °C

(max. Langzeittemperatur +72 °C und max. Kurzzeittemperatur +120 °C)

Tabelle B1: Spezifikationen des Verwendungszweckes

	HIT-HY 200-R V3 mit ...			
Elemente	HAS-U-..., HIT-V-..., AM 8.8 	Betonstahl 	HZA(-R) 	HIS-(R)N
Hammerbohren mit Hohlbohrer TE-CD oder TE-YD 	✓	✓	✓	✓
Hammerbohren 	✓	✓	✓	✓
Diamantbohren mit Aufrauhwerkzeug TE-YRT 	✓	✓	✓	✓
Statische und quasistatische Belastung in gerissenem und ungerissenem Beton	M8 bis M30	Ø 8 bis Ø 32	M12 bis M27	M8 bis M20
Seismische Leistungskategorie C1	M10 bis M30	Ø 10 bis Ø 32	M12 bis M27	-
Seismische Leistungskategorie C2	M16 bis M24, HAS-U 8.8, HIT-V 8.8, AM 8.8, HAS-U 8.8 HDG, HIT-V-F 8.8, AM HDG 8.8 Handelsübliche Gewindestange (nur galvanisch verzinkt)	-	-	-

Injektionssystem Hilti HIT-HY 200-R V3

Verwendungszweck
Spezifizierung

Anhang B1

Anwendungsbedingungen (Umweltbedingungen):

- Bauteile unter den Bedingungen trockener Innenräume (alle Stahlsorten).
- Für alle anderen Bedingungen entsprechend DIN EN 1993-1-4:2015: Korrosionsbeständigkeitsklasse nach Anhang A6 Tabelle A1 (nichtrostende Stähle).

Bemessung:

- Die Befestigungen müssen unter der Verantwortung eines auf dem Gebiet der Verankerungen und des Betonbaus erfahrenen Ingenieurs bemessen werden.
- Unter Berücksichtigung der zu verankernden Lasten sind prüfbare Berechnungen und Konstruktionszeichnungen anzufertigen. Auf den Konstruktionszeichnungen ist die Lage des Befestigungselements (z.B. Lage des Befestigungselements zur Bewehrung oder zu den Auflagern usw.) anzugeben.
- Die Bemessung der Verankerungen erfolgt in Übereinstimmung mit:
EN 1992-4:2018 und EOTA Technical Report TR 055.

Einbau:

- Nutzungskategorie: trockener oder feuchter Beton (nicht in mit Wasser gefüllten Bohrlöchern) für alle Bohrverfahren.
- Bohrverfahren:
 - Hammerbohren,
 - Hammerbohren mit Hilti Hohlbohrer TE-CD, TE-YD,
 - Diamantbohren mit nachfolgendem Aufrauen mit Hilti Aufrauwerkzeug TE-YRT.
- Montagerichtung D3: vertikal nach unten, horizontal und vertikal nach oben (z.B. Überkopf) für alle Elemente zulässig.
- Der Einbau erfolgt durch entsprechend geschulten Personals unter der Aufsicht des Bauleiters.

Injektionssystem Hilti HIT-HY 200-R V3

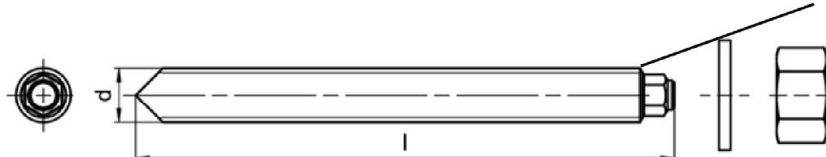
Verwendungszweck
Spezifizierung

Anhang B2

Tabelle B2: Montagekennwerte Gewindestange, HAS-U-..., HIT-V-... und AM 8.8

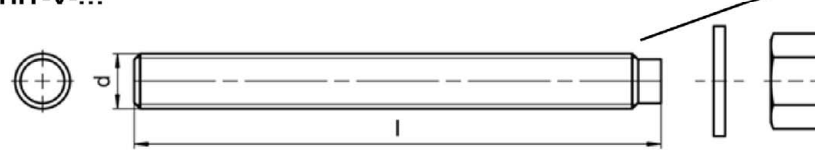
Gewindestange, HAS-U-..., HIT-V-..., AM 8.8	M8	M10	M12	M16	M20	M24	M27	M30
Elementdurchmesser d [mm]	8	10	12	16	20	24	27	30
Bohrernenndurchmesser d_0 [mm]	10	12	14	18	22	28	30	35
Setztiefe und Bohrlochtiefe $h_{\text{ef}} = h_0$ [mm]	60 bis 160	60 bis 200	70 bis 240	80 bis 320	90 bis 400	96 bis 480	108 bis 540	120 bis 600
Maximaler Durchmesser des Durchgangslochs im Anbauteil d_f [mm]	9	12	14	18	22	26	30	33
Höhe des Verfüll-Sets h_{fs} [mm]	-	-	-	11	13	15	-	-
Effektive Anbauteildicke mit Hilti Verfüll-Set $t_{\text{fix,eff}}$ [mm]								
Minimale Bauteildicke h_{min} [mm]	$h_{\text{ef}} + 30$ $\geq 100 \text{ mm}$			$h_{\text{ef}} + 2 \cdot d_0$				
Maximales Anzugsdrehmoment T_{max} [Nm]	10	20	40	80	150	200	270	300
Minimaler Achsabstand s_{min} [mm]	40	50	60	75	90	115	120	140
Minimaler Randabstand c_{min} [mm]	40	45	45	50	55	60	75	80

HAS-U-...



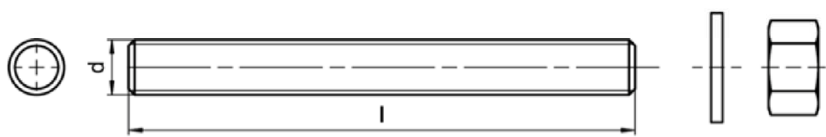
Kennzeichnung:
Zahl für Festigkeitsklasse und Buchstabe zur Längenidentifikation:
z. B. 8L.

HIT-V-...



Kennzeichnung:
 5.8 - I = HIT-V-5.8 M...xI
 5.8F - I = HIT-V-5.8F M...xI
 8.8 - I = HIT-V-8.8 M...xI
 8.8F - I = HIT-V-8.8F M...xI
 R - I = HIT-V-R M...xI
 HCR - I = HIT-V-HCR M...xI

Hilti Gewindestange Meterware AM (HDG) 8.8



Injektionssystem Hilti HIT-HY 200-R V3

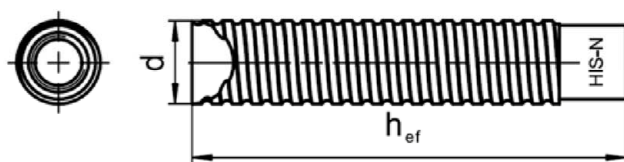
Verwendungszweck
Montagekennwerte für Gewindestange, HAS-U-..., HIT-V-... und AM 8.8

Anhang B3

Tabelle B3: Montagekennwerte Innengewindegöhle HIS-(R)N

Innengewindegöhle HIS-(R)N...		M8	M10	M12	M16	M20
Außendurchmesser Hülse	d [mm]	12,5	16,5	20,5	25,4	27,6
Bohrernennendurchmesser	d ₀ [mm]	14	18	22	28	32
Setztiefe und Bohrlochtiefe	h _{ef} = h ₀ [mm]	90	110	125	170	205
Maximaler Durchmesser des Durchgangslochs im Anbauteil	d _f [mm]	9	12	14	18	22
Minimale Bauteildicke	h _{min} [mm]	120	150	170	230	270
Maximales Anzugsdrehmoment	T _{max} [Nm]	10	20	40	80	150
Einschraubtiefe min-max	h _s [mm]	8-20	10-25	12-30	16-40	20-50
Minimaler Achsabstand	s _{min} [mm]	60	75	90	115	130
Minimaler Randabstand	c _{min} [mm]	40	45	55	65	90

Innengewindegöhle HIS-(R)N...



Kennzeichnung:
Identifizierung - HILTI und
Prägung "HIS-N" (für C-Stahl)
Prägung "HIS-RN" (für rostfreien Stahl)

Injektionssystem Hilti HIT-HY 200-R V3

Verwendungszweck
Montagekennwerte für Innengewindegöhle HIS-(R)N

Anhang B4

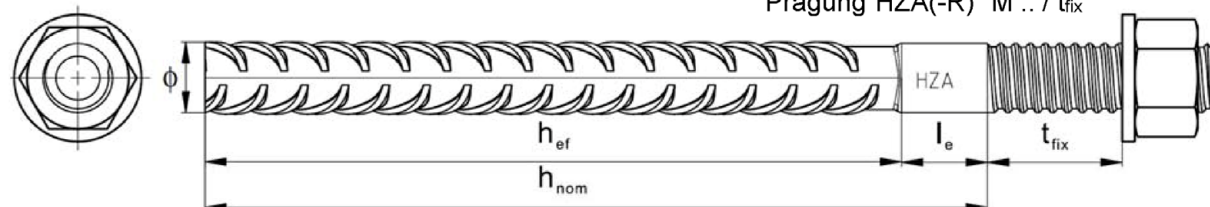
Tabelle B4: Montagekennwerte Hilti Zuganker HZA-R

Hilti Zuganker HZA-R ...		M12	M16	M20	M24
Betonstahl Durchmesser	ϕ [mm]	12	16	20	25
Nominelle Einbindetiefe und Bohrlochtiefe	$h_{\text{nom}} = h_0$ [mm]	170 bis 240	180 bis 320	190 bis 400	200 bis 500
Setztiefe ($h_{\text{ef}} = h_{\text{nom}} - l_e$)	h_{ef} [mm]	$h_{\text{nom}} - 100$			
Länge des glatten Schaftes	l_e [mm]	100			
Bohrernennendurchmesser	d_0 [mm]	16	20	25	32
Maximaler Durchmesser des Durchgangslochs im Anbauteil	d_f [mm]	14	18	22	26
Maximales Anzugsdrehmoment	T_{\max} [Nm]	40	80	150	200
Minimale Bauteildicke	h_{\min} [mm]	$h_{\text{nom}} + 2 \cdot d_0$			
Minimaler Achsabstand	s_{\min} [mm]	65	80	100	130
Minimaler Randabstand	c_{\min} [mm]	45	50	55	60

Tabelle B5: Montagekennwerte Hilti Zuganker HZA

Hilti Zuganker HZA...		M12	M16	M20	M24	M27
Betonstahl Durchmesser	ϕ [mm]	12	16	20	25	28
Nominelle Einbindetiefe und Bohrlochtiefe	$h_{\text{nom}} = h_0$ [mm]	90 bis 240	100 bis 320	110 bis 400	120 bis 500	140 bis 560
Setztiefe ($h_{\text{ef}} = h_{\text{nom}} - l_e$)	h_{ef} [mm]	$h_{\text{nom}} - 20$				
Länge des glatten Schaftes	l_e [mm]	20				
Bohrernennendurchmesser	d_0 [mm]	16	20	25	32	35
Maximaler Durchmesser des Durchgangslochs im Anbauteil	d_f [mm]	14	18	22	26	30
Maximales Anzugsdrehmoment	T_{\max} [Nm]	40	80	150	200	270
Minimale Bauteildicke	h_{\min} [mm]	$h_{\text{nom}} + 2 \cdot d_0$				
Minimaler Achsabstand	s_{\min} [mm]	65	80	100	130	140
Minimaler Randabstand	c_{\min} [mm]	45	50	55	60	75

Kennzeichnung:
Prägung "HZA(-R)" M .. / t_{fix}



Injektionssystem Hilti HIT-HY 200-R V3

Verwendungszweck
Montagekennwerte Hilti Zuganker HZA-(R)

Anhang B5

Tabelle B6: Montagekennwerte Betonstahl

Betonstahl (rebar)	$\phi 8$	$\phi 10$	$\phi 12$	$\phi 14$	$\phi 16$	$\phi 20$	$\phi 25$	$\phi 26$	$\phi 28$	$\phi 30$	$\phi 32$
Durchmesser ϕ [mm]	8	10	12	14	16	20	25	26	28	30	32
Wirksame Verankerungstiefe und Bohrlochtiefe $h_{ef} = h_0$ [mm]	60 bis 160	60 bis 200	70 bis 240	75 bis 280	80 bis 320	90 bis 400	100 bis 500	104 bis 520	112 bis 560	120 bis 600	128 bis 640
Nenndurchmesser des Bohrer d_0 [mm]	10 / 12 ¹⁾	12 / 14 ¹⁾	14 ¹⁾	16 ¹⁾	18	20	25	32	32	35	37
Minimale Bauteildicke h_{min} [mm]	$h_{ef} + 30 \geq 100$ mm				$h_{ef} + 2 \cdot d_0$						
Minimaler Achsabstand s_{min} [mm]	40	50	60	70	80	100	125	130	140	150	160
Minimaler Randabstand c_{min} [mm]	40	45	45	50	50	65	70	75	75	80	80

¹⁾ Beide angegebenen Durchmesser können verwendet werden.

Betonstahl



Für Betonstahl

- Mindestwerte der bezogenen Rippenfläche $f_{R,min}$ nach EN 1992-1-1:2004+AC:2010
- Die Rippenhöhe des Betonstahls h_{rib} soll im folgenden Bereich liegen $0,05 \cdot \phi \leq h_{rib} \leq 0,07 \cdot \phi$
(ϕ : Nomineller Durchmesser des Betonstahls; h_{rib} : Rippenhöhe des Betonstahls)

Injektionssystem Hilti HIT-HY 200-R V3

Verwendungszweck
Montagekennwerte Betonstahl

Anhang B6

Tabelle B7: Maximale Verarbeitungszeit und min. Aushärtezeit Hilti-HY 200-R V3

Temperatur im Verankerungsgrund T	Maximale Verarbeitungszeit t_{work}	Minimale Aushärtezeit t_{cure}
-10 °C bis -5 °C	3 h	20 h
> -5 °C bis 0 °C	1,5 h	8 h
> 0 °C bis 5 °C	45 min	4 h
> 5 °C bis 10 °C	30 min	2,5 h
> 10 °C bis 20 °C	15 min	1,5 h
> 20 °C bis 30 °C	9 min	1 h
> 30 °C bis 40 °C	6 min	1 h

Injektionssystem Hilti HIT-HY 200-R V3

Verwendungszweck

Maximale Verarbeitungszeit und minimale Aushärtezeit

Anhang B7

Tabelle B8: Angaben zu Bohr- und Reinigungswerkzeugen

Elemente				Bohren und Reinigen					Installations-
Gewinde- stange, HAS-U-..., HIT-V-..., AM 8.8	HIS-(R)N	Beton- stahl	HZA(-R)	Hammerbohren	Hohl- bohrer	Diamantbohren	Aufrau- werkzeug	Bürste	Stau- zapfen
									
Größe	Größe	Größe	Größe	d ₀ [mm]	d ₀ [mm]	d ₀ [mm]	d ₀ [mm]	HIT-RB	HIT-SZ
M8	-	φ8	-	10	-	-	-	10	-
M10	-	φ8 / φ10	-	12	12 ¹⁾	-	-	12	12
M12	M8	φ10 / φ12	-	14	14 ¹⁾	-	-	14	14
-	-	φ12	M12	16	16	-	-	16	16
M16	M10	φ14	-	18	18	18	18	18	18
-	-	φ16	M16	20	20	20	20	20	20
M20	M12	-	-	22	22	22	22	22	22
-	-	φ20	M20	25	25	25	25	25	25
M24	M16	-	-	28	28	28	28	28	28
M27	-	-	-	30	-	-	-	30	30
-	M20	φ25 / φ26	M24	32	32	32	32	32	32
M30	-	φ28	M27	35	35	35	35	35	35
-	-	φ30	-	37	-	-	-	37	37
-	-	φ32	-	40	-	-	-	40	40

¹⁾ Nur in Kombination mit einem Hilti Staubsauger verwenden, der eine Ansaugmenge $\geq 61 \text{ l/s}$ besitzt (VC 20/40 -Y nur im Netzbetrieb).

Reinigungsalternativen

Handreinigung (MC):

Zum Ausblasen von Bohrlöchern bis zu einem Durchmesser von $d_0 \leq 20 \text{ mm}$ und einer Bohrlochtiefe von $h_0 \leq 10 \cdot d$ wird die Hilti-Handausblaspumpe empfohlen.



Druckluftreinigung (CAC):

Zum Ausblasen mit Druckluft wird die Verwendung einer Ausblasdüse mit einem Durchmesser von mindestens 3,5 mm empfohlen.



Automatische Reinigung (AC):

Die Reinigung wird während dem Bohren mit dem Hilti TE-CD und TE-YD Bohrsystem inklusive Staubsauger durchgeführt.



Injektionssystem Hilti HIT-HY 200-R V3

Verwendungszweck

Angaben zu Bohr- und Reinigungswerkzeugen
Reinigungsalternativen

Anhang B8

Tabelle B9: Angaben zum Hilti Aufrauwerkzeug TE-YRT

Zugehörige Komponenten			
Diamantbohren		Aufrauhwerkzeug TE-YRT	Abnutzungslehre RTG...
			
d_0 [mm]		d_0 [mm]	Größe
Nominal	Gemessen		
18	17,9 bis 18,2	18	18
20	19,9 bis 20,2	20	20
22	21,9 bis 22,2	22	22
25	24,9 bis 25,2	25	25
28	27,9 bis 28,2	28	28
30	29,9 bis 30,2	30	30
32	31,9 bis 32,2	32	32
35	34,9 bis 35,2	35	35

Tabelle B10: Angaben zur Aufrau- und Ausblaszeit

	Aufrauzeit $t_{roughen}$	Minimale Ausblaszeit $t_{blowing}$
h_{ef} [mm]	$t_{roughen}$ [sec] = h_{ef} [mm] / 10	$t_{blowing}$ [sec] = $t_{roughen}$ [sec] + 20
0 bis 100	10	30
101 bis 200	20	40
201 bis 300	30	50
301 bis 400	40	60
401 bis 500	50	70
501 bis 600	60	80

Hilti Aufrauwerkzeug TE-YRT und Abnutzungslehre RTG



Injektionssystem Hilti HIT-HY 200-R V3

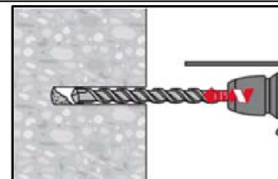
Verwendungszweck
Angaben zum Hilti Aufrauwerkzeug TE-YRT

Anhang B9

Montageanweisung

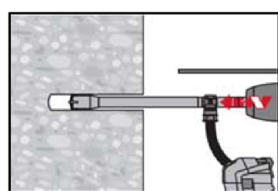
Bohrlocherstellung

a) Hammerbohren



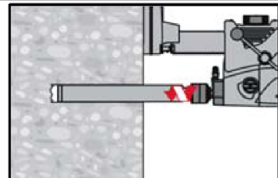
Bohrloch mit Bohrhammer drehschlagend, unter Verwendung des passenden Bohrerdurchmessers auf die richtige Bohrtiefe erstellen.

b) Hammerbohren mit Hilti Hohlbohrer

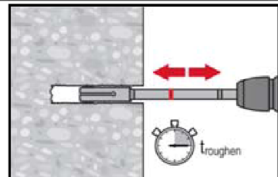


Die Bohrlocherstellung bis zur erforderlichen Setztiefe erfolgt drehschlagend mit einem Hilti Hohlbohrer TE-CD oder TE-YD in Kombination mit einem Hilti Staubsauger VC 20/40 (-Y) (Saugvolumen $\geq 57 \text{ l/s}$) bei dem die automatische Filterreinigung aktiviert ist. Dieses Bohrsystem beseitigt bei Anwendung gemäß der Gebrauchsanweisung des Hohlbohrers das Bohrmehl und reinigt das Bohrloch während des Bohrvorgangs. Bei Verwendung von TE-CD Größe 12 oder 14 siehe Tabelle B8. Nach Beendigung des Bohrens kann mit der Mörtelverfüllung gemäß Montageanweisung begonnen werden.

c) Diamantbohren mit nachfolgendem Aufrauen mit Hilti Aufrauwerkzeug TE-YRT:



Diamantbohren ist zulässig, wenn geeignete Diamantbohrmaschinen und zugehörige Bohrkronen verwendet werden.
Kennwerte zur Verwendung in Kombination mit dem Hilti Aufrauwerkzeug TE-YRT siehe Tabelle B10.



Vor dem Aufrauen muss das Wasser aus dem Bohrloch entfernt werden.
Verwendbarkeit des Aufrauwerkzeugs mit der Abnutzungslehre RTG prüfen.
Das Bohrloch über die gesamte Bohrtiefe bis zur geforderten Verankerungstiefe h_{ef} aufrauen.

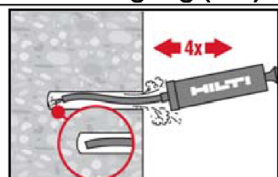
Bohrlochreinigung

Unmittelbar vor dem Setzen des Befestigungselements muss das Bohrloch frei von Bohrmehl und Verunreinigungen sein.

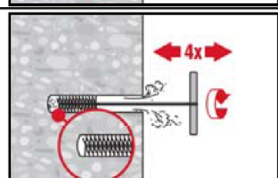
Schlechte Bohrlochreinigung = geringe Traglasten.

Handreinigung (MC)

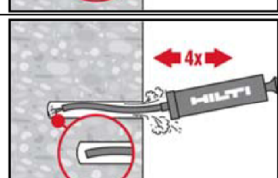
Ungerissener Beton. Bohrlochdurchmesser $d_0 \leq 20 \text{ mm}$ und Bohrlochtiefen $h_0 \leq 10 \cdot d$.



Für Bohrlochdurchmesser $d_0 \leq 20 \text{ mm}$ und Bohrlochtiefen $h_0 \leq 10 \cdot d$. Das Bohrloch mindestens 4-mal mit der Hilti Ausblaspumpe vom Bohrlochgrund ausblasen, bis die rückströmende Luft staubfrei ist.



4-mal mit Stahlbürste in passender Größe (siehe Tabelle B8) bürsten. Stahlbürste Hilti HIT-RB mit einer Drehbewegung in das Bohrloch bis zum Bohrlochgrund einführen und wieder herausziehen (falls notwendig mit Verlängerung). Die Bürste muss beim Einführen einen Widerstand erzeugen (Bürsten $\varnothing \geq$ Bohrloch \varnothing) - falls nicht, ist die Bürste zu klein und muss durch eine größere Bürste ersetzt werden.



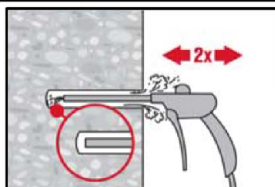
Bohrloch erneut mit der Hilti Handausblaspumpe vom Bohrlochgrund mindestens 4-mal ausblasen, bis die rückströmende Luft staubfrei ist.

Injektionssystem Hilti HIT-HY 200-R V3

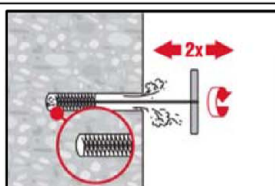
Verwendungszweck Montageanweisung

Anhang B10

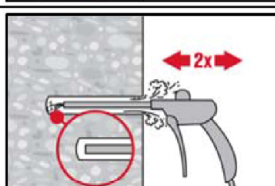
Druckluftreinigung (CAC) für alle Bohrlochdurchmesser d_0 und Bohrlochtiefen h_0 .



Bohrloch 2-mal vom Bohrlochgrund über die gesamte Länge mit ölfreier Druckluft (min. 6 bar bei 6 m³/h; falls notwendig mit Verlängerung) ausblasen, bis die rückströmende Luft staubfrei ist.
Für Bohrlochdurchmesser ≥ 32 mm muss der Kompressor mindestens 140 m³/h Luftstrom haben.

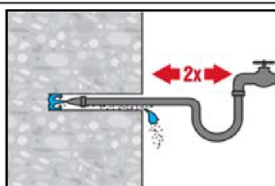


2-mal mit Stahlbürste in passender Größe (siehe Tabelle B8) bürsten. Stahlbürste Hilti HIT-RB mit einer Drehbewegung in das Bohrloch bis zum Bohrlochgrund einführen und wieder herausziehen (falls notwendig mit Verlängerung). Die Bürste muss beim Einführen einen Widerstand erzeugen (Bürsten Ø \geq Bohrloch Ø) - falls nicht, ist die Bürste zu klein und muss durch eine größere Bürste ersetzt werden.

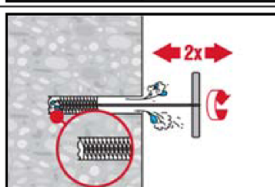


Bohrloch erneut vom Bohrlochgrund über die gesamte Länge 2-mal mit Druckluft ausblasen, bis die rückströmende Luft staubfrei ist.

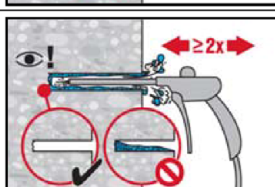
Reinigen von diamantgebohrten Löchern, die mit dem Hilti Aufrauwerkzeug TE-YRT aufgeraut wurden.



Das Bohrloch 2 mal mittels Wasser mit einem Schlauch vom Bohrlochgrund spülen, bis klares Wasser aus dem Bohrloch austritt. Normaler Wasserleitungsdruck genügt.



2-mal mit Stahlbürste in passender Größe (siehe Tabelle B8) bürsten. Stahlbürste Hilti HIT-RB mit einer Drehbewegung in das Bohrloch bis zum Bohrlochgrund einführen und wieder herausziehen (falls notwendig mit Verlängerung). Die Bürste muss beim Einführen einen Widerstand erzeugen (Bürsten Ø \geq Bohrloch Ø) - falls nicht, ist die Bürste zu klein und muss durch eine größere Bürste ersetzt werden.



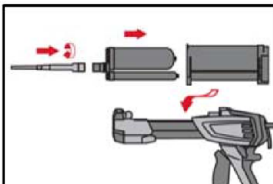
Bohrloch 2-mal vom Bohrlochgrund über die gesamte Länge mit ölfreier Druckluft (min. 6 bar bei 6 m³/h; falls notwendig mit Verlängerung) ausblasen, bis die rückströmende Luft staubfrei und das Bohrloch trocken ist. Vor dem Verfüllen mit Mörtel das Wasser vollständig aus dem Bohrloch entfernen bis das Bohrloch vollständig trocken ist. Für Bohrlochdurchmesser ≥ 32 mm muss der Kompressor mindestens 140 m³/h Luftstrom haben.

Injektionssystem Hilti HIT-HY 200-R V3

Verwendungszweck
Montageanweisung

Anhang B11

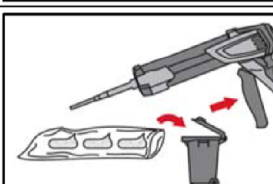
Injektionsvorbereitung



Hilti Statikmischer HIT-RE-M fest auf Foliengebinde aufschrauben. Den Mischer unter keinen Umständen verändern.

Befolgen Sie die Bedienungsanleitung des Auspressgerätes.

Prüfen der Kassette und des Foliengebindes auf einwandfreie Funktion. Foliengebinde in die Kassette einführen und Kassette in Auspressgerät einsetzen.



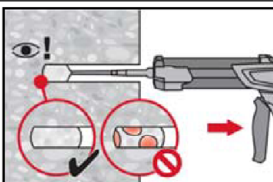
Das Öffnen der Foliengebinde erfolgt automatisch bei Auspressbeginn. Der am Anfang aus dem Mischer austretende Mörtelvorlauf darf nicht für Befestigungen verwendet werden. Die Menge des Mörtelvorlaufes ist abhängig von der Gebindegröße:

2 Hübe für 330 ml Foliengebinde,

3 Hübe für 500 ml Foliengebinde,

4 Hübe für 500 ml Foliengebinde $\leq 5^{\circ}\text{C}$.

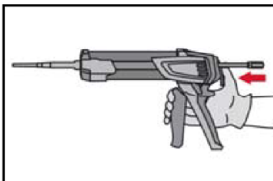
Injektion des Mörtels vom Bohrlochgrund ohne Luftblasen zu bilden.



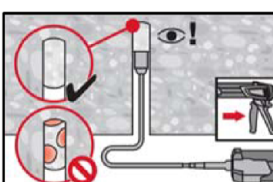
Injizieren des Mörtels vom Bohrlochgrund und während jedem Hub den Mischer langsam etwas herausziehen.

Das Bohrloch zu ca. 2/3 verfüllen. Nach dem Einsetzen des Befestigungselementes muss der Ringspalt vollständig mit Mörtel ausgefüllt sein.

In nassem Beton muss das Befestigungselement direkt nach dem Reinigen gesetzt werden.



Nach der Mörtelinjektion die Entriegelungstaste am Auspressgerät betätigen, um Mörtelnachlauf zu vermeiden.



Überkopfanwendung und/oder Montage bei Verankerungstiefen von $h_{\text{ef}} > 250\text{mm}$.

Das Injizieren des Mörtels bei Überkopfanwendung ist nur mit Hilfe von Stauzapfen und Verlängerungen möglich.

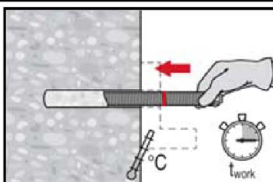
HIT-RE-M Mischer, Mischerverlängerung und entsprechenden Stauzapfen Hilti HIT-SZ (siehe Tabelle B8) zusammenfügen. Den Stauzapfen bis zum Bohrlochgrund einführen und Mörtel injizieren. Während der Injektion wird der Stauzapfen über den Staudruck vom Bohrlochgrund automatisch nach außen geschoben.

Injektionssystem Hilti HIT-HY 200-R V3

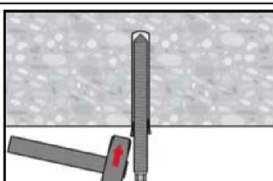
Verwendungszweck
Montageanweisung

Anhang B12

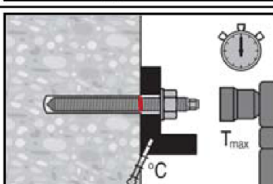
Setzen des Befestigungselementes



Vor der Montage sicherstellen, dass das Element trocken und frei von Öl und anderen Verunreinigungen ist.
Befestigungselement markieren und bis zur gewünschten Verankerungstiefe einführen, noch bevor die Verarbeitungszeit t_{work} (siehe Tabelle B7) abgelaufen ist.

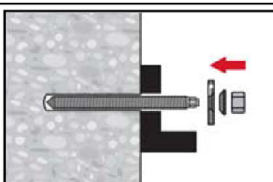


Bei Überkopfanwendung das Element in seiner endgültigen Position z.B. mittels Keilen (Hilti HIT-OHW), gegen Herausrutschen sichern.

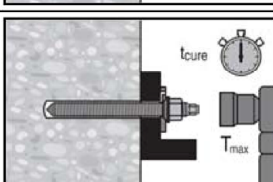


Last bzw. Drehmoment aufbringen: Nach Ablauf der Aushärtezeit t_{cure} (siehe Tabelle B7) kann der Anker belastet werden.
Das aufzubringende Drehmoment darf die angegebenen Werte T_{max} nach Tabelle B2 bis Tabelle B5 nicht überschreiten.

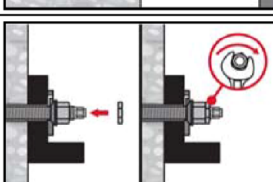
Einbau des Hilti Verfüll-Sets



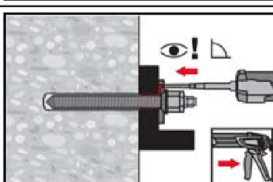
Verwendung des Hilti Verfüll-Sets mit Standardmutter. Korrekte Orientierung der Verschluss scheibe und der Kugelscheibe beachten.



Das aufzubringende Drehmoment darf die angegebenen Werte T_{max} nach Tabelle B2 bis Tabelle B5 nicht überschreiten.



Optional:
Sicherungsmutter aufdrehen und mit einer 1/4 bis 1/2 Umdrehung anziehen. (Nicht für Größe M24.)



Ringspalt zwischen Ankerstange und Anbauteil mit einem Hilti HIT-HY ... oder HIT-RE... Injektionsmörtel mit 1 bis 3 Hüben verfüllen.
Befolgen Sie die Bedienungsanleitung des entsprechenden Mörtels, die dem Foliengebinde beigelegt ist
Nach Ablauf der erforderlichen Aushärtezeit t_{cure} kann der Anker belastet werden.

Injektionssystem Hilti HIT-HY 200-R V3

Verwendungszweck
Montageanweisung

Anhang B13

Tabelle C1: Wesentliche Merkmale für Gewindestangen, HAS-U-..., HIT-V-... und AM 8.8 unter Zugbeanspruchung in Beton

Gewindestange, HAS-U-..., HIT-V-... und AM 8.8	M8	M10	M12	M16	M20	M24	M27	M30
Montagesicherheitsbeiwert								
Hammerbohren γ_{inst} [-]								
Hammerbohren mit Hilti Hohlbohrer TE-CD oder TE-YD	γ_{inst} [-]	1)						1,0
Diamantbohren mit aufrauen mit Hilti Aufrauwerkzeug TE-YRT	γ_{inst} [-]		1)					1,0
Stahlversagen								
Charakteristischer Widerstand $N_{Rk,s}$ [kN]								$A_s \cdot f_{uk}$
Teilsicherheitsbeiwert Festigkeitsklasse 5.8	$\gamma_{Ms,N}^{(2)}$ [-]							1,5
Teilsicherheitsbeiwert Festigkeitsklasse 8.8	$\gamma_{Ms,N}^{(2)}$ [-]							1,5
Teilsicherheitsbeiwert HAS-U A4, HIT-V-R	$\gamma_{Ms,N}^{(2)}$ [-]					1,86		2,86
Teilsicherheitsbeiwert HAS-U HCR, HIT-V-HCR	$\gamma_{Ms,N}^{(2)}$ [-]				1,5			2,1
Kombiniertes Versagen durch Herausziehen und Betonausbruch								
Charakteristische Verbundtragfähigkeit im ungerissenen Beton C20/25								
Temperaturbereich I: 40 °C / 24 °C	$\tau_{Rk,ucr}$ [N/mm²]							18
Temperaturbereich II: 80 °C / 50 °C	$\tau_{Rk,ucr}$ [N/mm²]							15
Temperaturbereich III: 120 °C / 72 °C	$\tau_{Rk,ucr}$ [N/mm²]							13
Charakteristische Verbundtragfähigkeit im gerissenen Beton C20/25								
Temperaturbereich I: 40 °C / 24 °C	$\tau_{Rk,cr}$ [N/mm²]	7,5			8,5			9,0
Temperaturbereich II: 80 °C / 50 °C	$\tau_{Rk,cr}$ [N/mm²]	6,0			7,0			7,5
Temperaturbereich III: 120 °C / 72 °C	$\tau_{Rk,cr}$ [N/mm²]	5,5			6,0			6,5
Einflussfaktoren ψ auf Verbundtragfähigkeit τ_{Rk}								
Gerissener und ungerissener Beton: Einflussfaktor ψ_c		C30/37						1,04
Betonfestigkeit		C40/45						1,07
		C50/60						1,1
Gerissener und ungerissener Beton: Einflussfaktor Dauerlast ψ_{sus}^0		40 °C/24 °C						0,74
		80 °C/50 °C						0,89
		120 °C/72 °C						0,72

Injektionssystem Hilti HIT-HY 200-R V3

Leistungsfähigkeit
Wesentliche Merkmale unter Zugbeanspruchung in Beton

Anhang C1

Tabelle C1: fortgesetzt

Betonausbruch			
Faktor für ungerissenen Beton	$k_{ucr,N}$	[-]	11,0
Faktor für gerissenem Beton	$k_{cr,N}$	[-]	7,7
Randabstand	$c_{cr,N}$	[mm]	$1,5 \cdot h_{ef}$
Achsabstand	$s_{cr,N}$	[mm]	$3,0 \cdot h_{ef}$
Versagen durch Spalten			
Randabstand $c_{cr,sp}$ [mm] für	$h / h_{ef} \geq 2,0$	$1,0 \cdot h_{ef}$	
	$2,0 > h / h_{ef} > 1,3$	$4,6 \cdot h_{ef} - 1,8 \cdot h$	
	$h / h_{ef} \leq 1,3$	$2,26 \cdot h_{ef}$	
Achsabstand	$s_{cr,sp}$	[mm]	$2 \cdot c_{cr,sp}$

1) Leistung nicht bewertet.

2) Sofern nationale Regelungen fehlen.

Tabelle C2: Wesentliche Merkmale für Gewindestangen, HAS-U-..., HIT-V-... und AM 8.8 unter Querbeanspruchung in Beton

Gewindestange, HAS-U-..., HIT-V-..., AM 8.8	M8	M10	M12	M16	M20	M24	M27	M30
Stahlversagen ohne Hebelarm								
Charakteristischer Widerstand	$V_{Rk,s}$	[kN]						$0,5 \cdot A_s \cdot f_{uk}$
Teilsicherheitsbeiwert Festigkeitsklasse 5.8	$\gamma_{Ms,V}^{1)}$	[-]						1,25
Teilsicherheitsbeiwert Festigkeitsklasse 8.8	$\gamma_{Ms,V}^{1)}$	[-]						1,25
Teilsicherheitsbeiwert HAS-U A4, HIT-V-R	$\gamma_{Ms,V}^{1)}$	[-]					1,56	2,38
Teilsicherheitsbeiwert HAS-U HCR, HIT-V-HCR	$\gamma_{Ms,V}^{1)}$	[-]				1,25		1,75
Duktilitätsfaktor	k_7	[-]					1,0	
Stahlversagen mit Hebelarm								
Biegemoment	$M^0_{Rk,s}$	[Nm]						$1,2 \cdot W_{el} \cdot f_{uk}$
Duktilitätsfaktor	k_7	[-]					1,0	
Betonausbruch auf der lastabgewandten Seite								
Faktor	k_8	[-]					2,0	
Betonkantenbruch								
Wirksame Länge des Befestigungselements	l_f	[mm]					$\min(h_{ef}; 12 \cdot d_{nom})$	$\min(h_{ef}; 300)$
Außendurchmesser des Befestigungselements	d_{nom}	[mm]	8	10	12	16	20	24
							27	30

1) Sofern nationale Regelungen fehlen.

Injektionssystem Hilti HIT-HY 200-R V3

Leistungsfähigkeit
Wesentliche Merkmale unter Zug- und Querbeanspruchung in Beton

Anhang C2

Tabelle C3: Wesentliche Merkmale für Innengewindehülse HIS-(R)N unter Zugbeanspruchung in Beton

HIS-(R)N	M8	M10	M12	M16	M20
Montagesicherheitsbeiwert					
Hammerbohren γ_{inst} [-]				1,0	
Hammerbohren mit Hilti Hohlbohrer TE-CD oder TE-YD γ_{inst} [-]				1,0	
Diamantbohren mit aufrauen mit Hilti Aufrauwerkzeug TE-YRT γ_{inst} [-]	1)			1,0	
Stahlversagen					
Charakteristischer Widerstand HIS-N mit Schraube oder Gewindestange $N_{Rk,s}$ [kN]	25	46	67	125	116
Festigkeitsklasse 8,8					
Teilsicherheitsbeiwert $\gamma_{Ms,N}^{2)}$ [-]			1,50		
Charakteristischer Widerstand HIS-RN mit Schraube oder Gewindestange $N_{Rk,s}$ [kN]	26	41	59	110	166
Festigkeitsklasse 70					
Teilsicherheitsbeiwert $\gamma_{Ms,N}^{2)}$ [-]		1,87			2,4
Kombiniertes Versagen durch Herausziehen und Betonausbruch					
Wirksame Verankerungstiefe h_{ef} [mm]	90	110	125	170	205
Durchmesser des Befestigungselements d_1 [mm]	12,5	16,5	20,5	25,4	27,6
Charakteristische Verbundtragfähigkeit im ungerissenen Beton C20/25					
Temperaturbereich I: 40 °C/24 °C $\tau_{Rk,ucr}$ [N/mm²]				13	
Temperaturbereich II: 80 °C/50 °C $\tau_{Rk,ucr}$ [N/mm²]				11	
Temperaturbereich III: 120 °C/72 °C $\tau_{Rk,ucr}$ [N/mm²]				9,5	
Charakteristische Verbundtragfähigkeit im gerissenen Beton C20/25					
Temperaturbereich I: 40 °C/24 °C $\tau_{Rk,cr}$ [N/mm²]				7	
Temperaturbereich II: 80 °C/50 °C $\tau_{Rk,cr}$ [N/mm²]				5,5	
Temperaturbereich III: 120 °C/72 °C $\tau_{Rk,cr}$ [N/mm²]				5	
Einflussfaktoren ψ auf Verbundtragfähigkeit τ_{Rk}					
Gerissener und ungerissener Beton: ψ_c	C30/37			1,04	
Einflussfaktor Betonfestigkeit	C40/45			1,07	
	C50/60			1,1	
Gerissener und ungerissener Beton: Einflussfaktor Dauerlast ψ_{sus}^0	40 °C/24 °C			0,74	
	80 °C/50 °C			0,89	
	120 °C/72 °C			0,72	

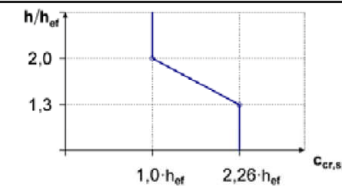
Injektionssystem Hilti HIT-HY 200-R V3

Leistungsfähigkeit
Wesentliche Merkmale unter Zugbeanspruchung in Beton

Anhang C3

Tabelle C3: fortgesetzt

Betonausbruch		
Faktor für ungerissenen Beton	$k_{ucr,N}$	[-]
Faktor für gerissenem Beton	$k_{cr,N}$	[-]
Randabstand	$c_{cr,N}$	[mm]
Achsabstand	$s_{cr,N}$	[mm]
Versagen durch Spalten		
	$h / h_{ef} \geq 2,0$	$1,0 \cdot h_{ef}$
Randabstand $c_{cr,sp}$ [mm] für	$2,0 > h / h_{ef} > 1,3$	$4,6 h_{ef} - 1,8 h$
	$h / h_{ef} \leq 1,3$	$2,26 h_{ef}$
Achsabstand	$s_{cr,sp}$	[mm]
		$2 \cdot c_{cr,sp}$



- 1) Leistung nicht bewertet.
2) Sofern nationale Regelungen fehlen.

Tabelle C4: Wesentliche Merkmale für Innengewindehülse HIS-(R)N unter Querbeanspruchung in Beton

HIS-(R)N	M8	M10	M12	M16	M20
Stahlversagen ohne Hebelarm					
Charakteristischer Widerstand HIS-N mit Schraube oder Gewindestange grade 8.8	$V_{Rk,s}$ [kN]	13	23	34	63
Teilsicherheitsbeiwert	$\gamma_{Ms,V^1)}$ [-]			1,25	
Charakteristischer Widerstand HIS-RN mit Schraube oder Gewindestange Festigkeitsklasse 70	$V_{Rk,s}$ [kN]	13	20	30	55
Teilsicherheitsbeiwert	$\gamma_{Ms,V^1)}$ [-]			1,56	2,0
Duktilitätsfaktor	k_7 [-]			1,0	
Stahlversagen mit Hebelarm					
HIS-N mit Schraube der Festigkeitsklasse oder Gewindestange 8.8	$M_{Rk,s}^0$ [Nm]	30	60	105	266
HIS-RN mit Schraube der Festigkeitsklasse oder Gewindestange 70	$M_{Rk,s}^0$ [Nm]	26	52	92	233
Duktilitätsfaktor	k_7 [-]			1,0	
Betonausbruch auf der lastabgewandten Seite					
Faktor	k_8 [-]			2,0	
Betonkantenbruch					
Wirksame Länge des Befestigungselements	l_f [mm]	90	110	125	170
Außendurchmesser des Befestigungselements	d_{nom} [mm]	12,5	16,5	20,5	25,4
1) Sofern nationale Regelungen fehlen.					

Injektionssystem Hilti HIT-HY 200-R V3

Leistungsfähigkeit
Wesentliche Merkmale unter Zug- und Querbeanspruchung in Beton

Anhang C4

Tabelle C5: Wesentliche Merkmale für Hilti Zuganker HZA / HZA-R unter Zugbeanspruchung in Beton

Hilti Zuganker HZA, HZA-R		M12	M16	M20	M24	M27
Montagesicherheitsbeiwert						
Hammerbohren	γ_{inst} [-]			1,0		
Hammerbohren mit Hilti Hohlbohrer TE-CD oder TE-YD	γ_{inst} [-]			1,0		
Diamantbohren mit aufrauen mit Hilti Aufrauwerkzeug TE-YRT	γ_{inst} [-]	1)			1,0	
Stahlversagen						
Charakteristischer Widerstand HZA	$N_{Rk,s}$ [kN]	46	86	135	194	253
Charakteristischer Widerstand HZA-R	$N_{Rk,s}$ [kN]	62	111	173	248	-
Teilsicherheitsbeiwert	$\gamma_{Ms}^{2)}$ [-]			1,4		
Kombiniertes Versagen durch Herausziehen und Betonausbruch						
Durchmesser des Betonstahl	d [mm]	12	16	20	25	28
Charakteristische Verbundtragfähigkeit im ungerissenen Beton C20/25						
Effektive Verankerungstiefe	HZA h_{ef} [mm]			$h_{nom} - 20$		
	HZA-R h_{ef} [mm]			$h_{nom} - 100$		-
Temperaturbereich I: 40 °C/24 °C	$\tau_{Rk,ucr}$ [N/mm²]			12		
Temperaturbereich II: 80 °C/50 °C	$\tau_{Rk,ucr}$ [N/mm²]			10		
Temperaturbereich III: 120 °C/72 °C	$\tau_{Rk,ucr}$ [N/mm²]			8,5		
Charakteristische Verbundtragfähigkeit im gerissenen Beton C20/25						
Temperaturbereich I: 40 °C/24 °C	$\tau_{Rk,cr}$ [N/mm²]			7		
Temperaturbereich II: 80 °C/50 °C	$\tau_{Rk,cr}$ [N/mm²]			5,5		
Temperaturbereich III: 120 °C/72 °C	$\tau_{Rk,cr}$ [N/mm²]			5		
Einflussfaktoren ψ auf Verbundtragfähigkeit τ_{Rk}						
Gerissener und ungerissener Beton: Einflussfaktor Betonfestigkeit	ψ_c	C30/37		1,04		
		C40/45		1,07		
		C50/60		1,1		
Gerissener und ungerissener Beton: Einflussfaktor Dauerlast	ψ_{sus}^0	40 °C/24 °C		0,74		
		80 °C/50 °C		0,89		
		120 °C/72 °C		0,72		

Injektionssystem Hilti HIT-HY 200-R V3

Leistungsfähigkeit
Wesentliche Merkmale unter Zugbeanspruchung in Beton

Anhang C5

Tabelle C5: fortgesetzt

Betonausbruch		
Effektive Verankerungstiefe	HZA h_{ef} [mm]	h_{nom}
	HZA-R h_{ef} [mm]	h_{nom}
Faktor für ungerissenen Beton	k_{ucr} [-]	11,0
Faktor für gerissenen Beton	k_{cr} [-]	7,7
Randabstand	$c_{\text{cr},N}$ [mm]	$1,5 \cdot h_{\text{ef}}$
Achsabstand	$s_{\text{cr},N}$ [mm]	$3,0 \cdot h_{\text{ef}}$
Versagen durch Spalten für ungerissenen Beton		
Randabstand $c_{\text{cr},sp}$ [mm] für	$h / h_{\text{ef}} \geq 2,0$	$1,0 \cdot h_{\text{ef}}$
	$2,0 > h / h_{\text{ef}} > 1,3$	$4,6 \cdot h_{\text{ef}} - 1,8 \cdot h$
	$h / h_{\text{ef}} \leq 1,3$	$2,26 \cdot h_{\text{ef}}$
Achsabstand	$s_{\text{cr},sp}$ [mm]	$2 \cdot c_{\text{cr},sp}$

1) Leistung nicht bewertet.

2) Sofern nationale Regelungen fehlen.

Tabelle C6: Wesentliche Merkmale für Hilti Zuganker HZA, HZA-R unter Querbeanspruchung in Beton

Hilti Zuganker HZA, HZA-R		M12	M16	M20	M24	M27
Stahlversagen ohne Hebelarm						
Charakteristischer Widerstand HZA	$V_{Rk,s}$ [kN]	23	43	67	97	126
Charakteristischer Widerstand HZA-R	$V_{Rk,s}$ [kN]	31	55	86	124	-
Teilsicherheitsbeiwert	$\gamma_{Ms}^{1)}$ [-]				1,5	
Duktilitätsfaktor	k_7 [-]				1,0	
Stahlversagen mit Hebelarm						
HZA	$M_{Rk,s}^0$ [Nm]	72	183	357	617	915
HZA-R	$M_{Rk,s}^0$ [Nm]	97	234	457	790	-
Duktilitätsfaktor	k_7 [-]				1,0	
Betonausbruch auf der lastabgewandten Seite						
Faktor	k_8 [-]				2,0	
Betonkantenbruch						
Wirksame Länge des Befestigungselementes	l_f [mm]			$\min(h_{\text{nom}}, 12 \cdot d_{\text{nom}})$		$\min(h_{\text{nom}}, 300)$
Außendurchmesser des Befestigungselements	d_{nom} [mm]	12	16	20	24	27

1) Sofern nationale Regelungen fehlen.

Injektionssystem Hilti HIT-HY 200-R V3

Leistungsfähigkeit
Wesentliche Merkmale unter Zug- und Querbeanspruchung in Beton

Anhang C6

Tabelle C7: Wesentliche Merkmale für Betonstahl unter Zugbeanspruchung in Beton

Betonstahl	Ø 8	Ø 10	Ø 12	Ø 14	Ø 16	Ø 20	Ø 25	Ø 26	Ø 28	Ø 30	Ø 32		
Montagesicherheitsbeiwert													
Hammerbohren	γ_{inst}	[-]									1,0		
Hammerbohren mit Hilti Hohlbohrer TE-CD oder TE-YD	γ_{inst}	[-]									1,0		
Diamantbohren mit aufrauen mit Hilti Aufrauwerkzeug TE-YRT	γ_{inst}	[-]	1)								1,0		
Stahlversagen													
Charakteristischer Widerstand Betonstahl B500B nach DIN 488:2009-08	$N_{Rk,s}$	[kN]	28	43	62	85	111	173	270	292	339	388	442
Teilsicherheitsbeiwert	$\gamma_{Ms,N}^{(2)}$	[-]										1,4	
Kombiniertes Versagen durch Herausziehen und Betonausbruch													
Durchmesser des Betonstahl	d	[mm]	8	10	12	14	16	20	25	26	28	30	32
Charakteristische Verbundtragfähigkeit im ungerissenen Beton C20/25													
Temperaturbereich I: 40°C/24°C	$\tau_{Rk,ucr}$	[N/mm²]										12	
Temperaturbereich II: 80°C/50°C	$\tau_{Rk,ucr}$	[N/mm²]										10	
Temperaturbereich III: 120°C/72°C	$\tau_{Rk,ucr}$	[N/mm²]										8,5	
Charakteristische Verbundtragfähigkeit im gerissenen Beton C20/25													
Temperaturbereich I: 40°C/24°C	$\tau_{Rk,cr}$	[N/mm²]	1)	5								7	
Temperaturbereich II: 80°C/50°C	$\tau_{Rk,cr}$	[N/mm²]	1)	4								5,5	
Temperaturbereich III: 120°C/72°C	$\tau_{Rk,cr}$	[N/mm²]	1)	3,5								5	
Einflussfaktoren ψ auf Verbundtragfähigkeit τ_{Rk}													
Gerissener und ungerissener Beton: Einflussfaktor	ψ_c	C30/37										1,04	
Betonfestigkeit		C40/45										1,07	
Gerissener und ungerissener Beton: Einflussfaktor Dauerlast	ψ_{sus}^0	C50/60										1,1	
		40 °C/24 °C										0,74	
		80 °C/50 °C										0,89	
		120 °C/72 °C										0,72	

Injektionssystem Hilti HIT-HY 200-R V3

Leistungsfähigkeit
Wesentliche Merkmale unter Zugbeanspruchung in Beton

Anhang C7

Tabelle C7: fortgesetzt

Betonausbruch		
Faktor für ungerissenen Beton	$k_{ucr,N}$ [-]	11,0
Faktor für gerissenem Beton	$k_{cr,N}$ [-]	7,7
Randabstand	$c_{cr,N}$ [mm]	$1,5 \cdot h_{ef}$
Achsabstand	$s_{cr,N}$ [mm]	$3,0 \cdot h_{ef}$
Versagen durch Spalten für ungerissenem Beton		
	$h / h_{ef} \geq 2,0$	$1,0 \cdot h_{ef}$
Randabstand $c_{cr,sp}$ [mm] für	$2,0 > h / h_{ef} > 1,3$	$4,6 \cdot h_{ef} - 1,8 \cdot h$
	$h / h_{ef} \leq 1,3$	$2,26 \cdot h_{ef}$
Achsabstand	$s_{cr,sp}$ [mm]	$2 \cdot c_{cr,sp}$

1) Leistung nicht bewertet.

2) Sofern nationale Regelungen fehlen.

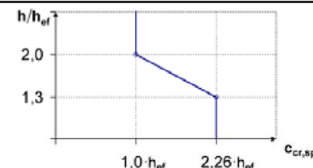


Tabelle C8: Wesentliche Merkmale für Betonstahl unter Querbeanspruchung in Beton

Betonstahl	$\phi 8$	$\phi 10$	$\phi 12$	$\phi 14$	$\phi 16$	$\phi 20$	$\phi 25$	$\phi 26$	$\phi 28$	$\phi 30$	$\phi 32$
Stahlversagen ohne Hebelarm											
Charakteristischer Widerstand Betonstahl B500B nach DIN 488:2009-08	$V_{Rk,s}$ [kN]	14	22	31	42	55	86	135	146	169	194
Teilsicherheitsbeiwert $\gamma_{Ms,V}^1)$ [-]											1,5
Duktilitätsfaktor k_7 [-]											1,0
Stahlversagen mit Hebelarm											
Betonstahl B500B nach DIN 488:2009-08	$M_{Rk,s}^o$ [Nm]	33	65	112	178	265	518	1012	1139	1422	1749
Duktilitätsfaktor k_7 [-]											1,0
Betonausbruch auf der lastabgewandten Seite											
Faktor k_8 [-]											2,0
Betonkantenbruch											
Wirksame Länge des Befestigungselements	l_f [mm]	min ($h_{ef}; 12 \cdot d_{nom}$)						min ($h_{nom}; 300$)			
Außendurchmesser des Befestigungselements	d_{nom} [mm]	8	10	12	14	16	20	25	26	28	30

1) Sofern nationale Regelungen fehlen.

Injektionssystem Hilti HIT-HY 200-R V3

Leistungsfähigkeit
Wesentliche Merkmale unter Zug- und Querbeanspruchung in Beton

Anhang C8

Tabelle C9: Verschiebungen unter Zugbeanspruchung

Gewindestange, HAS-U-..., HIT-V-..., AM 8.8		M8	M10	M12	M16	M20	M24	M27	M30	
Ungerissener Beton Temperaturbereich I : 40°C / 24°C										
Verschiebung	δ_{N0}	[mm/(N/mm²)]	0,02	0,03	0,03	0,04	0,06	0,07	0,07	0,08
	$\delta_{N\infty}$	[mm/(N/mm²)]	0,04	0,05	0,06	0,08	0,10	0,13	0,14	0,16
Ungerissener Beton Temperaturbereich II : 80°C / 50°C										
Verschiebung	δ_{N0}	[mm/(N/mm²)]	0,03	0,04	0,05	0,06	0,08	0,09	0,10	0,12
	$\delta_{N\infty}$	[mm/(N/mm²)]	0,04	0,05	0,06	0,09	0,11	0,13	0,15	0,16
Ungerissener Beton Temperaturbereich III : 120°C / 72°C										
Verschiebung	δ_{N0}	[mm/(N/mm²)]	0,04	0,05	0,06	0,08	0,10	0,12	0,13	0,16
	$\delta_{N\infty}$	[mm/(N/mm²)]	0,04	0,05	0,07	0,09	0,11	0,13	0,15	0,17
Gerissener Beton Temperaturbereich I : 40°C / 24°C										
Verschiebung	δ_{N0}	[mm/(N/mm²)]							0,07	
	$\delta_{N\infty}$	[mm/(N/mm²)]							0,16	
Gerissener Beton Temperaturbereich II : 80°C / 50°C										
Verschiebung	δ_{N0}	[mm/(N/mm²)]							0,10	
	$\delta_{N\infty}$	[mm/(N/mm²)]							0,22	
Gerissener Beton Temperaturbereich III : 120°C / 72°C										
Verschiebung	δ_{N0}	[mm/(N/mm²)]							0,13	
	$\delta_{N\infty}$	[mm/(N/mm²)]							0,29	

Tabelle C10: Verschiebungen unter Querbeanspruchung

Gewindestange, HAS-U-..., HIT-V-..., AM 8.8		M8	M10	M12	M16	M20	M24	M27	M30	
Verschiebung	δ_{v0}	[mm/kN]	0,06	0,06	0,05	0,04	0,04	0,03	0,03	0,03
	$\delta_{v\infty}$	[mm/kN]	0,09	0,08	0,08	0,06	0,06	0,05	0,05	0,05

Injektionssystem Hilti HIT-HY 200-R V3

Leistungsfähigkeit
Verschiebungen Gewindestange, HAS-U-..., HIT-V-... und AM 8.8

Anhang C9

Tabelle C11: Verschiebungen unter Zugbeanspruchung

HIS-(R)N	M8	M10	M12	M16	M20
Ungerissener Beton Temperaturbereich I : 40°C / 24°C					
Verschiebung	δ_{N0} [mm/(N/mm ²)]	0,03	0,05	0,06	0,07
	$\delta_{N\infty}$ [mm/(N/mm ²)]	0,06	0,09	0,11	0,13
Ungerissener Beton Temperaturbereich II : 80°C / 50°C					
Verschiebung	δ_{N0} [mm/(N/mm ²)]	0,05	0,06	0,08	0,10
	$\delta_{N\infty}$ [mm/(N/mm ²)]	0,07	0,09	0,11	0,13
Ungerissener Beton Temperaturbereich III : 120°C / 72°C					
Verschiebung	δ_{N0} [mm/(N/mm ²)]	0,06	0,08	0,10	0,13
	$\delta_{N\infty}$ [mm/(N/mm ²)]	0,07	0,09	0,11	0,14
Gerissener Beton Temperaturbereich I : 40°C / 24°C					
Verschiebung	δ_{N0} [mm/(N/mm ²)]			0,11	
	$\delta_{N\infty}$ [mm/(N/mm ²)]			0,16	
Gerissener Beton Temperaturbereich II : 80°C / 50°C					
Verschiebung	δ_{N0} [mm/(N/mm ²)]			0,15	
	$\delta_{N\infty}$ [mm/(N/mm ²)]			0,22	
Gerissener Beton Temperaturbereich III : 120°C / 72°C					
Verschiebung	δ_{N0} [mm/(N/mm ²)]			0,20	
	$\delta_{N\infty}$ [mm/(N/mm ²)]			0,29	

Tabelle C12: Verschiebungen unter Querbeanspruchung

HIS-(R)N	M8	M10	M12	M16	M20
Verschiebung	δ_{v0} [mm/kN]	0,06	0,06	0,05	0,04
	$\delta_{v\infty}$ [mm/kN]	0,09	0,08	0,08	0,06

Injektionssystem Hilti HIT-HY 200-R V3

Leistungsfähigkeit
Verschiebungen HIS-(R)N

Anhang C10

Tabelle C13: Verschiebungen unter Zugbeanspruchung

Hilti Zuganker HZA, HZA-R	M12	M16	M20	M24	M27
Ungerissener Beton Temperaturbereich I : 40°C / 24°C					
Verschiebung	δ_{N0} [mm/(N/mm ²)]	0,03	0,04	0,06	0,07
	$\delta_{N\infty}$ [mm/(N/mm ²)]	0,06	0,08	0,13	0,15
Ungerissener Beton Temperaturbereich II : 80°C / 50°C					
Verschiebung	δ_{N0} [mm/(N/mm ²)]	0,05	0,06	0,08	0,10
	$\delta_{N\infty}$ [mm/(N/mm ²)]	0,06	0,09	0,14	0,15
Ungerissener Beton Temperaturbereich III : 120°C / 72°C					
Verschiebung	δ_{N0} [mm/(N/mm ²)]	0,06	0,08	0,10	0,12
	$\delta_{N\infty}$ [mm/(N/mm ²)]	0,07	0,09	0,14	0,16
Gerissener Beton Temperaturbereich I : 40°C / 24°C					
Verschiebung	δ_{N0} [mm/(N/mm ²)]			0,11	
	$\delta_{N\infty}$ [mm/(N/mm ²)]			0,16	
Gerissener Beton Temperaturbereich II : 80°C / 50°C					
Verschiebung	δ_{N0} [mm/(N/mm ²)]			0,15	
	$\delta_{N\infty}$ [mm/(N/mm ²)]			0,22	
Gerissener Beton Temperaturbereich III : 120°C / 72°C					
Verschiebung	δ_{N0} [mm/(N/mm ²)]			0,20	
	$\delta_{N\infty}$ [mm/(N/mm ²)]			0,29	

Tabelle C14: Verschiebungen unter Querbeanspruchung

Hilti Zuganker HZA, HZA-R	M12	M16	M20	M24	M27
Verschiebung	δ_{v0} [mm/kN]	0,05	0,04	0,04	0,03
	$\delta_{v\infty}$ [mm/kN]	0,08	0,06	0,06	0,05

Injektionssystem Hilti HIT-HY 200-R V3

Leistungsfähigkeit
Verschiebungen HZA und HZA-R

Anhang C11

Tabelle C15: Verschiebungen unter Zugbeanspruchung

Betonstahl	$\phi 8$	$\phi 10$	$\phi 12$	$\phi 14$	$\phi 16$	$\phi 20$	$\phi 25$	$\phi 26$	$\phi 28$	$\phi 30$	$\phi 32$
Ungerissener Beton Temperaturbereich I : 40°C / 24°C											
Verschiebung	δ_{N0} [mm/(N/mm²)]	0,02	0,03	0,03	0,04	0,04	0,06	0,07	0,08	0,08	0,09
	$\delta_{N\infty}$ [mm/(N/mm²)]	0,04	0,05	0,06	0,07	0,08	0,10	0,13	0,14	0,15	0,16
Ungerissener Beton Temperaturbereich II : 80°C / 50°C											
	δ_{N0} [mm/(N/mm²)]	0,03	0,04	0,05	0,05	0,06	0,08	0,10	0,11	0,11	0,12
	$\delta_{N\infty}$ [mm/(N/mm²)]	0,04	0,05	0,06	0,07	0,09	0,11	0,14	0,15	0,15	0,17
Ungerissener Beton Temperaturbereich III : 120°C / 72°C											
Verschiebung	δ_{N0} [mm/(N/mm²)]	0,04	0,05	0,06	0,07	0,08	0,10	0,12	0,13	0,14	0,15
	$\delta_{N\infty}$ [mm/(N/mm²)]	0,04	0,05	0,07	0,08	0,09	0,11	0,14	0,15	0,16	0,18
Gerissener Beton Temperaturbereich I : 40°C / 24°C											
Verschiebung	δ_{N0} [mm/(N/mm²)]	0,11									
	$\delta_{N\infty}$ [mm/(N/mm²)]	0,16									
Gerissener Beton Temperaturbereich II : 80°C / 50°C											
Verschiebung	δ_{N0} [mm/(N/mm²)]	0,15									
	$\delta_{N\infty}$ [mm/(N/mm²)]	0,22									
Gerissener Beton Temperaturbereich III : 120°C / 72°C											
Verschiebung	δ_{N0} [mm/(N/mm²)]	0,20									
	$\delta_{N\infty}$ [mm/(N/mm²)]	0,29									

Tabelle C16: Verschiebungen unter Querbeanspruchung

Betonstahl	$\phi 8$	$\phi 10$	$\phi 12$	$\phi 14$	$\phi 16$	$\phi 20$	$\phi 25$	$\phi 26$	$\phi 28$	$\phi 30$	$\phi 32$
Verschiebung	δ_{v0} [mm/kN]	0,06	0,05	0,05	0,04	0,04	0,04	0,03	0,03	0,03	0,03
	$\delta_{v\infty}$ [mm/kN]	0,09	0,08	0,07	0,06	0,06	0,05	0,05	0,05	0,04	0,04

Injektionssystem Hilti HIT-HY 200-R V3

Leistungsfähigkeit
Verschiebungen Betonstahl

Anhang C12

Tabelle C17: Wesentliche Merkmale für Gewindestangen, HAS-U-..., HIT-V-... und AM 8.8 unter Zugbeanspruchung für Seismische Leistungskategorie C1

Gewindestange, HAS-U-..., HIT-V-... und AM 8.8	M10	M12	M16	M20	M24	M27	M30
Stahlversagen							
HAS-U-5.8 (HDG), HIT-V-5.8(F), Gewindestange 5.8 $N_{Rk,s,seis}$ [kN]	29	42	79	123	177	230	281
HAS-U-8.8 (HDG), HIT-V-8.8(F), Gewindestange 8.8, AM 8.8 $N_{Rk,s,seis}$ [kN]	46	67	126	196	282	367	449
HAS-U A4, HIT-V-R, Gewindestange A4-70 $N_{Rk,s,seis}$ [kN]	41	59	110	172	247	230	281
HAS-U HCR, HIT-V-HCR, Gewindestange HCR-80 $N_{Rk,s,seis}$ [kN]	46	67	126	196	247	321	393
Kombiniertes Versagen durch Herausziehen und Betonausbruch							
Charakteristische Verbundtragfähigkeit im gerissenen Beton C20/25							
Temperaturbereich I: 40 °C/24 °C $\tau_{Rk,seis}$ [N/mm ²]	5,2						7,0
Temperaturbereich II: 80 °C/50 °C $\tau_{Rk,seis}$ [N/mm ²]	3,9						5,7
Temperaturbereich III: 120 °C/72 °C $\tau_{Rk,seis}$ [N/mm ²]	3,5						4,8

Tabelle C18: Wesentliche Merkmale für Gewindestangen, HAS-U-..., HIT-V-..., AM 8.8 unter Querbeanspruchung für seismische Leistungskategorie C1

Gewindestange, HAS-U-..., HIT-V-..., AM 8.8	M10	M12	M16	M20	M24	M27	M30
Stahlversagen ohne Hebelarm							
HAS-U-5.8 (HDG), HIT-V-5.8(F), Gewindestange 5.8 $V_{Rk,s,seis}$ [kN]	11	15	27	43	62	81	98
HAS-U-8.8 (HDG), HIT-V-8.8(F), Gewindestange 8.8, AM 8.8 $V_{Rk,s,seis}$ [kN]	16	24	44	69	99	129	157
HAS-U A4, HIT-V-R, Gewindestange A4-70 $V_{Rk,s,seis}$ [kN]	14	21	39	60	87	81	98
HAS-U HCR, HIT-V-HCR, Gewindestange HCR-80 $V_{Rk,s,seis}$ [kN]	16	24	44	69	87	113	137

Tabelle C19: Verschiebungen unter Zugbeanspruchung für Seismische Leistungskategorie C1

Gewindestange, HAS-U-..., HIT-V-..., AM 8.8	M10	M12	M16	M20	M24	M27	M30
Verschiebung ¹⁾ $\delta_{N,seis}$ [mm]	0,8	0,8	0,8	0,8	0,8	0,8	0,8

¹⁾ Maximale Verschiebung während der zyklischen Beanspruchung (Erdbeben).

Tabelle C20: Verschiebungen unter Querbeanspruchung für Seismische Leistungskategorie C1

Gewindestange, HAS-U-..., HIT-V-..., AM 8.8	M10	M12	M16	M20	M24	M27	M30
Verschiebung ¹⁾ $\delta_{V,seis}$ [mm]	3,5	3,8	4,4	5,0	5,6	6,1	6,5

¹⁾ Maximale Verschiebung während der zyklischen Beanspruchung (Erdbeben).

Injektionssystem Hilti HIT-HY 200-R V3

Leistungsfähigkeit
Wesentliche Merkmale Seismische Leistungskategorie C1 und Verschiebungen.

Anhang C13

Tabelle C21: Wesentliche Merkmale für Hilti Zuganker HZA, HZA-R unter Zugbeanspruchung für seismische Leistungskategorie C1

Hilti Zuganker HZA, HZA-R	M12	M16	M20	M24	M27
Stahlversagen					
Charakteristischer Widerstand HZA $N_{Rk,s,seis}$ [kN]	46	86	135	194	253
Charakteristischer Widerstand HZA-R $N_{Rk,s,seis}$ [kN]	62	111	173	248	¹⁾
Teilsicherheitsbeiwert $\gamma_{Ms,N,seis}^{2)}$ [-]			1,4		
Kombiniertes Versagen durch Herausziehen und Betonausbruch					
Durchmesser des Betonstahl d [mm]	12	16	20	25	28
Charakteristische Verbundtragfähigkeit im gerissenen Beton C20/25					
Temperaturbereich I: 40°C/24°C $\tau_{Rk,cr}$ [N/mm ²]			6,1		
Temperaturbereich II: 80°C/50°C $\tau_{Rk,cr}$ [N/mm ²]			4,8		
Temperaturbereich III: 120°C/72°C $\tau_{Rk,cr}$ [N/mm ²]			4,4		

¹⁾ Leistung nicht bewertet.

²⁾ Sofern nationale Regelungen fehlen.

Tabelle C22: Wesentliche Merkmale für Hilti Zuganker HZA, HZA-R unter Querbeanspruchung für seismische Leistungskategorie C1

Hilti Zuganker HZA, HZA-R	M12	M16	M20	M24	M27
Stahlversagen ohne Hebelarm					
Charakteristischer Widerstand HZA $V_{Rk,s,seis}$ [kN]	16	30	47	68	88
Charakteristischer Widerstand HZA-R $V_{Rk,s,seis}$ [kN]	22	39	60	124	¹⁾
Teilsicherheitsbeiwert $\gamma_{Ms,V,seis}^{2)}$ [-]			1,5		

¹⁾ Leistung nicht bewertet.

²⁾ Sofern nationale Regelungen fehlen.

Tabelle C23: Verschiebungen unter Zugbeanspruchung für seismische Leistungskategorie C1

Hilti Zuganker HZA, HZA-R	M12	M16	M20	M24	M27
Verschiebung ¹⁾ $\delta_{N,seis}$ [mm]	1,3	1,3	1,3	1,3	1,3

¹⁾ Maximale Verschiebung während der zyklischen Beanspruchung (Erdbeben).

Tabelle C24: Verschiebungen unter Querbeanspruchung für seismische Leistungskategorie C1

Hilti Zuganker HZA, HZA-R	M12	M16	M20	M24	M27
Verschiebung ¹⁾ $\delta_{V,seis}$ [mm]	3,8	4,4	5,0	5,6	6,1

¹⁾ Maximale Verschiebung während der zyklischen Beanspruchung (Erdbeben).

Injektionssystem Hilti HIT-HY 200-R V3

Leistungsfähigkeit
Wesentliche Merkmale und Verschiebungen für seismische Leistungskategorie C1.

Anhang C14

Tabelle C25: Wesentliche Merkmale für Betonstahl unter Zugbeanspruchung für seismische Leistungskategorie C1

Betonstahl	φ 10	φ 12	φ 14	φ 16	φ 20	φ 25	φ 26	φ 28	φ 30	φ 32
Stahlversagen										
Charakteristischer Widerstand für Betonstahl B500B nach DIN N _{Rk,seis} [kN] 488:2009-08	43	62	85	111	173	270	292	339	388	442
Kombiniertes Versagen durch Herausziehen und Betonausbruch										
Durchmesser des Betonstahl d [mm]	10	12	14	16	20	25	26	28	30	32
Charakteristische Verbundtragfähigkeit im gerissenen Beton C20/25										
Temperaturbereich I: 40°C/24°C τ _{Rk,cr} [N/mm ²]	4,4									6,1
Temperaturbereich II: 80°C/50°C τ _{Rk,cr} [N/mm ²]	3,5									4,8
Temperaturbereich III: 120°C/72°C τ _{Rk,cr} [N/mm ²]	3									4,4

Tabelle C26: Wesentliche Merkmale für Betonstahl unter Querbeanspruchung für seismische Leistungskategorie C1

Betonstahl	φ 10	φ 12	φ 14	φ 16	φ 20	φ 25	φ 26	φ 28	φ 30	φ 32
Stahlversagen ohne Hebelarm										
Charakteristischer Widerstand für Betonstahl B500B nach DIN V _{Rk,s,seis} [kN] 488:2009-08	15	22	29	39	60	95	102	118	135	165

Tabelle C27: Verschiebungen unter Zugbeanspruchung für seismische Leistungskategorie C1

Betonstahl	φ 10	φ 12	φ 14	φ 16	φ 20	φ 25	φ 26	φ 28	φ 30	φ 32
Verschiebung ¹⁾ δ _{N,seis} [mm]	1,3	1,3	1,3	1,3	1,3	1,3	1,3	1,3	1,3	1,3

¹⁾ Maximale Verschiebung während der zyklischen Beanspruchung (Erdbeben).

Tabelle C28: Verschiebungen unter Querbeanspruchung für seismische Leistungskategorie C1

Betonstahl	φ 10	φ 12	φ 14	φ 16	φ 20	φ 25	φ 26	φ 28	φ 30	φ 32
Verschiebung ¹⁾ δ _{V,seis} [mm]	3,5	3,8	4,1	4,4	5,0	5,8	6,2	6,2	6,8	6,8

¹⁾ Maximale Verschiebung während der zyklischen Beanspruchung (Erdbeben).

Injektionssystem Hilti HIT-HY 200-R V3

Leistungsfähigkeit
Wesentliche Merkmale und Verschiebungen für seismische Leistungskategorie C1.

Anhang C15

Tabelle C29: Wesentliche Merkmale für Gewindestange, HAS-U-..., HIT-V... und AM 8.8 unter Zugbeanspruchung für seismische Leistungskategorie C2

Gewindestange, HAS-U-..., HIT-V-..., AM 8.8	M16	M20	M24	
Stahlversagen				
HAS-U 8.8 (HDG), HIT-V (-F) 8.8, AM (HDG) 8.8 Handelsübliche Gewindestange galvanisch verzinkt 8.8	N _{Rk,s,seis} [kN]	126	196	282
Kombiniertes Versagen durch Herausziehen und Betonausbruch				
Charakteristische Verbundtragfähigkeit im gerissenen Beton C20/25 in hammergebohrten Bohrlöchern und hammerbohrten Löchern mit Hilti Hohlbohrer TE-CD oder TE-YD				
Temperaturbereich I: 40 °C/24 °C	τ _{Rk,seis} [N/mm ²]	3,9	4,3	3,5
Temperaturbereich II: 80 °C/50 °C	τ _{Rk,seis} [N/mm ²]	3,3	3,7	2,9
Temperaturbereich III: 120 °C/72 °C	τ _{Rk,seis} [N/mm ²]	2,8	3,2	2,5

Tabelle C30: Wesentliche Merkmale für Gewindestangen, HAS-U-..., HIT-V-... und AM 8.8 unter Querbeanspruchung für seismische Leistungskategorie C2

Gewindestange, HAS-U-..., HIT-V-..., AM 8.8	M16	M20	M24	
Stahlversagen ohne Hebelarm mit Hilti Verfüll-Set				
HAS-U 8.8, HIT-V 8.8, AM 8.8	V _{Rk,s,seis} [kN]	46	77	103
Stahlversagen ohne Hebelarm ohne Hilti Verfüll-Set				
HAS-U 8.8, HIT-V 8.8, AM 8.8	V _{Rk,s,seis} [kN]	40	71	90
HAS-U 8.8 HDG, HIT-V-F 8.8, AM-HDG 8.8	V _{Rk,s,seis} [kN]	30	46	66
Handelsübliche Gewindestange, galvanisch verzinkt 8.8	V _{Rk,s,seis} [kN]	28	50	63

Injektionssystem Hilti HIT-HY 200-R V3

Leistungsfähigkeit
Wesentliche Merkmale für seismische Leistungskategorie C2.

Anhang C16

Tabelle C31: Verschiebungen unter Zugbeanspruchung für seismische Leistungskategorie C2

Gewindestange, HAS-U-..., HIT-V-..., AM 8.8	M16	M20	M24	
Verschiebung DLS, HAS-U 8.8 (HDG), HIT-V (-F) 8.8, AM (HDG) 8.8	$\delta_{N,\text{seis(DLS)}}$ [mm]	0,2	0,5	0,4
Verschiebung ULS, HAS-U 8.8 (HDG), HIT-V (-F) 8.8, AM (HDG) 8.8	$\delta_{N,\text{seis(ULS)}}$ [mm]	0,6	0,8	1.0

Tabelle C32: Verschiebungen unter Querbeanspruchung für seismische Leistungskategorie C2

Gewindestange, HAS-U-..., HIT-V-..., AM 8.8	M16	M20	M24	
Einbau mit Hilti Verfüll-Set				
Verschiebung DLS, HAS-U 8.8, HIT-V 8.8, AM 8.8	$\delta_{V,\text{seis(DLS)}}$ [mm]	1,2	1,4	1,1
Verschiebung ULS, HAS-U 8.8, HIT-V 8.8, AM 8.8	$\delta_{V,\text{seis(ULS)}}$ [mm]	3,2	3,8	2,6
Einbau ohne Verfüll-Set				
Verschiebung DLS, HAS-U 8.8, HIT-V 8.8, AM 8.8	$\delta_{V,\text{seis(DLS)}}$ [mm]	3,2	2,5	3,5
Verschiebung DLS, HAS-U 8.8 HDG, HIT-V-F 8.8, AM HDG 8.8	$\delta_{V,\text{seis(DLS)}}$ [mm]	2,3	3,8	3,7
Verschiebung ULS, HAS-U 8.8, HIT-V 8.8, AM 8.8	$\delta_{V,\text{seis(ULS)}}$ [mm]	9,2	7,1	10,2
Verschiebung ULS, HAS-U 8.8 HDG, HIT-V-F 8.8, AM HDG 8.8	$\delta_{V,\text{seis(ULS)}}$ [mm]	4,3	9,1	8,4

Injektionssystem Hilti HIT-HY 200-R V3

Leistungsfähigkeit

Verschiebungen für seismische Leistungskategorie C2.

Anhang C17

Évaluation Technique Européenne

ETA-19/0601 du mardi 10
décembre 2019

Traduction anglaise préparée par le DIBt, traduction française par Hilti à partir de la version anglaise. Version originale en allemand.

Partie générale

Organisme d'évaluation technique délivrant l'Évaluation technique européenne :

Nom commercial du produit de construction

Famille de produit
à laquelle appartient le produit de construction

Fabricant

Usine de fabrication

Cette Évaluation Technique Européenne comprend

Cette Évaluation Technique Européenne est délivrée conformément au règlement (UE) n° 305/2011, sur la base du

Deutsches Institut für Bautechnik

Système d'injection Hilti HIT-HY 200-R V3

Cheville à scellement pour béton

Hilti Aktiengesellschaft
Feldkircherstrasse 100
9494 SCHAAN
PRINCIPAUTÉ DU LIECHTENSTEIN

Hilti Werke
Usines Hilti

40 pages incluant 3 annexes qui font partie intégrante de cette évaluation

DEE 330499-01-0601

Évaluation Technique Européenne

ETA-19/0601

Page 2 sur 40 | 10 décembre 2019

Traduction anglaise préparée par le DIBt, traduction française par Hilti à partir de la version anglaise.

L'Évaluation Technique Européenne est délivrée par l'organisme d'évaluation technique dans sa langue officielle. Les traductions de cette Évaluation Technique Européenne dans d'autres langues doivent correspondre entièrement au document d'origine délivré et doivent être identifiées comme telles.

Cette Évaluation Technique Européenne doit être communiquée dans son intégralité, y compris par voie électronique. Toutefois, une reproduction partielle peut être autorisée moyennant l'accord écrit de l'organisme d'évaluation technique ayant délivré le document. Toute reproduction partielle doit être identifiée comme telle.

La présente Évaluation Technique Européenne peut être retirée par l'Organisme d'évaluation technique l'ayant délivrée, notamment en application des informations de la Commission, conformément à l'article 25, paragraphe 3, du règlement (UE) n° 305/2011.

Partie spécifique**1 Description technique du produit**

Le système d'injection Hilti HIT-HY 200-R V3 est une fixation à scellement constituée d'une cartouche avec résine d'injection Hilti HIT-HY 200-R V3 et d'un élément en acier conformément à l'annexe A.

L'élément en acier est placé dans un trou foré rempli de résine d'injection et est ancré sous l'effet de la liaison entre la partie métallique, la résine d'injection et le béton.

La description du produit est donnée dans l'annexe A.

2 Spécification concernant l'utilisation prévue conformément au document d'évaluation européen applicable

Les performances indiquées à la section 3 ne sont valables que si la cheville est utilisée conformément aux spécifications et conditions précisées à l'annexe B.

Les vérifications et méthodes d'évaluation sur lesquelles se fonde la présente Évaluation Technique Européenne reposent sur l'hypothèse que la durée de vie de la cheville pour l'utilisation prévue est d'au moins 50 ans. Les indications relatives à la durée de vie ne doivent pas être interprétées comme une garantie donnée par le fabricant, et doivent être uniquement considérées comme un moyen de sélectionner un produit adapté à la durée de vie économiquement raisonnable et attendue des ouvrages.

3 Performances du produit et références aux méthodes utilisées pour cette évaluation**3.1 Résistance mécanique et stabilité (BWR 1)**

Caractéristique essentielle	Performances
Résistance caractéristique pour charge de traction statique et quasi statique	Voir les annexes C1 à C8
Résistance caractéristique pour charge de cisaillement statique et quasi statique	Voir les annexes C2, C4, C6, C8
Déplacements pour charges statiques et quasi statiques	Voir les annexes C9 à C12
Résistance caractéristique pour les catégories de performances sismiques C1 et C2	Voir les annexes C13 à C17
Durabilité	Voir l'annexe B2

3.2 Hygiène, santé et environnement (BWR 3)

Caractéristique essentielle	Performances
Teneur, émission et/ou libération de substances dangereuses	Aucune performance évaluée

**4 Système d'évaluation et de vérification de la constance des performances (EVCP)
appliqué, avec référence à sa base juridique**

Conformément au Document d'évaluation européen (DEE) 330499-01-0601, la base juridique européenne applicable est la décision [96/582/CE].

Le système à appliquer est : 1

**5 Détails techniques nécessaires pour la mise en œuvre du système d'évaluation et de
vérification de la constance des performances, selon le Document d'évaluation européen
applicable**

Les détails techniques nécessaires à la mise en œuvre du système EVCP sont donnés dans le plan de contrôle déposé auprès du Deutsches Institut für Bautechnik.

Délivré à Berlin le mardi 10 décembre 2019 par le Deutsches Institut für Bautechnik

BD Dipl.-Ing. Andreas Kummerow
Chef de département

authentification :
Stiller

Traduction anglaise préparée par le DIBt, traduction
française par Hilti à partir de la version anglaise.

Produit posé

Figure A1 :

Tige filetée, HAS-U-..., HIT-V-... et AM 8.8

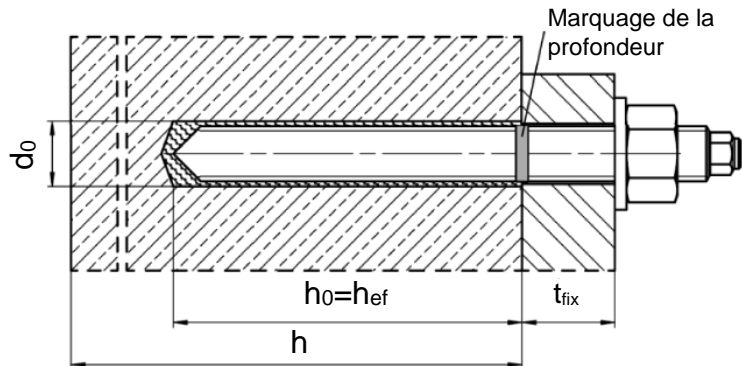


Figure A2 :

Tige filetée, HAS-U-..., HIT-V-... et AM 8.8 avec kit de remplissage Hilti

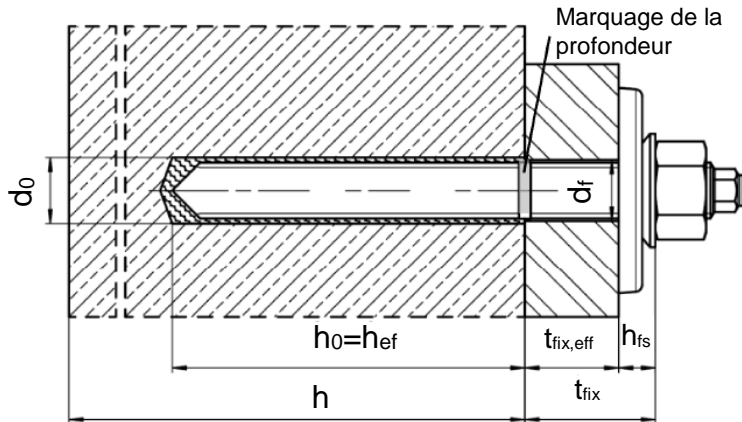
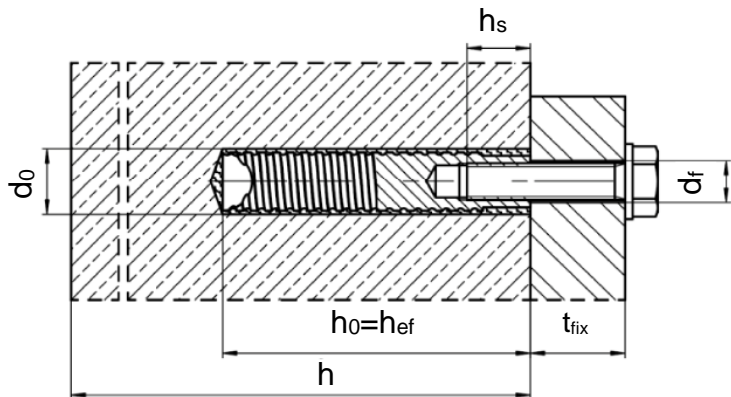


Figure A3 :

Douille à filetage intérieur HIS-(R)N



Système d'injection Hilti HIT-HY 200-R V3

Description du produit

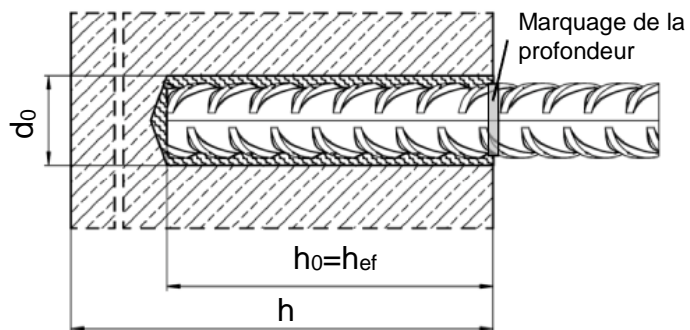
Produit posé

Annexe A1

Traduction anglaise préparée par le DIBt, traduction
française par Hilti à partir de la version anglaise.

Produit posé

Figure A4 :
Barre d'armature



Système d'injection Hilti HIT-HY 200-R V3

Description du produit
Produit posé

Annexe A2

Traduction anglaise préparée par le DIBt, traduction
française par Hilti à partir de la version anglaise.

Description du produit : Résine d'injection et éléments en acier

Résine d'injection Hilti HIT-HY 200-R V3 : système hybride avec agrégat
330 ml et 500 ml

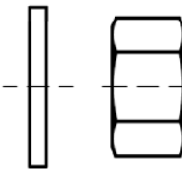
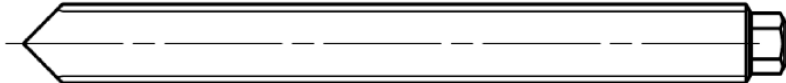
Marquage :
Numéro et ligne de
production HILTI-HIT
Date d'expiration
mm/aaaa



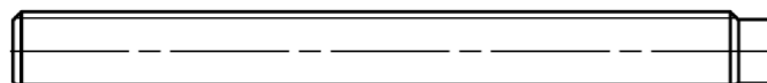
Buse mélangeuse Hilti HIT-RE-M



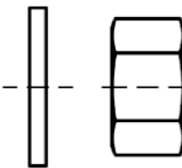
Éléments en acier



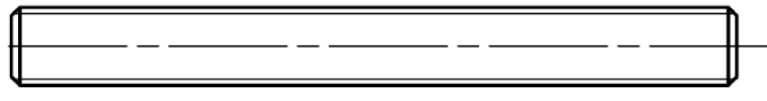
HAS-U... : M8 à M30



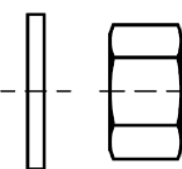
rondelle écrou



HIT-V... : M8 à M30



rondelle écrou



Tige filetée : M8 à M30

Tige de mesure Hilti AM 8.8 électrozingée : M8 à M30, 1 m à 3 m

Tige de mesure Hilti AM HDG 8.8 galvanisée à chaud : M8 à M30, 1 m à 3 m

Tige filetée standard disponible dans le commerce :

- Matériaux et propriétés mécaniques selon le tableau A1.
- Certificat d'inspection 3.1 conformément à la norme EN 10204:2004. Le document doit être conservé.
- Marquage de la profondeur d'implantation.

Système d'injection Hilti HIT-HY 200-R V3

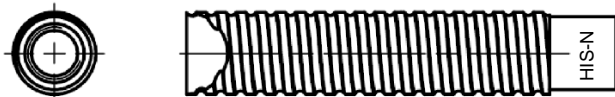
Description du produit

Résine d'injection / Buse mélangeuse / Éléments en acier

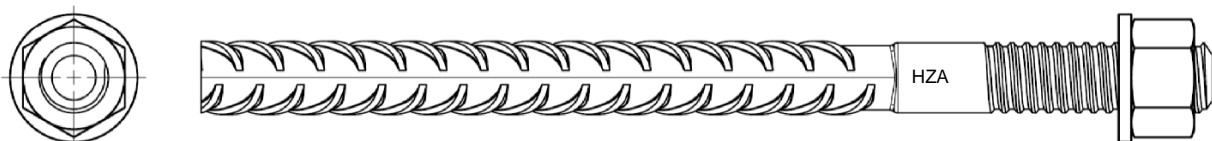
Annexe A3

Traduction anglaise préparée par le DIBt, traduction
française par Hilti à partir de la version anglaise.

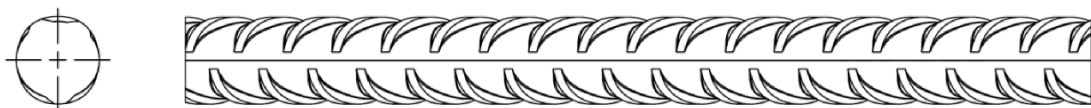
Éléments en acier



Douille à filetage intérieur : HIS-(R)N M8 à M20



Tige de traction Hilti : HZA M12 à M27 et HZA-R M12 à M24

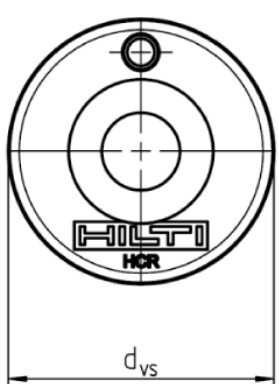


Barre d'armature : ϕ 8 à ϕ 32

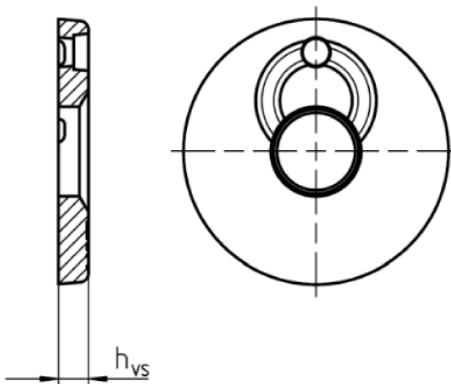
- Matériaux et propriétés mécanique selon le tableau A1
- Dimensions conformes à l'annexe B6

Kit de remplissage Hilti pour le remplissage de l'espace annulaire entre la cheville et la pièce à fixer

Rondelle d'étanchéité



Rondelle sphérique



Kit de remplissage Hilti

M16 M20 M24

Diamètre de la rondelle
d'étanchéité

d_{vs} [mm]

56

60

70

Épaisseur de la rondelle
d'étanchéité

h_{vs} [mm]

6

Épaisseur du kit de remplissage
Hilti

h_{fs} [mm]

11

13

15

Système d'injection Hilti HIT-HY 200-R V3

Description du produit

Résine d'injection / Buse mélangeuse / Éléments en acier

Annexe A4

Traduction anglaise préparée par le DIBt, traduction française par Hilti à partir de la version anglaise.

Tableau A1 : Matériaux

Dénomination	Matériau
Barres d'armature	
Barre d'armature : EN 1992-1-1: 2004 et AC:2010, Annexe C	Barres et tiges redressées de classe de résistance B ou C avec f_{yk} et k selon les NDP ou les NCL de la norme EN 1992-1-1/NA $f_{uk} = f_{tk} = k \cdot f_{yk}$
Parties métalliques en acier zingué	
HAS-U-5.8 (HDG), HIT-V-5.8(F), tige filetée	Classe de résistance 5.8, $f_{uk} = 500 \text{ N/mm}^2$, $f_{yk} = 400 \text{ N/mm}^2$, Allongement à la rupture ($l_0=5d$) > 8 % ductile Revêtement zinc électrolytique $\geq 5 \mu\text{m}$, (F) ou (HDG) galvanisé à chaud $\geq 45 \mu\text{m}$
HAS-U-8.8 (HDG), HIT-V-8.8(F), tige filetée	Classe de résistance 8.8, $f_{uk} = 800 \text{ N/mm}^2$, $f_{yk} = 640 \text{ N/mm}^2$, Allongement à la rupture ($l_0=5d$) > 12% ductile Revêtement zinc électrolytique $\geq 5 \mu\text{m}$, (F) ou (HDG) galvanisé à chaud $\geq 45 \mu\text{m}$
Tige de mesure Hilti AM 8.8 (HDG)	Classe de résistance 8.8, $f_{uk} = 800 \text{ N/mm}^2$, $f_{yk} = 640 \text{ N/mm}^2$ Allongement à la rupture ($l_0 = 5d$) > 12 % ductile, Revêtement zinc électrolytique $\geq 5 \mu\text{m}$, (HDG) galvanisé à chaud $\geq 45 \mu\text{m}$
Tige de traction Hilti HZA	Acier lisse avec partie filetée : acier electrozingué $\geq 5 \mu\text{m}$ Barre d'armature : Barres de classe B selon les NDP ou NCL de la norme EN 1992-1-1/NA
Douille à filetage intérieur HIS-N	Acier electrozingué $\geq 5 \mu\text{m}$
Rondelle	Revêtement zinc électrolytique $\geq 5 \mu\text{m}$, galvanisé à chaud $\geq 45 \mu\text{m}$
Écrou	Classe de résistance de l'écrou adaptée à la classe de résistance de la tige filetée Revêtement zinc électrolytique $\geq 5 \mu\text{m}$, (F) galvanisé à chaud $\geq 45 \mu\text{m}$
Kit de remplissage Hilti (F)	Rondelle de remplissage : Revêtement zinc électrolytique $\geq 5 \mu\text{m}$, (F) galvanisé à chaud $\geq 45 \mu\text{m}$ Rondelle sphérique : Revêtement zinc électrolytique $\geq 5 \mu\text{m}$, (F) galvanisé à chaud $\geq 45 \mu\text{m}$ Écrou autofreiné : Revêtement zinc électrolytique $\geq 5 \mu\text{m}$, (F) galvanisé à chaud $\geq 45 \mu\text{m}$

Système d'injection Hilti HIT-HY 200-R V3

Description du produit
Matériaux

Annexe A5

Traduction anglaise préparée par le DIBt, traduction française par Hilti à partir de la version anglaise.

Tableau A1 : (suite)

Parties métalliques en acier inoxydable classe de résistance à la corrosion III conformément à la norme EN 1993-1-4:2006+A1:2015-06	
HAS-U A4, HIT-V-R	Pour ≤ M24 : classe de résistance 70, $f_{uk} = 700 \text{ N/mm}^2$, $f_{yk} = 450 \text{ N/mm}^2$; Pour > M24 : classe de résistance 50, $f_{uk} = 500 \text{ N/mm}^2$, $f_{yk} = 210 \text{ N/mm}^2$; Allongement à la rupture ($l_0=5d$) > 8 % ductile
Tige filetée	Pour ≤ M24 : classe de résistance 70, $f_{uk} = 700 \text{ N/mm}^2$, $f_{yk} = 450 \text{ N/mm}^2$; Pour > M24 : classe de résistance 50, $f_{uk} = 500 \text{ N/mm}^2$, $f_{yk} = 210 \text{ N/mm}^2$; Allongement à la rupture ($l_0=5d$) > 8 % ductile Acier inoxydable 1.4401, 1.4404, 1.4578, 1.4571, 1.4439, 1.4362 EN 10088-1:2014
Tige de traction Hilti HZA-R	Acier lisse avec partie filetée : Acier inoxydable 1.4404, 1.4362, 1.4571 EN 10088-1:2014 Barre d'armature : Barres de classe B selon les NDP ou NCL de la norme EN 1992-1-1/NA
Douille à filetage intérieur HIS-RN	Acier inoxydable 1.4401, 1.4571 EN 10088-1:2014
Rondelle	Acier inoxydable 1.4401, 1.4404, 1.4578, 1.4571, 1.4439, 1.4362 EN 10088-1:2014
Écrou	Pour ≤ M24 : classe de résistance 70, $f_{uk} = 700 \text{ N/mm}^2$, $f_{yk} = 450 \text{ N/mm}^2$; Pour > M24 : classe de résistance 50, $f_{uk} = 500 \text{ N/mm}^2$, $f_{yk} = 210 \text{ N/mm}^2$; Acier inoxydable 1.4401, 1.4404, 1.4578, 1.4571, 1.4439, 1.4362 EN 10088-1:2014
Parties métalliques en acier à haute résistance à la corrosion classe de résistance à la corrosion IV conformément à la norme EN 1993-1-4:2006+A1:2015-06	
HAS-U HCR, HIT-V-HCR	Pour ≤ M20 : $f_{uk} = 800 \text{ N/mm}^2$, $f_{yk} = 640 \text{ N/mm}^2$, Pour > M20 : $f_{uk} = 700 \text{ N/mm}^2$, $f_{yk} = 400 \text{ N/mm}^2$, Allongement à la rupture ($l_0=5d$) > 8 % ductile
Tige filetée	Pour ≤ M20 : $f_{uk} = 800 \text{ N/mm}^2$, $f_{yk} = 640 \text{ N/mm}^2$, Pour > M20 : $f_{uk} = 700 \text{ N/mm}^2$, $f_{yk} = 400 \text{ N/mm}^2$, Allongement à la rupture ($l_0=5d$) > 8 % ductile Acier à haute résistance à la corrosion 1.4529, 1.4565 EN 10088-1:2014
Rondelle	Acier à haute résistance à la corrosion 1.4529, 1.4565 EN 10088-1:2014
Écrou	Pour ≤ M20 : $f_{uk} = 800 \text{ N/mm}^2$, $f_{yk} = 640 \text{ N/mm}^2$, Pour > M20 : $f_{uk} = 700 \text{ N/mm}^2$, $f_{yk} = 400 \text{ N/mm}^2$, Acier à haute résistance à la corrosion 1.4529, 1.4565 EN 10088-1:2014

Système d'injection Hilti HIT-HY 200-R V3

Description du produit
Matériaux

Annexe A6

Traduction anglaise préparée par le DIBt, traduction
française par Hilti à partir de la version anglaise.

Usage prévu

Ancrages soumis à :

- Charge statique et quasi statique.
- Catégories de performances sismiques C1 et C2 (voir le tableau B1).

Matériau de support :

- Béton damé armé ou non armé de poids normal sans fibres selon la norme EN 206-1:2013+A1:2016.
- Classes de résistance C20/25 à C50/60 selon la norme EN 206-1:2013+A1:2016.
- Béton fissuré et non fissuré.

Température du matériau de support :

• À l'installation

-10 °C à +40 °C pour la variation de température standard après installation

• En service

Plage de températures I : -40 °C à +40 °C.

(température max. à long terme de +24 °C et température max. à court terme de +40 °C)

Plage de températures II : -40 °C à +80 °C.

(température max. à long terme de +50 °C et température max. à court terme de +80 °C)

Plage de températures III : -40 °C à +120 °C.

(température max. à long terme de +72 °C et température max. à court terme de +120 °C)

Tableau B1 : Usage prévu

HIT-HY 200-R V3 avec ...				
Éléments	HAS-U-..., HIT-V-..., AM 8.8 	Armatures 	HZA(-R) 	HIS-(R)N
Perçage à percussion avec mèche creuse TE-CD ou TE-YD 	✓	✓	✓	✓
Perçage à percussion 	✓	✓	✓	✓
Forage au diamant avec outil de dépolissage TE-YRT 	✓	✓	✓	✓
Charge statique et quasi-statique dans du béton fissuré et non fissuré	M8 à M30	Ø 8 à Ø 32	M12 à M27	M8 à M20
Catégorie de performances sismiques C1	M10 à M30	Ø 10 à Ø 32	M12 à M27	-
Catégorie de performances sismiques C2	M16 à M24, HAS-U 8.8, HIT-V 8.8, AM 8.8, HAS-U 8.8 HDG, HIT-V-F 8.8, AM HDG 8.8 Tige standard disponible dans le commerce (en acier électrozingué uniquement)	-	-	-
Système d'injection Hilti HIT-HY 200-R V3				
Usage prévu Spécifications			Annexe B1	

Traduction anglaise préparée par le DIBt, traduction
française par Hilti à partir de la version anglaise.

Conditions d'utilisation (conditions environnementales) :

- Structures soumises à des conditions internes sèches (tous matériaux).
- Pour toute autre condition conforme à la norme EN 1993-1-4:2006+A1:2015-06 correspondant aux classes de résistance à la corrosion, voir l'annexe A6, tableau A1 (acières inoxydables).

Conception :

- Les ancrages sont conçus sous la responsabilité d'un ingénieur expérimenté en ancrages et ouvrages en béton.
- Des plans et des notes de calcul vérifiables sont préparés en tenant compte des charges à ancrer. La position de la cheville est indiquée sur les plans (position de la cheville par rapport aux renforts ou aux supports, etc.).
- Les ancrages sont conçus conformément :
à la norme EN 1992-4:2018 et au Rapport technique de l'EOTA TR 055.

Pose :

- Catégorie d'utilisation : béton sec et humide (hors trous immersés) pour toutes les techniques de perçage.
- Technique de perçage :
 - perçage à percussion,
 - perçage à percussion avec mèche creuse Hilti TE-CD, TE-YD,
 - forage au diamant avec dépolissage avec outil de dépolissage Hilti TE-YRT.
- Sens d'implantation D3 : implantation vers le bas, à l'horizontale et vers le haut (p. ex. au plafond) autorisée pour tous les éléments.
- La pose de la cheville est réalisée par du personnel dûment qualifié, sous la supervision du responsable technique du chantier.

Système d'injection Hilti HIT-HY 200-R V3

Usage prévu
Spécifications

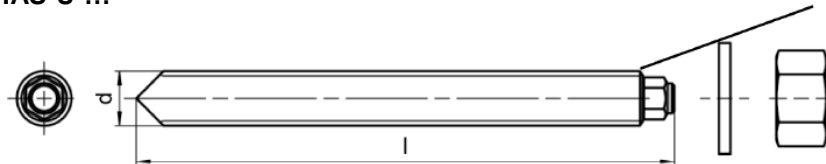
Annexe B2

Traduction anglaise préparée par le DIBt, traduction française par Hilti à partir de la version anglaise.

Tableau B2 : Paramètres de pose des tiges filetées, HAS-U-..., HIT-V-... et AM 8.8

Tige filetée, HAS-U-..., HIT-V-..., AM 8.8	M8	M10	M12	M16	M20	M24	M27	M30
Diamètre de l'élément d [mm]	8	10	12	16	20	24	27	30
Diamètre nominal de la mèche d_0 [mm]	10	12	14	18	22	28	30	35
Profondeur d'implantation effective et profondeur de perçage $h_{\text{eff}} = h_0$ [mm]	60 à 160	60 à 200	70 à 240	80 à 320	90 à 400	96 à 480	108 à 540	120 à 600
Diamètre maximum du trou de passage dans la pièce à fixer d_f [mm]	9	12	14	18	22	26	30	33
Épaisseur du kit de remplissage Hilti h_{fs} [mm]	-	-	-	11	13	15	-	-
Épaisseur effective de la pièce à fixer avec le kit de remplissage Hilti $t_{\text{fix,eff}}$ [mm]	$t_{\text{fix,eff}} = t_{\text{fix}} - h_{\text{fs}}$							
Épaisseur minimum du béton h_{\min} [mm]	$h_{\text{eff}} + 30 \geq 100 \text{ mm}$			$h_{\text{eff}} + 2 \cdot d_0$				
Couple de serrage maximum T_{\max} [Nm]	10	20	40	80	150	200	270	300
Entraxe minimum s_{\min} [mm]	40	50	60	75	90	115	120	140
Distance au bord minimum c_{\min} [mm]	40	45	45	50	55	60	75	80

HAS-U-...



Marquage :

Numéro de la nuance d'acier et lettre d'identification de la longueur : p. ex. : 8L

HIT-V-...



Marquage :

5.8 - I = HIT-V-5.8 M...x I
 5.8F - I = HIT-V-5.8F M...x I
 8.8 - I = HIT-V-8.8 M...x I
 8.8F - I = HIT-V-8.8F M...x I
 R - I = HIT-V-R M...x I
 HCR - I = HIT-V-HCR M...x I

Tige de mesure Hilti AM (HDG) 8.8



Système d'injection Hilti HIT-HY 200-R V3

Usage prévu

Paramètres de pose des tiges filetées, HAS-U-..., HIT-V-... et AM 8.8

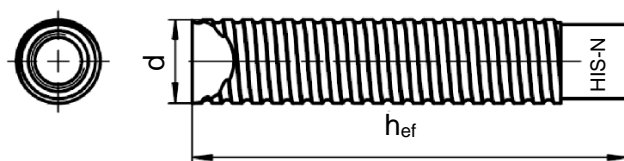
Annexe B3

Traduction anglaise préparée par le DIBt, traduction française par Hilti à partir de la version anglaise.

Tableau B3 : Paramètres de pose de la douille à filetage intérieur HIS-(R)N

Douille à filetage intérieur HIS-(R)N...	M8	M10	M12	M16	M20
Diamètre extérieur de la douille d [mm]	12,5	16,5	20,5	25,4	27,6
Diamètre nominal de la mèche d_0 [mm]	14	18	22	28	32
Profondeur d'implantation effective et profondeur de perçage $h_{\text{ef}} = h_0$ [mm]	90	110	125	170	205
Diamètre maximum du trou de passage dans la pièce à fixer d_f [mm]	9	12	14	18	22
Épaisseur minimum du béton h_{\min} [mm]	120	150	170	230	270
Couple de serrage maximum T_{\max} [Nm]	10	20	40	80	150
Longueur min-max d'engagement du filetage h_s [mm]	8-20	10-25	12-30	16-40	20-50
Entraxe minimum s_{\min} [mm]	60	75	90	115	130
Distance au bord minimum c_{\min} [mm]	40	45	55	65	90

Douille à filetage intérieur HIS-(R)N...



Marquage :

Repère d'identification - HILTI et gravure « HIS-N » (pour l'acier zingué) gravure « HIS-RN » (pour l'acier inoxydable)

Système d'injection Hilti HIT-HY 200-R V3

Usage prévu
Paramètres de pose de la douille à filetage intérieur HIS-(R)N

Annexe B4

Traduction anglaise préparée par le DIBt, traduction française par Hilti à partir de la version anglaise.

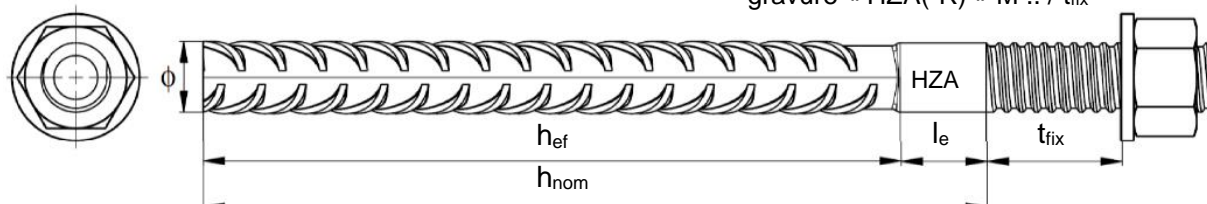
Tableau B4 : Paramètres de pose de la tige de traction Hilti HZA-R

Tige de traction Hilti HZA-R...		M12	M16	M20	M24
Diamètre des barres d'armature	ϕ [mm]	12	16	20	25
Profondeur d'implantation nominale et profondeur de perçage	$h_{\text{nom}} = h_0$ [mm]	170 à 240	180 à 320	190 à 400	200 à 500
Profondeur d'implantation effective ($h_{\text{ef}} = h_{\text{nom}} - l_e$)	h_{ef} [mm]	$h_{\text{nom}} - 100$			
Longueur de la partie lisse	l_e [mm]	100			
Diamètre nominal de la mèche	d_0 [mm]	16	20	25	32
Diamètre maximum du trou de passage dans la pièce à fixer ¹⁾	d_f [mm]	14	18	22	26
Couple de serrage maximum	T_{\max} [Nm]	40	80	150	200
Épaisseur minimum du béton	h_{\min} [mm]	$h_{\text{nom}} + 2 \cdot d_0$			
Entraxe minimum	s_{\min} [mm]	65	80	100	130
Distance au bord minimum	c_{\min} [mm]	45	50	55	60

Tableau B5 : Paramètres de pose de la tige de traction Hilti HZA

Tige de traction Hilti HZA...		M12	M16	M20	M24	M27
Diamètre des barres d'armature	ϕ [mm]	12	16	20	25	28
Profondeur d'implantation nominale et profondeur de perçage	$h_{\text{nom}} = h_0$ [mm]	90 à 240	100 à 320	110 à 400	120 à 500	140 à 560
Profondeur d'implantation effective ($h_{\text{ef}} = h_{\text{nom}} - l_e$)	h_{ef} [mm]	$h_{\text{nom}} - 20$				
Longueur de la partie lisse	l_e [mm]	20				
Diamètre nominal de la mèche	d_0 [mm]	16	20	25	32	35
Diamètre maximum du trou de passage dans la pièce à fixer	d_f [mm]	14	18	22	26	30
Couple de serrage maximum	T_{\max} [Nm]	40	80	150	200	270
Épaisseur minimum du béton	h_{\min} [mm]	$h_{\text{nom}} + 2 \cdot d_0$				
Entraxe minimum	s_{\min} [mm]	65	80	100	130	140
Distance au bord minimum	c_{\min} [mm]	45	50	55	60	75

Marquage :
gravure « HZA(-R) » M .. / tfix



Système d'injection Hilti HIT-HY 200-R V3

Usage prévu
Paramètres de pose de la tige de traction Hilti HZA-(R)

Annexe B5

Traduction anglaise préparée par le DIBt, traduction française par Hilti à partir de la version anglaise.

Tableau B6 : Paramètres de pose de la barre d'armature

Barre d'armature	$\phi 8$	$\phi 10$	$\phi 12$		$\phi 14$	$\phi 16$	$\phi 20$	$\phi 25$	$\phi 26$	$\phi 28$	$\phi 30$	$\phi 32$
nominal ϕ [mm]	8	10	12		14	16	20	25	26	28	30	32
Profondeur d'implantation effective et $h_{\text{ef}} = h_0$ [mm] profondeur de perçage	60 à 160	60 à 200	70 à 240	75 à 280	80 à 320	90 à 400	100 à 500	104 à 520	112 à 560	120 à 600	128 à 640	
Diamètre nominal de la mèche d_0 [mm]	10 / 12 ¹⁾	12 / 14 ¹⁾	14 ¹⁾	16 ¹⁾	18	20	25	32	32	35	37	40
Épaisseur minimum du béton h_{\min} [mm]	$h_{\text{ef}} + 30$ $\geq 100 \text{ mm}$		$h_{\text{ef}} + 2 \cdot d_0$									
Entraxe minimum s_{\min} [mm]	40	50	60	70	80	100	125	130	140	150	160	
Distance au bord minimum c_{\min} [mm]	40	45	45	50	50	65	70	75	75	80	80	

¹⁾ Il est possible d'utiliser les deux valeurs indiquées.

Barre d'armature



Pour l'écrou de la barre d'armature

- Valeur minimum de la surface des nervures associée $f_{R,\min}$ selon la norme EN 1992-1-1:2004+AC:2010
- La hauteur des nervures de la barre h_{rib} doit être comprise dans la plage $0,05 \cdot \phi < h_{\text{rib}} \leq 0,07 \cdot \phi$
(ϕ : diamètre nominal de la barre ; h_{rib} : hauteur des nervures de la barre)

Système d'injection Hilti HIT-HY 200-R V3

Usage prévu
Paramètres de pose de la barre d'armature

Annexe B6

Traduction anglaise préparée par le DIBt, traduction
française par Hilti à partir de la version anglaise.

Tableau B7 : Durée d'utilisation maximum et temps de durcissement minimum Hilti-HY 200-R V3

Température du matériau de support T	Durée d'utilisation maximum t_{work}	Temps de durcissement minimum t_{cure}
-10 °C à -5 °C	3 heure	20 heure
> -5 °C à 0 °C	1,5 heure	8 heure
> 0 °C à 5 °C	45 min	4 heure
> 5 °C à 10 °C	30 min	2,5 heure
> 10 °C à 20 °C	15 min	1,5 heure
> 20 °C à 30 °C	9 min	1 heure
> 30 °C à 40 °C	6 min	1 heure

Système d'injection Hilti HIT-HY 200-R V3

Usage prévu

Durée d'utilisation maximum et temps de durcissement minimum

Annexe B7

Traduction anglaise préparée par le DIBt, traduction française par Hilti à partir de la version anglaise.

Tableau B8 : Paramètres des outils de nettoyage et de pose

Éléments				Perçage et nettoyage				Pose	
Tige filetée, HAS-U-..., HIT-V-..., AM 8.8	HIS-(R)N	Armature s	HZA(-R)	Perçage à percussion	Mèche creuse	Forage au diamant	Outil de dépolissage	Brosse	Piston
taille	taille	taille	taille	d ₀ [mm]	d ₀ [mm]	d ₀ [mm]	d ₀ [mm]	HIT-RB	HIT-SZ
M8	-	φ8	-	10	-	-	-	10	-
M10	-	φ8 / φ10	-	12	12 ¹⁾	-	-	12	12
M12	M8	φ10 / φ12	-	14	14 ¹⁾	-	-	14	14
-	-	φ12	M12	16	16	-	-	16	16
M16	M10	φ14	-	18	18	18	18	18	18
-	-	φ16	M16	20	20	20	20	20	20
M20	M12	-	-	22	22	22	22	22	22
-	-	φ20	M20	25	25	25	25	25	25
M24	M16	-	-	28	28	28	28	28	28
M27	-	-	-	30	-	-	-	30	30
-	M20	φ25 / φ26	M24	32	32	32	32	32	32
M30	-	φ28	M27	35	35	35	35	35	35
-	-	φ30	-	37	-	-	-	37	37
-	-	φ32	-	40	-	-	-	40	40

¹⁾ À utiliser en combinaison avec un aspirateur Hilti affichant un volume d'aspiration ≥ 61 l/s (VC 20/40 –Y en mode câble uniquement).

Solutions de nettoyage

Nettoyage manuel (MC) :

Pompe manuelle Hilti pour le nettoyage des trous de perçage de diamètre d₀ ≤ 20 mm et de profondeur h₀ ≤ 10·d.



Nettoyage à air comprimé (CAC) :

Buse d'air avec une ouverture de l'orifice de minimum 3,5 mm de diamètre.



Nettoyage automatique (AC) :

Le nettoyage est réalisé pendant le perçage avec le système de perçage Hilti TE-CD et TE-YD à aspiration intégrée.



Système d'injection Hilti HIT-HY 200-R V3

Usage prévu

Paramètres des outils de nettoyage et de pose
Solutions de nettoyage

Annexe B8

Traduction anglaise préparée par le DIBt, traduction française par Hilti à partir de la version anglaise.

Tableau B9 : Paramètres d'utilisation de l'outil de dépolissage Hilti TE-YRT

Composants associés			
Forage au diamant		Outil de dépolissage TE-YRT	Jauge d'usure RTG...
			
d ₀ [mm]		d ₀ [mm]	taille
nominal	mesuré		
18	17,9 à 18,2	18	18
20	19,9 à 20,2	20	20
22	21,9 à 22,2	22	22
25	24,9 à 25,2	25	25
28	27,9 à 28,2	28	28
30	29,9 à 30,2	30	30
32	31,9 à 32,2	32	32
35	34,9 à 35,2	35	35

Tableau B10 : Paramètres de pose pour l'utilisation de l'outil de dépolissage Hilti TE-YRT

	Temps de dépolissage t _{roughen}	Temps de soufflage minimum t _{blowing}
h _{ef} [mm]	t _{roughen} [sec] = h _{ef} [mm] / 10	t _{blowing} [sec] = t _{roughen} [sec] + 20
0 à 100	10	30
101 à 200	20	40
201 à 300	30	50
301 à 400	40	60
401 à 500	50	70
501 à 600	60	80

Outil de dépolissage Hilti TE-YRT et jauge d'usure RTG



Système d'injection Hilti HIT-HY 200-R V3

Usage prévu
Paramètres d'utilisation de l'outil de dépolissage Hilti TE-YRT

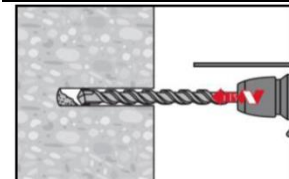
Annexe B9

Traduction anglaise préparée par le DIBt, traduction française par Hilti à partir de la version anglaise.

Instructions de pose

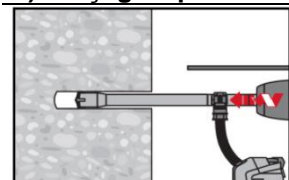
Perçage du trou

a) Perçage à percussion



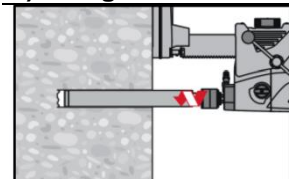
Percez le trou à la profondeur d'implantation souhaitée, à l'aide d'un perforateur à percussion en mode rotatif et d'une mèche carbure de taille appropriée.

b) Perçage à percussion avec mèche creuse Hilti



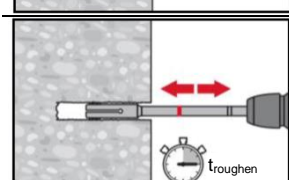
Percez le trou à la profondeur d'implantation souhaitée à l'aide d'une mèche creuse Hilti TE-CD ou TE-YD de taille appropriée fixée à l'aspirateur Hilti VC 20/40 (-Y) (volume d'aspiration $\geq 57 \text{ l/s}$) avec le nettoyage automatique du filtre activé. Ce système de perçage élimine la poussière et nettoie le trou lors du perçage lorsqu'il est utilisé conformément au mode d'emploi. En cas d'utilisation d'une mèche creuse TE-CD de taille 12 ou 14, reportez-vous au tableau B8. Au terme du perçage, passez à l'étape de préparation de l'injection des instructions de pose.

c) Forage au diamant avec dépolissage avec outil de dépolissage Hilti TE-YRT :



Le forage au diamant est admissible lorsque des machines de forage au diamant appropriées et les couronnes correspondantes sont utilisées.

Pour une utilisation avec l'outil de dépolissage TE-YRT, voir les paramètres dans le tableau B10.



L'eau doit être retirée du trou de perçage avant le dépolissage.
Vérifiez la fonctionnalité de l'outil de dépolissage avec la jauge d'usure RTG.
Dépolissez le trou de perçage sur toute la longueur requise l_v .

Nettoyage du trou de perçage

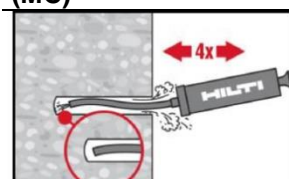
Juste avant de mettre la cheville en place, nettoyez le trou de perçage des éventuels débris et poussières.

Un trou mal nettoyé offrira des performances en charge médiocres.

Nettoyage manuel (MC)

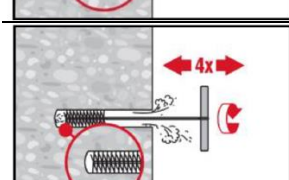
Béton non fissuré uniquement.

Pour les trous de diamètre $d_0 \leq 20 \text{ mm}$ et de profondeur $h_0 \leq 10 \cdot d$.

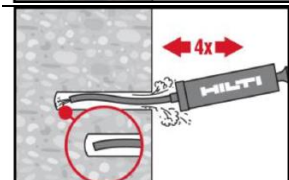


Vous pouvez utiliser la pompe manuelle Hilti pour évacuer la poussière des trous de perçage d'un diamètre jusqu'à $d_0 \leq 20 \text{ mm}$ et d'une profondeur de perçage jusqu'à $h_0 \leq 10 \cdot d$.

Soufflez au moins quatre fois depuis le fond du trou de perçage, jusqu'à ce que l'air renvoyé soit exempt de poussière visible.



Faites quatre passages avec la brosse métallique conseillée (voir le tableau B8), en insérant la brosse Hilti HIT-RB jusqu'au fond du trou (si nécessaire avec la rallonge) avec un mouvement tournant, puis en la ressortant. Vous devez sentir une résistance naturelle lorsque la brosse pénètre dans le trou de perçage (\varnothing brosse $\geq \varnothing$ trou). Si ce n'est pas le cas, cela signifie qu'elle est trop petite et vous devez la remplacer par une brosse d'un diamètre supérieur.



Soufflez à nouveau à l'aide de la pompe manuelle Hilti, au minimum quatre fois, jusqu'à ce que l'air renvoyé soit exempt de poussière visible.

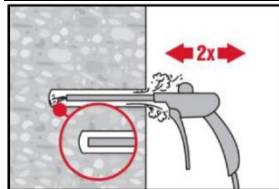
Système d'injection Hilti HIT-HY 200-R V3

Usage prévu
Instructions de pose

Annexe B10

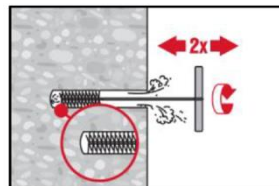
Traduction anglaise préparée par le DIBt, traduction
française par Hilti à partir de la version anglaise.

Nettoyage à air comprimé (CAC) pour les trous d'un diamètre d_0 et d'une profondeur de perçage h_0

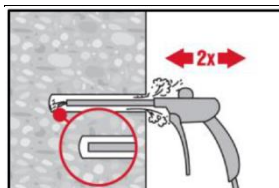


Soufflez au moins deux fois depuis le fond du trou de perçage (si nécessaire, avec la rallonge de buse), en balayant toute la longueur du trou avec de l'air comprimé exempt d'huile (min. 6 bars à 6 m³/h), jusqu'à ce que l'air renvoyé soit exempt de poussière visible.

Pour des diamètres de perçage ≥ 32 mm, le compresseur doit fournir un débit d'air minimum de 140 m³/h.

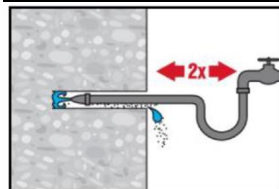


Faites deux passages avec la brosse conseillée (voir le tableau B8), en insérant la brosse Hilti HIT-RB jusqu'au fond du trou (si nécessaire avec la rallonge) avec un mouvement tournant, puis en la ressortant. Vous devez sentir une résistance naturelle lorsque la brosse pénètre dans le trou de perçage (\varnothing brosse $\geq \varnothing$ trou). Si ce n'est pas le cas, cela signifie que la brosse est trop petite et vous devez la remplacer par une d'un diamètre supérieur.

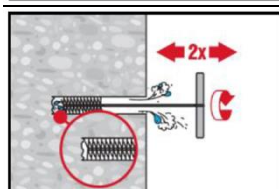


Soufflez à nouveau à l'air comprimé, au minimum deux fois, jusqu'à ce que l'air renvoyé soit exempt de poussière visible.

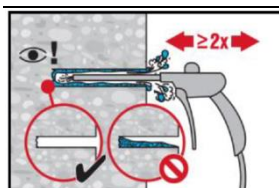
Nettoyage des trous forés au diamant avec dépolissage, avec outil de dépolissage Hilti TE-YRT.



Rincez au moins 2 fois en insérant un tuyau d'eau (ligne d'eau sous pression) jusqu'au fond du trou jusqu'à ce que l'eau qui s'écoule soit transparente.



Faites deux passages avec la brosse conseillée (voir le tableau B8), en insérant la brosse Hilti HIT-RB jusqu'au fond du trou (si nécessaire avec la rallonge) avec un mouvement tournant, puis en la ressortant. Vous devez sentir une résistance naturelle lorsque la brosse pénètre dans le trou de perçage (\varnothing brosse $\geq \varnothing$ trou). Si ce n'est pas le cas, cela signifie que la brosse est trop petite et vous devez la remplacer par une d'un diamètre supérieur.



Soufflez au moins deux fois depuis le fond du trou de perçage (si nécessaire, avec la rallonge de buse), en balayant toute la longueur du trou avec de l'air comprimé exempt d'huile (min. 6 bars à 6 m³/h), jusqu'à ce que l'air renvoyé soit exempt de poussière visible et d'eau. Avant d'injecter la résine, retirez toute l'eau du trou de perçage jusqu'à ce qu'il soit complètement sec. Pour des diamètres de perçage ≥ 32 mm, le compresseur doit fournir un débit d'air minimum de 140 m³/h.

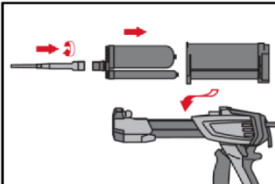
Système d'injection Hilti HIT-HY 200-R V3

Usage prévu
Instructions de pose

Annexe B11

Traduction anglaise préparée par le DIBt, traduction française par Hilti à partir de la version anglaise.

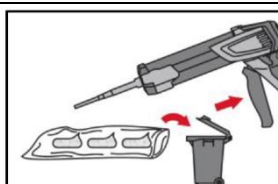
Préparation de l'injection



Fixez soigneusement la buse de mélange Hilti HIT-RE-M au connecteur de la cartouche souple. Ne pas modifier la buse de mélange.

Respectez les instructions d'utilisation fournies avec le système d'injection.

Vérifiez que le porte-cartouche fonctionne correctement. Insérez la cartouche souple dans le porte-cartouche et placez ce dernier dans le système d'injection.

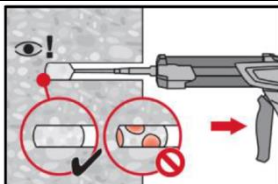


La cartouche souple s'ouvre automatiquement lorsque l'injection démarre. Selon la taille de la cartouche souple, une quantité initiale de résine doit être éliminée. Les quantités à éliminer sont les suivantes

- | | |
|-------------|---|
| 2 pressions | pour une cartouche de 330 ml, |
| 3 pressions | pour une cartouche de 500 ml, |
| 4 pressions | pour une cartouche de 500 ml $\leq 5^{\circ}\text{C}$. |

La température minimum de la cartouche souple est de 0°C .

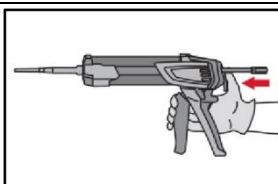
Injectez la résine en commençant par le fond du trou de perçage, en évitant de former des poches d'air.



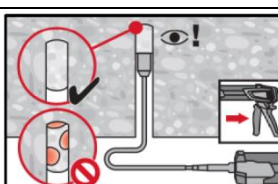
Injectez la résine en commençant par le fond du trou de perçage et retirez lentement la buse mélangeuse à chaque pression sur le levier.

Remplissez le trou aux 2/3 environ pour que l'espace annulaire entre la cheville et le béton soit complètement rempli de résine, sur toute la profondeur d'implantation.

Dans du béton saturé d'eau, il est impératif de placer la fixation immédiatement après nettoyage du trou.



Une fois l'injection terminée, dépressurisez le système d'injection en appuyant sur le levier de détente. Cette étape permet d'éviter que la résine ne sorte de façon inopinée de la buse mélangeuse.



Pose en hauteur et/ou avec profondeur d'implantation $h_{\text{ef}} > 250 \text{ mm}$.

Dans le cas d'une pose en hauteur, l'injection est possible uniquement à l'aide de rallonges et de pistons. Assembler la buse mélangeuse HIT-RE-M, la ou les rallonge(s) et le piston de taille appropriée (voir le tableau B8). Insérez le piston jusqu'au fond du trou et injectez la résine. Lors de l'injection, le piston est naturellement repoussé vers l'extérieur du trou par la pression de la résine injectée.

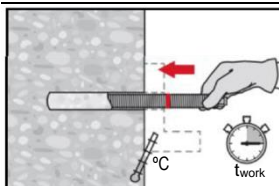
Système d'injection Hilti HIT-HY 200-R V3

Usage prévu
Instructions de pose

Annexe B12

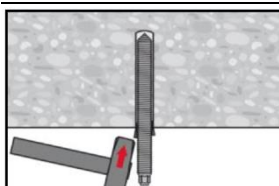
Traduction anglaise préparée par le DIBt, traduction française par Hilti à partir de la version anglaise.

Mise en place de l'élément

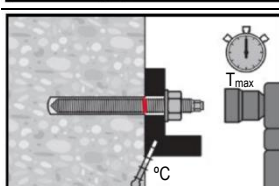


Avant utilisation, vérifiez que la cheville est sèche et exempte d'huile ou d'autres contaminants.

Marquez et positionnez la cheville à la profondeur d'implantation requise, avant que la durée d'utilisation t_{work} soit écoulée. La durée d'utilisation t_{work} est indiquée dans le tableau B7.

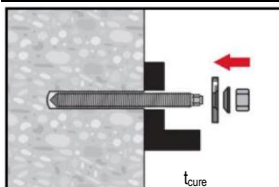


Pour une installation en hauteur, servez-vous de pistons et maintenez les pièces implantées en place, p. ex. à l'aide de cales (Hilti HIT-OHW).

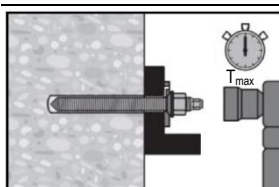


Mise en charge de la cheville : Vous pouvez mettre la cheville en charge une fois que le temps de durcissement t_{cure} requis est écoulé (voir le tableau B7). Le couple de serrage de pose appliqué ne doit pas dépasser les valeurs T_{max} indiquées dans les tableaux B2 à B5.

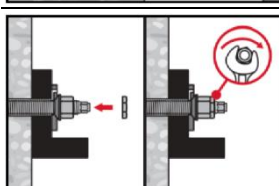
Pose du kit de remplissage Hilti



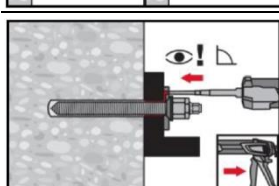
Utilisez le kit de remplissage Hilti avec l'écrou standard. Respectez l'orientation correcte de la rondelle de remplissage et de la rondelle sphérique.



Le couple de serrage de pose appliqué ne doit pas dépasser les valeurs T_{max} indiquées dans les tableaux B2 à B5.



Facultatif :
Installation d'un écrou autofreiné. Serrez d'un $\frac{1}{4}$ à $\frac{1}{2}$ tour. (Pas pour la taille M24.)



Remplissez l'espace annulaire entre la tige d'ancrage et la pièce à fixer avec 1 à 3 pressions de résine d'injection HIT-HY ... ou HIT-RE Suivez les instructions de pose fournies avec la résine d'injection correspondante. Vous pouvez mettre la tige en charge une fois le temps de durcissement requis écoulé t_{cure} .

Système d'injection Hilti HIT-HY 200-R V3

Usage prévu
Instructions de pose

Annexe B13

Traduction anglaise préparée par le DIBt, traduction française par Hilti à partir de la version anglaise.

Tableau C1 : Caractéristiques essentielles pour la tige filetée HAS-U-..., HIT-V-... et AM 8.8 sous charge de traction dans du béton

Tige filetée, HAS-U-..., HIT-V-... et AM 8.8	M8	M10	M12	M16	M20	M24	M27	M30
Coefficient de sécurité à la pose								
Perçage à percussion γ_{inst} [-]								
Perçage à percussion avec mèche creuse Hilti TE-CD ou TE-YD	γ_{inst} [-]	1)						1,0
Forage au diamant avec dépolissage avec outil de dépolissage Hilti TE-YRT	γ_{inst} [-]		1)					1,0
Rupture de l'acier								
Résistance caractéristique $N_{Rk,s}$ [kN]								$A_s \cdot f_{uk}$
Coefficient partiel grade 5.8 γ_{Ms,N^2} [-]								1,5
Coefficient partiel grade 8.8 γ_{Ms,N^2} [-]								1,5
Coefficient partiel HAS-U A4, HIT-V-R γ_{Ms,N^2} [-]						1,86		2,86
Coefficient partiel HAS-U HCR, HIT-V-HCR γ_{Ms,N^2} [-]					1,5			2,1
Arrachement + rupture par cône de béton								
Résistance à la rupture caractéristique dans du béton non fissuré C20/25								
Plage de températures I : 40 °C / 24 °C $\tau_{Rk,ucr}$ [N/mm²]								18
Plage de températures II : 80 °C / 50 °C $\tau_{Rk,ucr}$ [N/mm²]								15
Plage de températures III : 120 °C / 72 °C $\tau_{Rk,ucr}$ [N/mm²]								13
Résistance à la rupture caractéristique dans du béton fissuré C20/25								
Plage de températures I : 40 °C / 24 °C $\tau_{Rk,cr}$ [N/mm²]		7,5			8,5			9,0
Plage de températures II : 80 °C / 50 °C $\tau_{Rk,cr}$ [N/mm²]		6,0			7,0			7,5
Plage de températures III : 120 °C / 72 °C $\tau_{Rk,cr}$ [N/mm²]		5,5			6,0			6,5
Facteurs d'influence ψ sur la résistance à la rupture τ_{Rk}								
Béton fissuré et non fissuré :	ψ_c	C30/37						1,04
Coefficient pour la résistance du béton		C40/45						1,07
		C50/60						1,1
		40 °C / 24 °C						0,74
Béton fissuré et non fissuré : Facteur de charge prolongée	ψ_{sus}^0	80 °C / 50 °C						0,89
		120 °C / 72 °C						0,72

Système d'injection Hilti HIT-HY 200-R V3

Performances

Caractéristiques essentielles sous charge de traction dans du béton

Annexe C1

Traduction anglaise préparée par le DIBt, traduction française par Hilti à partir de la version anglaise.

Tableau C1 : suite

Rupture par cône de béton		
Coefficient pour le béton non fissuré	$k_{ucr,N}$	[-]
Coefficient pour le béton fissuré	$k_{cr,N}$	[-]
Distance au bord	$c_{cr,N}$	[mm]
Entraxe	$s_{cr,N}$	[mm]
Rupture par fendage		
Distance au bord $c_{cr,sp}$ [mm] pour	$h / h_{ef} \geq 2,0$	$1,0 \cdot h_{ef}$
	$2,0 > h / h_{ef} > 1,3$	$4,6 \cdot h_{ef} - 1,8 \cdot h$
	$h / h_{ef} \leq 1,3$	$2,26 \cdot h_{ef}$
Entraxe	$s_{cr,sp}$	[mm]

1) Aucune performance évaluée.

2) En l'absence de réglementations nationales.

Tableau C2 : Caractéristiques essentielles pour la tige filetée HAS-U-..., HIT-V-... et AM 8.8 sous charge de cisaillement dans du béton

Tige filetée, HAS-U-..., HIT-V-..., AM 8.8	M8	M10	M12	M16	M20	M24	M27	M30
Rupture de l'acier sans bras de levier								
Résistance caractéristique								
Résistance caractéristique	$V_{Rk,s}$	[kN]						$0,5 \cdot A_s \cdot f_{uk}$
Coefficient partiel grade 5.8	$\gamma_{Ms,V}^{1)}$	[-]						1,25
Coefficient partiel grade 8.8	$\gamma_{Ms,V}^{1)}$	[-]						1,25
Coefficient partiel HAS-U A4, HIT-V-R	$\gamma_{Ms,V}^{1)}$	[-]					1,56	2,38
Coefficient partiel HAS-U HCR, HIT-V-HCR	$\gamma_{Ms,V}^{1)}$	[-]					1,25	1,75
Facteur de ductilité	k_7	[-]						1,0
Rupture de l'acier avec bras de levier								
Moment de flexion	$M_{Rk,s}^0$	[Nm]						$1,2 \cdot W_{el} \cdot f_{uk}$
Facteur de ductilité	k_7	[-]						1,0
Rupture par arrachement du béton								
Facteur d'arrachage	k_8	[-]						2,0
Rupture au bord du béton								
Longueur effective de la fixation	l_f	[mm]					$\min(h_{et}; 12 \cdot d_{nom})$	$\min(h_{ef}; 300)$
Diamètre extérieur de la fixation	d_{nom}	[mm]	8	10	12	16	20	24
							27	30

1) En l'absence de réglementations nationales.

Système d'injection Hilti HIT-HY 200-R V3

Performances

Caractéristiques essentielles sous charge de traction et de cisaillement dans du béton

Annexe C2

Traduction anglaise préparée par le DIBt, traduction
française par Hilti à partir de la version anglaise.

Tableau C3 : Caractéristiques essentielles pour la douille à filetage intérieur HIS-(R)N sous charge de traction dans du béton

HIS-(R)N	M8	M10	M12	M16	M20
Coefficient de sécurité à la pose					
Perçage à percussion γ_{inst} [-]				1,0	
Perçage à percussion avec mèche creuse Hilti TE-CD ou TE-YD γ_{inst} [-]				1,0	
Forage au diamant avec dépolissage avec outil de dépolissage Hilti TE-YRT γ_{inst} [-]	1)			1,0	
Rupture de l'acier					
Résistance caractéristique HIS-N vis ou tige filetée de grade 8.8 $N_{Rk,s}$ [kN]	25	46	67	125	116
Coefficient partiel γ_{Ms,N^2} [-]				1,50	
Résistance caractéristique HIS-RN vis ou tige filetée de grade 70 $N_{Rk,s}$ [kN]	26	41	59	110	166
Coefficient partiel γ_{Ms,N^2} [-]			1,87		2,4
Arrachement et rupture par cône de béton combinés					
Profondeur d'implantation effective h_{ef} [mm]	90	110	125	170	205
Diamètre effectif de la fixation d_1 [mm]	12,5	16,5	20,5	25,4	27,6
Résistance à la rupture caractéristique dans du béton non fissuré C20/25					
Plage de températures I : 40 °C / 24 °C $\tau_{Rk,ucr}$ [N/mm²]				13	
Plage de températures II : 80 °C / 50 °C $\tau_{Rk,ucr}$ [N/mm²]				11	
Plage de températures III : 120 °C / 72 °C $\tau_{Rk,ucr}$ [N/mm²]				9,5	
Résistance à la rupture caractéristique dans du béton fissuré C20/25					
Plage de températures I : 40 °C / 24 °C $\tau_{Rk,cr}$ [N/mm²]				7	
Plage de températures II : 80 °C / 50 °C $\tau_{Rk,cr}$ [N/mm²]				5,5	
Plage de températures III : 120 °C / 72 °C $\tau_{Rk,cr}$ [N/mm²]				5	
Facteurs d'influence ψ sur la résistance à la rupture τ_{Rk}					
Béton fissuré et non fissuré :	C30/37			1,04	
Coefficient pour la résistance du béton ψ_c	C40/45			1,07	
	C50/60			1,1	
Béton fissuré et non fissuré :	40 °C/24 °C			0,74	
Facteur de charge prolongée ψ_{sus}^0	80 °C/50 °C			0,89	
	120 °C/72 °C			0,72	

Système d'injection Hilti HIT-HY 200-R V3

Performances

Caractéristiques essentielles sous charges de traction dans du béton

Annexe C3

Traduction anglaise préparée par le DIBt, traduction française par Hilti à partir de la version anglaise.

Tableau C3 : suite

Rupture par cône de béton		
Coefficient pour le béton non fissuré	$k_{ucr,N}$	[-]
		11,0
Coefficient pour le béton fissuré	$k_{cr,N}$	[-]
		7,7
Distance au bord	$c_{cr,N}$	[mm]
		$1,5 \cdot h_{ef}$
Entraxe	$s_{cr,N}$	[mm]
		$3,0 \cdot h_{ef}$
Rupture par fendage		
Distance au bord $c_{cr,sp}$ [mm] pour	$h / h_{ef} \geq 2,0$	$1,0 \cdot h_{ef}$
	$2,0 > h / h_{ef} > 1,3$	$4,6 h_{ef} - 1,8 h$
	$h / h_{ef} \leq 1,3$	$2,26 h_{ef}$
Entraxe	$s_{cr,sp}$	[mm]
		$2 \cdot c_{cr,sp}$

1) Aucune performance évaluée.

2) En l'absence de réglementations nationales.

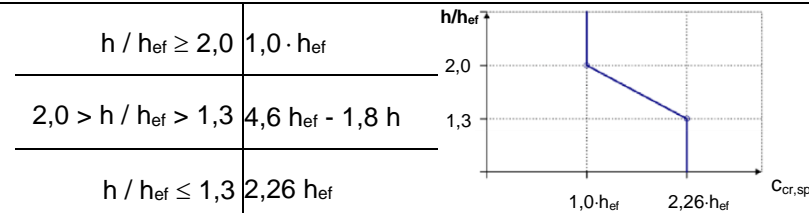


Tableau C4 : Caractéristiques essentielles pour la douille à filetage intérieur HIS-(R)N sous charge de cisaillement dans du béton

HIS-(R)N	M8	M10	M12	M16	M20
Rupture de l'acier sans bras de levier					
Résistance caractéristique HIS-N vis ou tige filetée de grade 8.8					
$V_{Rk,s}$	[kN]	13	23	34	63
Coefficient partiel	$\gamma_{Ms,V^1)}$	[-]		1,25	
Résistance caractéristique HIS-RN vis ou tige filetée de grade 70	$V_{Rk,s}$	[kN]	13	20	30
			55	55	83
Coefficient partiel	$\gamma_{Ms,V^1)}$	[-]		1,56	2,0
Facteur de ductilité	k_7	[-]		1,0	
Rupture de l'acier avec bras de levier					
HIS-N avec vis ou tige filetée de grade 8.8	$M^0_{Rk,s}$	[Nm]	30	60	105
HIS-RN avec vis ou tige filetée de grade 70	$M^0_{Rk,s}$	[Nm]	26	52	92
Facteur de ductilité	k_7	[-]		1,0	
Rupture par arrachement du béton					
Facteur d'arrachage	k_8	[-]		2,0	
Rupture au bord du béton					
Longueur effective de la fixation	l_f	[mm]	90	110	125
Diamètre extérieur de la fixation	d_{nom}	[mm]	12,5	16,5	20,5
			25,4	25,4	27,6

¹⁾ En l'absence de réglementations nationales.

Système d'injection Hilti HIT-HY 200-R V3

Performances

Caractéristiques essentielles sous charge de traction et de cisaillement dans du béton

Annexe C4

Traduction anglaise préparée par le DIBt, traduction française par Hilti à partir de la version anglaise.

Tableau C5 : Caractéristiques essentielles de la tige de traction Hilti HZA / HZA-R sous charge de traction dans du béton

Tige de traction Hilti HZA / HZA-R	M12	M16	M20	M24	M27
Coefficient de sécurité à la pose					
Perçage à percussion γ_{inst} [-]				1,0	
Perçage à percussion avec mèche creuse Hilti TE-CD ou TE-YD γ_{inst} [-]				1,0	
Forage au diamant avec dépolissage avec outil de dépolissage Hilti TE-YRT γ_{inst} [-]	1)			1,0	
Rupture de l'acier					
Résistance caractéristique HZA $N_{Rk,s}$ [kN]	46	86	135	194	253
Résistance caractéristique HZA-R $N_{Rk,s}$ [kN]	62	111	173	248	1)
Coefficient partiel $\gamma_{Ms,N^2)}$ [-]			1,4		
Arrachement et rupture par cône de béton combinés					
Diamètre de la barre d'armature d [mm]	12	16	20	25	28
Résistance à la rupture caractéristique dans du béton non fissuré C20/25					
Profondeur d'implantation effective	HZA h_{ef} [mm]			$h_{nom} - 20$	
	HZA-R h_{ef} [mm]				$h_{nom} - 100$ 1)
Plage de températures I : 40 °C / 24 °C	$\tau_{Rk,ucr}$ [N/mm²]			12	
Plage de températures II : 80 °C / 50 °C	$\tau_{Rk,ucr}$ [N/mm²]			10	
Plage de températures III : 120 °C / 72 °C	$\tau_{Rk,ucr}$ [N/mm²]			8,5	
Résistance à la rupture caractéristique dans du béton fissuré C20/25					
Plage de températures I : 40 °C / 24 °C	$\tau_{Rk,cr}$ [N/mm²]			7	
Plage de températures II : 80 °C / 50 °C	$\tau_{Rk,cr}$ [N/mm²]			5,5	
Plage de températures III : 120 °C / 72 °C	$\tau_{Rk,cr}$ [N/mm²]			5	
Facteurs d'influence ψ sur la résistance à la rupture τ_{Rk}					
Béton fissuré et non fissuré :		C30/37		1,04	
Coefficient pour la résistance du béton	ψ_c	C40/45		1,07	
		C50/60		1,1	
Béton fissuré et non fissuré : Facteur de charge prolongée	ψ_{sus}^0	40 °C / 24 °C		0,74	
		80 °C / 50 °C		0,89	
		120 °C / 72 °C		0,72	

Système d'injection Hilti HIT-HY 200-R V3

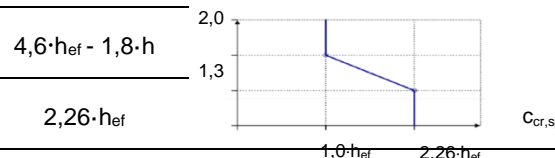
Performances

Caractéristiques essentielles sous charges de traction dans du béton

Annexe C5

Traduction anglaise préparée par le DIBt, traduction française par Hilti à partir de la version anglaise.

Tableau C5 : suite

Rupture par cône de béton					
Profondeur d'implantation effective	HZA	h_{ef}	[mm]	h_{nom}	
	HZA-R	h_{ef}	[mm]	h_{nom}	1)
Coefficient pour le béton non fissuré	k_{ucr}			11,0	
Coefficient pour le béton fissuré	k_{cr}			7,7	
Distance au bord	$c_{\text{cr},N}$			$1,5 \cdot h_{\text{ef}}$	
Entraxe	$s_{\text{cr},N}$			$3,0 \cdot h_{\text{ef}}$	
Rupture par fendage pour le béton non fissuré					
		$h / h_{\text{ef}} \geq 2,0$	$1,0 \cdot h_{\text{ef}}$		h/h_{ef}
Distance au bord $c_{\text{cr},sp}$ [mm] pour	$2,0 > h / h_{\text{ef}} > 1,3$		$4,6 \cdot h_{\text{ef}} - 1,8 \cdot h$		
		$h / h_{\text{ef}} \leq 1,3$	$2,26 \cdot h_{\text{ef}}$		
Entraxe	$s_{\text{cr},sp}$			$2 \cdot c_{\text{cr},sp}$	

1) Aucune performance évaluée.

2) En l'absence de réglementations nationales.

Tableau C6 : Caractéristiques essentielles de la tige de traction Hilti HZA, HZA-R sous charge de cisaillement dans du béton

Tige de traction Hilti HZA / HZA-R	M12	M16	M20	M24	M27			
Rupture de l'acier sans bras de levier								
Résistance caractéristique HZA	$V_{Rk,s}$	[kN]	23	43	67			
Résistance caractéristique HZA-R	$V_{Rk,s}$	[kN]	31	55	86			
Coefficient partiel	γ_{Ms,V^2}	[-]	1,5					
Facteur de ductilité	k_7	[-]	1,0					
Rupture de l'acier avec bras de levier								
HZA	$M_{Rk,S}^0$	[Nm]	72	183	357			
HZA-R	$M_{Rk,S}^0$	[Nm]	97	234	457			
Facteur de ductilité	k_7	[-]	1,0					
Rupture par arrachement du béton								
Facteur d'arrachage	k_8	[-]	2,0					
Rupture au bord du béton								
Longueur effective de la fixation	l_f	[mm]	$\min(h_{\text{nom}}; 12 \cdot d_{\text{nom}})$		$\min(h_{\text{nom}}; 300)$			
Diamètre extérieur de la fixation	d_{nom}	[mm]	12	16	20			
			24	27				

1) Aucune performance évaluée.

2) En l'absence de réglementations nationales.

Système d'injection Hilti HIT-HY 200-R V3

Performances

Caractéristiques essentielles sous charge de traction et de cisaillement dans du béton

Annexe C6

Traduction anglaise préparée par le DIBt, traduction française par Hilti à partir de la version anglaise.

Tableau C7 : Caractéristiques essentielles pour les armatures sous charge de traction dans du béton

Armatures	φ 8	φ 10	φ 12	φ 14	φ 16	φ 20	φ 25	φ 26	φ 28	φ 30	φ 32
Coefficient de sécurité à la pose											
Perçage à percussion γ_{inst} [-]											1,0
Perçage à percussion avec mèche creuse Hilti TE-CD ou TE-YD γ_{inst} [-]											1,0
Forage au diamant avec dépolissage avec outil de dépolissage Hilti TE-YRT γ_{inst} [-]			1)								1,0
Rupture de l'acier											
Résistance caractéristique barre d'armature B500B selon DIN 488:2009-08 $N_{Rk,s}$ [kN]	28	43	62	85	111	173	270	292	339	388	442
Coefficient partiel γ_{Ms,N^2} [-]											1,4
Arrachement et rupture par cône de béton combinés											
Diamètre de la barre d'armature d [mm]	8	10	12	14	16	20	25	26	28	30	32
Résistance à la rupture caractéristique dans du béton non fissuré C20/25											
Plage de températures I : 40°C / 24°C $\tau_{Rk,ucr}$ [N/mm ²]											12
Plage de températures II : 80°C / 50°C $\tau_{Rk,ucr}$ [N/mm ²]											10
Plage de températures III : 120°C / 72°C $\tau_{Rk,ucr}$ [N/mm ²]											8,5
Résistance à la rupture caractéristique dans du béton fissuré C20/25											
Plage de températures I : 40°C / 24°C $\tau_{Rk,cr}$ [N/mm ²]	1)	5									7
Plage de températures II : 80°C / 50°C $\tau_{Rk,cr}$ [N/mm ²]	1)	4									5,5
Plage de températures III : 120°C / 72°C $\tau_{Rk,cr}$ [N/mm ²]	1)	3,5									5
Facteurs d'influence ψ sur la résistance à la rupture τ_{Rk}											
Béton fissuré et non fissuré :	C30/37										1,04
Coefficient pour la résistance du béton	C40/45										1,07
	C50/60										1,1
Béton fissuré et non fissuré :	40 °C / 24 °C										0,74
	80 °C / 50 °C										0,89
Facteur de charge prolongée	ψ_{sus}^0	120 °C / 72 °C									0,72

Système d'injection Hilti HIT-HY 200-R V3

Performances
Caractéristiques essentielles sous charge de traction dans du béton

Annexe C7

Traduction anglaise préparée par le DIBt, traduction française par Hilti à partir de la version anglaise.

Tableau C7 : (suite)

Rupture par cône de béton			
Coefficient pour le béton non fissuré	$k_{ucr,N}$	[$-$]	11,0
Coefficient pour le béton fissuré	$k_{cr,N}$	[$-$]	7,7
Distance au bord	$c_{cr,N}$	[mm]	$1,5 \cdot h_{ref}$
Entraxe	$s_{cr,N}$	[mm]	$3,0 \cdot h_{ref}$
Rupture par fendage pour le béton non fissuré			
$h / h_{ref} \geq 2,0$		$1,0 \cdot h_{ref}$	
Distance au bord $c_{cr,sp}$ [mm] pour $2,0 > h / h_{ref} > 1,3$		$4,6 \cdot h_{ref} - 1,8 \cdot h$	
$h / h_{ref} \leq 1,3$		$2,26 \cdot h_{ref}$	
Entraxe	$s_{cr,sp}$	[mm]	$2 c_{cr,sp}$

1) Aucune performance évaluée.

2) En l'absence de réglementations nationales.

Tableau C8 : Caractéristiques essentielles pour les armatures sous charge de cisaillement dans du béton

Armatures	$\phi 8$	$\phi 10$	$\phi 12$	$\phi 14$	$\phi 16$	$\phi 20$	$\phi 25$	$\phi 26$	$\phi 28$	$\phi 30$	$\phi 32$		
Rupture de l'acier sans bras de levier													
Résistance caractéristique Armature B500B selon DIN 488:2009-08	$V_{Rk,s}$	[kN]	14	22	31	42	55	86	135	146	169	194	221
Coefficient partiel	$\gamma_{Ms,V}^1$	[$-$]										1,5	
Facteur de ductilité	k_7	[$-$]										1,0	
Rupture de l'acier avec bras de levier													
Armature B500B selon DIN 488:2009-08	$M_{Rk,s}$	[Nm]	33	65	112	178	265	518	1012	1139	1422	1749	2123
Facteur de ductilité	k_7	[$-$]										1,0	
Rupture par arrachement du béton													
Facteur d'arrachage	k_8	[$-$]										2,0	
Rupture au bord du béton													
Longueur effective de la fixation	l_f	[mm]	$\min(h_{ref}; 12 \cdot d_{nom})$						$\min(h_{nom}; 300)$				
Diamètre extérieur de la fixation	d_{nom}	[mm]	8	10	12	14	16	20	25	26	28	30	32

¹⁾ En l'absence de réglementations nationales.

Système d'injection Hilti HIT-HY 200-R V3

Performances

Caractéristiques essentielles sous charge de traction et de cisaillement dans du béton

Annexe C8

Traduction anglaise préparée par le DIBt, traduction française par Hilti à partir de la version anglaise.

Tableau C9 : Déplacements sous charge de traction

Tige filetée, HAS-U-..., HIT-V-..., AM 8.8		M8	M10	M12	M16	M20	M24	M27	M30	
Plage de températures I pour le béton non fissuré : 40°C / 24°C										
Déplacement	δ_{N0}	[mm/(N/mm ²)]	0,02	0,03	0,03	0,04	0,06	0,07	0,07	0,08
	$\delta_{N\infty}$	[mm/(N/mm ²)]	0,04	0,05	0,06	0,08	0,10	0,13	0,14	0,16
Plage de températures II pour le béton non fissuré : 80°C / 50°C										
Déplacement	δ_{N0}	[mm/(N/mm ²)]	0,03	0,04	0,05	0,06	0,08	0,09	0,10	0,12
	$\delta_{N\infty}$	[mm/(N/mm ²)]	0,04	0,05	0,06	0,09	0,11	0,13	0,15	0,16
Plage de températures III pour le béton non fissuré : 120°C / 72°C										
Déplacement	δ_{N0}	[mm/(N/mm ²)]	0,04	0,05	0,06	0,08	0,10	0,12	0,13	0,16
	$\delta_{N\infty}$	[mm/(N/mm ²)]	0,04	0,05	0,07	0,09	0,11	0,13	0,15	0,17
Plage de températures I pour le béton fissuré : 40°C / 24°C										
Déplacement	δ_{N0}	[mm/(N/mm ²)]					0,07			
	$\delta_{N\infty}$	[mm/(N/mm ²)]					0,16			
Plage de températures II pour le béton fissuré : 80°C / 50°C										
Déplacement	δ_{N0}	[mm/(N/mm ²)]					0,10			
	$\delta_{N\infty}$	[mm/(N/mm ²)]					0,22			
Plage de températures III pour le béton fissuré : 120°C / 72°C										
Déplacement	δ_{N0}	[mm/(N/mm ²)]					0,13			
	$\delta_{N\infty}$	[mm/(N/mm ²)]					0,29			

Tableau C10 : Déplacements sous charge de cisaillement

Tige filetée, HAS-U-..., HIT-V-..., AM 8.8		M8	M10	M12	M16	M20	M24	M27	M30	
Déplacement	δ_{v0}	[mm/kN]	0,06	0,06	0,05	0,04	0,04	0,03	0,03	0,03
	$\delta_{v\infty}$	[mm/kN]	0,09	0,08	0,08	0,06	0,06	0,05	0,05	0,05

Système d'injection Hilti HIT-HY 200-R V3

Performances

Déplacements avec les tiges filetées, HAS-U-..., HIT-V-... et AM 8.8

Annexe C9

Traduction anglaise préparée par le DIBt, traduction française par Hilti à partir de la version anglaise.

Tableau C11 : Déplacements sous charge de traction

HIS-(R)N		M8	M10	M12	M16	M20
Plage de températures I pour le béton non fissuré : 40°C / 24°C						
Déplacement	δ_{N0} [mm/(N/mm ²)]	0,03	0,05	0,06	0,07	0,08
	$\delta_{N\infty}$ [mm/(N/mm ²)]	0,06	0,09	0,11	0,13	0,14
Plage de températures II pour le béton non fissuré : 80°C / 50°C						
Déplacement	δ_{N0} [mm/(N/mm ²)]	0,05	0,06	0,08	0,10	0,11
	$\delta_{N\infty}$ [mm/(N/mm ²)]	0,07	0,09	0,11	0,13	0,15
Plage de températures III pour le béton non fissuré : 120°C / 72°C						
Déplacement	δ_{N0} [mm/(N/mm ²)]	0,06	0,08	0,10	0,13	0,14
	$\delta_{N\infty}$ [mm/(N/mm ²)]	0,07	0,09	0,11	0,14	0,15
Plage de températures I pour le béton fissuré : 40°C / 24°C						
Déplacement	δ_{N0} [mm/(N/mm ²)]			0,11		
	$\delta_{N\infty}$ [mm/(N/mm ²)]			0,16		
Plage de températures II pour le béton fissuré : 80°C / 50°C						
Déplacement	δ_{N0} [mm/(N/mm ²)]			0,15		
	$\delta_{N\infty}$ [mm/(N/mm ²)]			0,22		
Plage de températures III pour le béton fissuré : 120°C / 72°C						
Déplacement	δ_{N0} [mm/(N/mm ²)]			0,20		
	$\delta_{N\infty}$ [mm/(N/mm ²)]			0,29		

Tableau C12 : Déplacements sous charge de cisaillement

HIS-(R)N		M8	M10	M12	M16	M20
Déplacement	δ_{v0} [mm/kN]	0,06	0,06	0,05	0,04	0,04
	$\delta_{v\infty}$ [mm/kN]	0,09	0,08	0,08	0,06	0,06

Système d'injection Hilti HIT-HY 200-R V3

Performances
Déplacements avec HIS-(R)N

Annexe C10

Traduction anglaise préparée par le DIBt, traduction française par Hilti à partir de la version anglaise.

Tableau C13 : Déplacements sous charge de traction

Tige de traction Hilti HZA / HZA-R	M12	M16	M20	M24	M27	
Plage de températures I pour le béton non fissuré : 40°C / 24°C						
Déplacement	δ_{N0} [mm/(N/mm ²)]	0,03	0,04	0,06	0,07	0,08
	$\delta_{N\infty}$ [mm/(N/mm ²)]	0,06	0,08	0,13	0,13	0,15
Plage de températures II pour le béton non fissuré : 80°C / 50°C						
Déplacement	δ_{N0} [mm/(N/mm ²)]	0,05	0,06	0,08	0,10	0,11
	$\delta_{N\infty}$ [mm/(N/mm ²)]	0,06	0,09	0,14	0,14	0,15
Plage de températures III pour le béton non fissuré : 120°C / 72°C						
Déplacement	δ_{N0} [mm/(N/mm ²)]	0,06	0,08	0,10	0,12	0,14
	$\delta_{N\infty}$ [mm/(N/mm ²)]	0,07	0,09	0,14	0,14	0,16
Plage de températures I pour le béton fissuré : 40°C / 24°C						
Déplacement	δ_{N0} [mm/(N/mm ²)]			0,11		
	$\delta_{N\infty}$ [mm/(N/mm ²)]			0,16		
Plage de températures II pour le béton fissuré : 80°C / 50°C						
Déplacement	δ_{N0} [mm/(N/mm ²)]			0,15		
	$\delta_{N\infty}$ [mm/(N/mm ²)]			0,22		
Plage de températures III pour le béton fissuré : 120°C / 72°C						
Déplacement	δ_{N0} [mm/(N/mm ²)]			0,20		
	$\delta_{N\infty}$ [mm/(N/mm ²)]			0,29		

Tableau C14 : Déplacements sous charge de cisaillement

Tige de traction Hilti HZA / HZA-R	M12	M16	M20	M24	M27	
Déplacement	δ_{v0} [mm/kN]	0,05	0,04	0,04	0,03	0,03
	$\delta_{v\infty}$ [mm/kN]	0,08	0,06	0,06	0,05	0,05

Système d'injection Hilti HIT-HY 200-R V3

Performances
Déplacements avec HZA et HZA-R

Annexe C11

Traduction anglaise préparée par le DIBt, traduction française par Hilti à partir de la version anglaise.

Tableau C15 : Déplacements sous charge de traction

Armatures	$\phi 8$	$\phi 10$	$\phi 12$	$\phi 14$	$\phi 16$	$\phi 20$	$\phi 25$	$\phi 26$	$\phi 28$	$\phi 30$	$\phi 32$
Plage de températures I pour le béton non fissuré : 40°C / 24°C											
Déplacement	δ_{N0} [mm/(N/mm ²)]	0,02	0,03	0,03	0,04	0,04	0,06	0,07	0,08	0,08	0,09
	$\delta_{N\infty}$ [mm/(N/mm ²)]	0,04	0,05	0,06	0,07	0,08	0,10	0,13	0,14	0,15	0,16
Plage de températures II pour le béton non fissuré : 80°C / 50°C											
Déplacement	δ_{N0} [mm/(N/mm ²)]	0,03	0,04	0,05	0,05	0,06	0,08	0,10	0,11	0,11	0,12
	$\delta_{N\infty}$ [mm/(N/mm ²)]	0,04	0,05	0,06	0,07	0,09	0,11	0,14	0,15	0,15	0,17
Plage de températures III pour le béton non fissuré : 120°C / 72°C											
Déplacement	δ_{N0} [mm/(N/mm ²)]	0,04	0,05	0,06	0,07	0,08	0,10	0,12	0,13	0,14	0,15
	$\delta_{N\infty}$ [mm/(N/mm ²)]	0,04	0,05	0,07	0,08	0,09	0,11	0,14	0,15	0,16	0,18
Plage de températures I pour le béton fissuré : 40°C / 24°C											
Déplacement	δ_{N0} [mm/(N/mm ²)]	0,11									
	$\delta_{N\infty}$ [mm/(N/mm ²)]	0,16									
Plage de températures II pour le béton fissuré : 80°C / 50°C											
Déplacement	δ_{N0} [mm/(N/mm ²)]	0,15									
	$\delta_{N\infty}$ [mm/(N/mm ²)]	0,22									
Plage de températures III pour le béton fissuré : 120°C / 72°C											
Déplacement	δ_{N0} [mm/(N/mm ²)]	0,20									
	$\delta_{N\infty}$ [mm/(N/mm ²)]	0,29									

Tableau C16 : Déplacements sous charge de cisaillement

Armatures	$\phi 8$	$\phi 10$	$\phi 12$	$\phi 14$	$\phi 16$	$\phi 20$	$\phi 25$	$\phi 26$	$\phi 28$	$\phi 30$	$\phi 32$
Déplacement	δ_{v0} [mm/kN]	0,06	0,05	0,05	0,04	0,04	0,04	0,03	0,03	0,03	0,03
	$\delta_{v\infty}$ [mm/kN]	0,09	0,08	0,07	0,06	0,06	0,05	0,05	0,05	0,04	0,04

Système d'injection Hilti HIT-HY 200-R V3

Performances
Déplacements avec la barre d'armature

Annexe C12

Traduction anglaise préparée par le DIBt, traduction française par Hilti à partir de la version anglaise.

Tableau C17 : Caractéristiques essentielles pour la tige filetée HAS-U-..., HIT-V-... et AM 8.8 sous charge de traction pour la catégorie de performances sismiques C1

Tige filetée, HAS-U-..., HIT-V-... et AM 8.8	M10	M12	M16	M20	M24	M27	M30
Rupture de l'acier							
HAS-U-5.8 (HDG), HIT-V-5.8(F), tige filetée 5.8 $N_{Rk,s,seis}$ [kN]	29	42	79	123	177	230	281
HAS-U-8.8 (HDG), HIT-V-8.8(F), tige filetée 8.8, AM 8.8 $N_{Rk,s,seis}$ [kN]	46	67	126	196	282	367	449
HAS-U A4, HIT-V-R, tige filetée A4-70 $N_{Rk,s,seis}$ [kN]	41	59	110	172	247	230	281
HAS-U HCR, HIT-V-HCR, tige filetée HCR-80 $N_{Rk,s,seis}$ [kN]	46	67	126	196	247	321	393
Arrachement + rupture par cône de béton							
Résistance à la rupture caractéristique dans du béton fissuré C20/25							
Plage de températures I : 40 °C / 24 °C $\tau_{Rk,seis}$ [N/mm ²]	5,2						7,0
Plage de températures II : 80 °C / 50 °C $\tau_{Rk,seis}$ [N/mm ²]	3,9						5,7
Plage de températures III : 120 °C / 72 °C $\tau_{Rk,seis}$ [N/mm ²]	3,5						4,8

Tableau C18 : Caractéristiques essentielles pour la tige filetée HAS-U-..., HIT-V-... et AM 8.8 sous charge de cisaillement pour la catégorie de performances sismiques C1

Tige filetée, HAS-U-..., HIT-V-..., AM 8.8	M10	M12	M16	M20	M24	M27	M30
Rupture de l'acier sans bras de levier							
HAS-U-5.8 (HDG), HIT-V-5.8(F), tige filetée 5.8 $V_{Rk,s,seis}$ [kN]	11	15	27	43	62	81	98
HAS-U-8.8 (HDG), HIT-V-8.8(F), tige filetée 8.8, AM 8.8 $V_{Rk,s,seis}$ [kN]	16	24	44	69	99	129	157
HAS-U A4, HIT-V-R, tige filetée A4-70 $V_{Rk,s,seis}$ [kN]	14	21	39	60	87	81	98
HAS-U HCR, HIT-V-HCR, tige filetée HCR-80 $V_{Rk,s,seis}$ [kN]	16	24	44	69	87	113	137

Tableau C19 : Déplacements sous charge de traction pour la catégorie de performances sismiques C1

Tige filetée, HAS-U-..., HIT-V-..., AM 8.8	M10	M12	M16	M20	M24	M27	M30
Déplacement ¹⁾ $\delta_{N,seis}$ [mm]	0,8	0,8	0,8	0,8	0,8	0,8	0,8

¹⁾ Déplacement maximum pendant le cycle (événement sismique).

Tableau C20 : Déplacements sous charge de cisaillement pour la catégorie de performances sismiques C1

Tige filetée, HAS-U-..., HIT-V-..., AM 8.8	M10	M12	M16	M20	M24	M27	M30
Déplacement ¹⁾ $\delta_{V,seis}$ [mm]	3,5	3,8	4,4	5,0	5,6	6,1	6,5

¹⁾ Déplacement maximum pendant le cycle (événement sismique).

Système d'injection Hilti HIT-HY 200-R V3

Performances

Caractéristiques essentielles pour la catégorie de performances sismiques C1 et les déplacements.

Annexe C13

Traduction anglaise préparée par le DIBt, traduction française par Hilti à partir de la version anglaise.

Tableau C21 : Caractéristiques essentielles pour la tige de traction Hilti HZA, HZA-R sous charge de traction pour la catégorie de performances sismiques C1

Tige de traction Hilti HZA / HZA-R	M12	M16	M20	M24	M27
Rupture de l'acier					
Résistance caractéristique HZA $N_{Rk,s,seis}$ [kN]	46	86	135	194	253
Résistance caractéristique HZA-R $N_{Rk,s,seis}$ [kN]	62	111	173	248	1)
Coefficient partiel $\gamma_{Ms,N,seis}^{2)}$ [-]			1,4		
Arrachement et rupture par cône de béton combinés					
Diamètre de la barre d'armature d [mm]	12	16	20	25	28
Résistance à la rupture caractéristique dans du béton fissuré C20/25					
Plage de températures I : $40^{\circ}\text{C} / 24^{\circ}\text{C}$ $\tau_{Rk,cr}$ [N/mm ²]			6,1		
Plage de températures II : $80^{\circ}\text{C} / 50^{\circ}\text{C}$ $\tau_{Rk,cr}$ [N/mm ²]			4,8		
Plage de températures III : $120^{\circ}\text{C} / 72^{\circ}\text{C}$ $\tau_{Rk,cr}$ [N/mm ²]			4,4		

1) Aucune performance évaluée.

2) En l'absence de réglementations nationales.

Tableau C22 : Caractéristiques essentielles pour la tige de traction Hilti HZA, HZA-R sous charge de cisaillement pour la catégorie de performances sismiques C1

Tige de traction Hilti HZA / HZA-R	M12	M16	M20	M24	M27
Rupture de l'acier sans bras de levier					
Résistance caractéristique HZA $V_{Rk,s,seis}$ [kN]	16	30	47	68	88
Résistance caractéristique HZA-R $V_{Rk,s,seis}$ [kN]	22	39	60	124	-
Coefficient partiel $\gamma_{Ms,V,seis}^{2)}$ [-]			1,5		

1) Aucune performance évaluée.

2) En l'absence de réglementations nationales.

Tableau C23 : Déplacements sous charge de traction pour la catégorie de performances sismiques C1

Tige de traction Hilti HZA / HZA-R	M12	M16	M20	M24	M27
Déplacement ¹⁾ $\delta_{N,seis}$ [mm]	1,3	1,3	1,3	1,3	1,3

1) Déplacement maximum pendant le cycle (événement sismique).

Tableau C24 : Déplacements sous charge de cisaillement pour la catégorie de performances sismiques C1

Tige de traction Hilti HZA / HZA-R	M12	M16	M20	M24	M27
Déplacement ¹⁾ $\delta_{V,seis}$ [mm]	3,8	4,4	5,0	5,6	6,1

1) Déplacement maximum pendant le cycle (événement sismique).

Système d'injection Hilti HIT-HY 200-R V3

Performances

Caractéristiques essentielles pour la catégorie de performances sismiques C1 et les déplacements.

Annexe C14

Traduction anglaise préparée par le DIBt, traduction française par Hilti à partir de la version anglaise.

Tableau C25 : Caractéristiques essentielles pour les armatures sous charge de traction pour la catégorie de performances sismiques C1

Armatures	φ 10	φ 12	φ 14	φ 16	φ 20	φ 25	φ 26	φ 28	φ 30	φ 32
Rupture de l'acier										
Résistance caractéristique pour Armature B500B selon DIN 488:2009-08										
N _{Rk,seis} [kN]	43	62	85	111	173	270	292	339	388	442
Arrachement et rupture par cône de béton combinés										
Diamètre de la barre d'armature d [mm]	10	12	14	16	20	25	26	28	30	32
Résistance à la rupture caractéristique dans du béton fissuré C20/25										
Plage de températures I : 40°C / 24°C	τ _{Rk,cr} [N/mm ²]	4,4	6,1							
Plage de températures II : 80°C / 50°C	τ _{Rk,cr} [N/mm ²]	3,5	4,8							
Plage de températures III : 120°C / 72°C	τ _{Rk,cr} [N/mm ²]	3	4,4							

Tableau C26 : Caractéristiques essentielles pour les armatures sous charges de cisaillement pour la catégorie de performances sismiques C1

Armatures	φ 10	φ 12	φ 14	φ 16	φ 20	φ 25	φ 26	φ 28	φ 30	φ 32
Rupture de l'acier sans bras de levier										
Résistance caractéristique pour Armature B500B selon DIN 488:2009-08										
V _{Rk,s,seis} [kN]	15	22	29	39	60	95	102	118	135	165

Tableau C27 : Déplacements sous charge de traction pour la catégorie de performances sismiques C1

Armatures	φ 10	φ 12	φ 14	φ 16	φ 20	φ 25	φ 26	φ 28	φ 30	φ 32
Déplacement ¹⁾	δ _{N,seis} [mm]	1,3	1,3	1,3	1,3	1,3	1,3	1,3	1,3	1,3

¹⁾ Déplacement maximum pendant le cycle (événement sismique).

Tableau C28 : Déplacements sous charge de cisaillement pour la catégorie de performances sismiques C1

Armatures	φ 10	φ 12	φ 14	φ 16	φ 20	φ 25	φ 26	φ 28	φ 30	φ 32
Déplacement ¹⁾	δ _{V,seis} [mm]	3,5	3,8	4,1	4,4	5,0	5,8	6,2	6,2	6,8

¹⁾ Déplacement maximum pendant le cycle (événement sismique).

Système d'injection Hilti HIT-HY 200-R V3

Performances

Caractéristiques essentielles pour la catégorie de performances sismiques C1 et les déplacements.

Annexe C15

Traduction anglaise préparée par le DIBt, traduction française par Hilti à partir de la version anglaise.

Tableau C29 : Caractéristiques essentielles pour la tige filetée HAS-U-..., HIT-V-... et AM 8.8 sous charge de traction pour la catégorie de performances sismiques C2

Tige filetée, HAS-U-..., HIT-V-..., AM 8.8	M16	M20	M24	
Rupture de l'acier				
HAS-U 8.8 (HDG), HIT-V (-F) 8.8, AM (HDG) 8.8 Tige filetée standard disponible dans le commerce, en acier électrozingué 8.8	N _{Rk,s,seis} [kN]	126	196	282
Arrachement + rupture par cône de béton				
Résistance à la rupture caractéristique dans du béton fissuré C20/25 dans des trous percés par percussion et des trous percés par percussion avec une mèche creuse Hilti TE-CD ou TE-YD				
Plage de températures I : 40 °C / 24 °C	τ _{Rk,seis} [N/mm ²]	3,9	4,3	3,5
Plage de températures II : 80 °C / 50 °C	τ _{Rk,seis} [N/mm ²]	3,3	3,7	2,9
Plage de températures III : 120 °C / 72 °C	τ _{Rk,seis} [N/mm ²]	2,8	3,2	2,5

Tableau C30 : Caractéristiques essentielles pour la tige filetée HAS-U-..., HIT-V-... et AM 8.8 sous charge de cisaillement pour la catégorie de performances sismiques C2

Tige filetée, HAS-U-..., HIT-V-..., AM 8.8	M16	M20	M24	
Rupture de l'acier sans bras de levier avec le kit de remplissage Hilti				
HAS-U 8.8, HIT-V 8.8, AM 8.8	V _{Rk,s,seis} [kN]	46	77	103
Rupture de l'acier sans bras de levier sans kit de remplissage Hilti				
HAS-U 8.8, HIT-V 8.8, AM 8.8	V _{Rk,s,seis} [kN]	40	71	90
HAS-U 8.8 HDG, HIT-V-F 8.8, AM-HDG 8.8	V _{Rk,s,seis} [kN]	30	46	66
Tige filetée standard disponible dans le commerce, en acier électrozingué 8.8	V _{Rk,s,seis} [kN]	28	50	63

Système d'injection Hilti HIT-HY 200-R V3

Performances

Caractéristiques essentielles pour la catégorie de performances sismiques C2.

Annexe C16

Traduction anglaise préparée par le DIBt, traduction française par Hilti à partir de la version anglaise.

Tableau C31 : Déplacements sous charge de traction pour la catégorie de performances sismiques C2

Tige filetée, HAS-U-..., HIT-V-..., AM 8.8	M16	M20	M24	
Déplacement DLS, HAS-U 8.8 (HDG), HIT-V (-F) 8.8, AM (HDG) 8.8	$\delta_{N,\text{seis}(DLS)}$ [mm]	0,2	0,5	0,4
Déplacement ULS, HAS-U 8.8 (HDG), HIT-V (-F) 8.8, AM (HDG) 8.8	$\delta_{N,\text{seis}(ULS)}$ [mm]	0,6	0,8	1,0

Tableau C32 : Déplacements sous charge de cisaillement pour la catégorie de performances sismiques C2

Tige filetée, HAS-U-..., HIT-V-..., AM 8.8	M16	M20	M24	
Pose avec le kit de remplissage Hilti				
Déplacement DLS, HAS-U 8.8, HIT-V 8.8, AM 8.8	$\delta_{V,\text{seis}(DLS)}$ [mm]	1,2	1,4	1,1
Déplacement ULS, HAS-U 8.8, HIT-V 8.8, AM 8.8	$\delta_{V,\text{seis}(ULS)}$ [mm]	3,2	3,8	2,6
Pose sans le kit de remplissage Hilti				
Déplacement DLS, HAS-U 8.8, HIT-V 8.8, AM 8.8	$\delta_{V,\text{seis}(DLS)}$ [mm]	3,2	2,5	3,5
Déplacement DLS, HAS-U 8.8 HDG, HIT-V-F 8.8, AM HDG 8.8	$\delta_{V,\text{seis}(DLS)}$ [mm]	2,3	3,8	3,7
Déplacement ULS, HAS-U 8.8, HIT-V 8.8, AM 8.8	$\delta_{V,\text{seis}(ULS)}$ [mm]	9,2	7,1	10,2
Déplacement ULS, HAS-U 8.8 HDG, HIT-V-F 8.8, AM HDG 8.8	$\delta_{V,\text{seis}(ULS)}$ [mm]	4,3	9,1	8,4

Système d'injection Hilti HIT-HY 200-R V3

Performances

Déplacements pour la catégorie de performances sismiques C2.

Annexe C17

Deutsches Institut für Bautechnik
Jednostka aprobowująca wyroby budowlane i typy konstrukcji
Ośrodek Badawczy Techniki Budowlanej
Instytucja utworzona przez Rząd Federalny i Rządy Krajów Związkowych

Upoważniona zgodnie z Artykułem 29 Rozporządzenia (Unii Europejskiej) Nr 305/2011 oraz członek EOTA (Europejskiej Organizacji ds. Ocen Technicznych)

Członek EOTA
www.eota.eu

Europejska Ocena Techniczna

**ETA-19/0601
z 10.12.2019r.**

Tłumaczenie angielskie przygotowane przez Deutsches Institut für Bautechnik – Wersja oryginalna w języku niemieckim.

Tłumaczenie z języka angielskiego wykonane na język polski na zlecenie Hilti (Poland) Sp. z o.o.

Część ogólna

Jednostka Oceny Technicznej wydająca niniejszą Europejską Ocenę Techniczną

Nazwa handlowa wyrobu budowlanego

Rodzina produktów, do których należy wybór budowlany

Producent

Zakład produkcyjny

Niniejsza Europejska Ocena Techniczna zawiera

Niniejsza Europejska Ocena Techniczna została wydana zgodnie z Rozporządzeniem (Unii Europejskiej) Nr 305/2011, na podstawie

Deutsches Institut für Bautechnik

System iniekcyjny Hilti HIT-HY 200-R V3

Łączniki wklejane do stosowania w betonie

**Hilti Aktiengesellschaft (Spółka Akcyjna)
Feldkircherstrasse 100
9494 Schaan
KSIĘSTWO LIECHTENSTEIN**

Zakłady produkcyjne Hilti

40 stron w tym 3 Załączniki, które stanowią integralną część niniejszej Oceny.

EAD 330499-01-0601

Deutsches Institut für Bautechnik

Kolonnenstraße 30 B | 10829 Berlin | NIEMCY | Telefon: +49 30 78730-0 | Faks: +49 30 78730-320 | E-mail: dib@dibt.de | www.dibt.de

Z74206.19



Niniejsza Europejska Ocena Techniczna została wydana przez Jednostkę Oceny Technicznej w jej języku oficjalnym. Tłumaczenie niniejszej Europejskiej Oceny Technicznej na inne języki musi w pełni odpowiadać oryginalnie wydanemu dokumentowi i powinno być wyraźnie oznaczone jako takowe.

Udostępnianie niniejszej Europejskiej Oceny Technicznej, włącznie z jej przesyaniem za pomocą metod elektronicznych, jest dopuszczalne jedynie w całości. Kopiowanie części dokumentu może mieć miejsce, jednakże jedynie za pisemną zgodą wydającej go Jednostki Oceny Technicznej. Każde częściowe kopирование musi być wyraźnie oznaczone jako takowe.

Niniejsza Europejska Ocena Techniczna może zostać uchylona przez wydającą ją Jednostkę Oceny Technicznej, w szczególności na podstawie informacji Komisji zgodnie z treścią Artykułu 25 Paragraf 3 Rozporządzenia (Unii Europejskiej) Nr 305/2011.



Część szczegółowa dokumentu

1. Opis techniczny produktu

System iniekcyjny Hilti HIT-HY 200-R V3 stanowi łączniki wklejany składający się z ładunku foliowego z żywicą iniekcyjną Hilti HIT-HY 200-R V3 oraz z elementu stalowego zgodnego z Załącznikiem A.

Przedmiotowy element stalowy jest umieszczany w wywierconym otworze wypełnionym żywicą iniekcyjną oraz zakotwiony poprzez wiązanie chemiczne występujące pomiędzy tym stalowym elementem, żywicą iniekcyjną oraz betonem.

Opis produktu został przedstawiony w Załączniku A.

2. Wyszczególnienie zamierzonego stosowania wyrobu zgodnie ze stosownym Europejskim Dokumentem Oceny

Właściwości użytkowe podane w Rozdziale 3 obowiązują wyłącznie wtedy, gdy kotwa jest stosowana zgodnie ze specyfikacjami i warunkami podanymi w Załączniku B.

Sprawdzenia i metody oceny, na których opiera się niniejsza Europejska Ocena Techniczna uwzględniają założenie, że okres użytkowania kotwy będzie wynosił przynajmniej 50 lat. Wskazania dotyczące okresu użytkowania nie mogą być interpretowane jako gwarancja udzielona przez producenta, a jedynie jako przesłanki mające pomóc w wyborze odpowiedniego produktu spełniającego oczekiwania z punktu widzenia ekonomicznie optymalnego czasu eksploatacji wykonanych robót.

3. Właściwości użytkowe produktu oraz informacje na temat metod użytych do ich oceny

3.1 Wytrzymałość mechaniczna i stateczność (Podstawowe wymaganie 1)

Podstawowa charakterystyka	Właściwości
Nośność charakterystyczna dla statycznego i quasi-statycznego obciążenia rozciągającego	Patrz → Załączniki od C1 do C8
Nośność charakterystyczna dla statycznego i quasi-statycznego obciążenia ścinającego	Patrz → Załączniki C2, C4, C6, C8
Przemieszczenia dla obciążen statycznych i quasi-statycznych	Patrz → Załączniki od C9 do C12
Nośność charakterystyczna dla kategorii właściwości sejsmicznych C1 oraz C2	Patrz → Załączniki od C13 do C17
Trwałość	Patrz → Załącznik B2

3.2 Higiena, zdrowie i środowisko (Podstawowe wymaganie 3)

Zasadnicza charakterystyka	Właściwości użytkowe
Zawartość, emisja oraz/lub uwalnianie substancji niebezpiecznych.	Nie określono właściwości



4 Zastosowany system oceny i weryfikacji stałości właściwości użytkowych (AVCP) oraz informacje nt. podstawy prawnej

Zgodnie z Europejskim Dokumentem Oceny EAD 330499-01-0601 zastosowanie ma europejski akt prawny: [96/582/EC].

Zastosowanie ma system: 1.

5 Szczegóły techniczne konieczne do wdrożenia systemu oceny i weryfikacji stałości właściwości użytkowych (AVCP) uwzględnione w odpowiednim Europejskim Dokumencie Oceny

Szczegóły techniczne konieczne do wdrożenia systemu oceny i weryfikacji stałości właściwości użytkowych (AVCP) są zawarte w planie kontroli przechowywanym w Deutsches Institut für Bautechnik.

Dokument wydany w Berlinie 10 grudnia 2019r. przez Deutsches Institut für Bautechnik.

Inżynier Dyplomowany Andreas Kummerow
Kierownik Działu

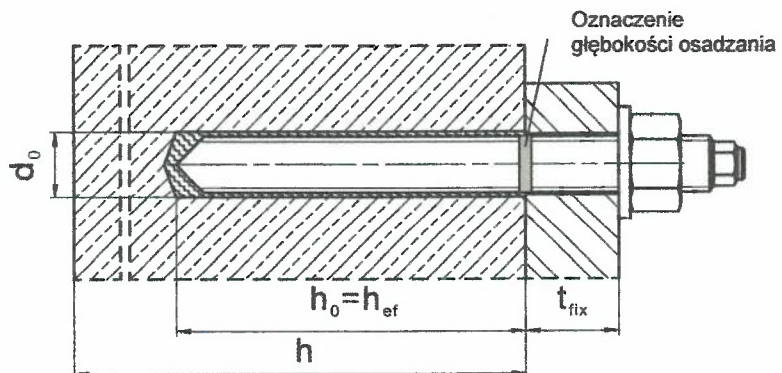
uwierzytelnione przez:
Stiller



Warunki montażu

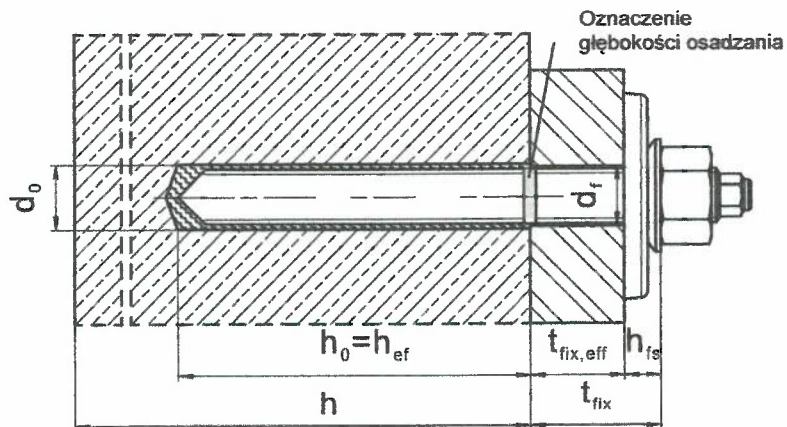
Rysunek A1:

Pręt gwintowany, HAS-U-..., HIT-V-... oraz AM 8.8



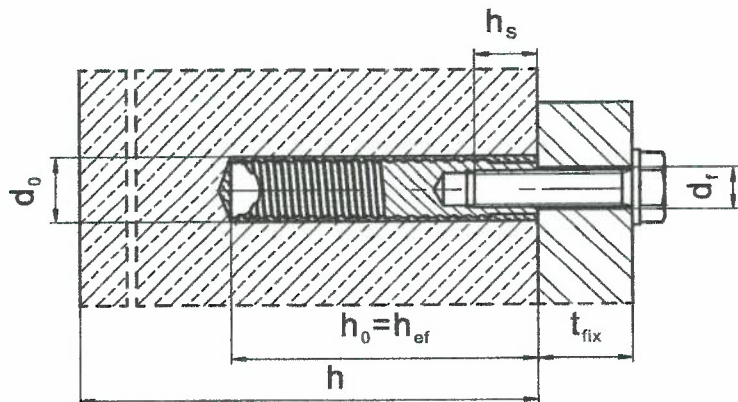
Rysunek A2:

Pręt gwintowany, HAS-U-..., HIT-V-... oraz AM 8.8 z zestawem Hilti do wypełniania



Rysunek A3:

Tuleja z gwintem wewnętrznym HIS-(R)N



System iniecyjny Hilti HIT-HY 200-R V3

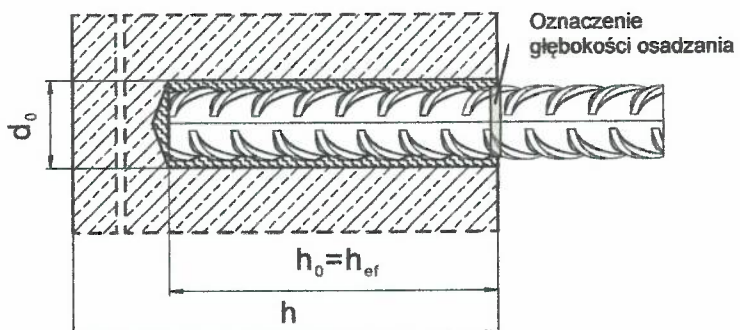
Opis produktu
Warunki montażu



Warunki montażu

Rysunek A4:

Pręt zbrojeniowy



System iniecyjny Hilti HIT-HY 200-R V3

Opis produktu
Warunki montażu



Opis produktu: żywica iniekcyjna oraz elementy stalowe

Żywica iniekcyjna Hilti HIT-HY 200-R V3: system żywicy epoksydowej z wypełniaczem
objętość opakowania: 330 ml oraz 500 ml

Oznaczenie:

HILTI-HIT

Numer produkcyjny oraz linia
produkcyjna

Termin przydatności miesiąc/rok

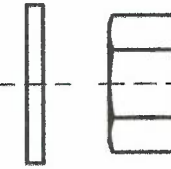


Nazwa produktu: "Hilti HIT-HY 200-R V3"

Mieszacz statyczny Hilti HIT-RE-M

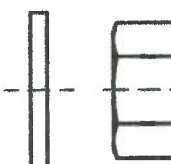
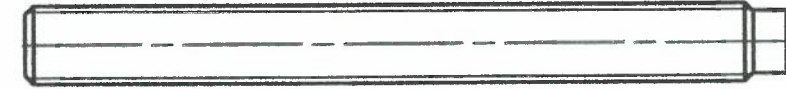


Elementy stalowe



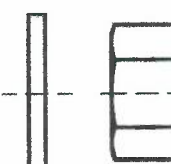
HAS-U...: od M8 do M30

podkładka nakrętka
sześciokątna



HIT-V...: od M8 do M30

podkładka nakrętka
sześciokątna



Pręt gwintowany: od M8 do M30

podkładka nakrętka
sześciokątna

Pręt gwintowany metryczny Hilti AM 8.8 ocynkowany galwanicznie: od M8 do M30, o dł. od 1m do 3m
Pręt metryczny Hilti AM HDG 8.8 ocynkowany ogniwowo: od M8 do M30, o dł. od 1m do 3m

Pręty gwintowane dostępne w handlu:

- Z materiałów oraz o właściwościach mechanicznych zgodnych z Tabelą A1.
- Certyfikat z inspekcji 3.1 zgodny z normą EN 10204:2004. Dokument należy przechowywać.
- Oznaczenie głębokości osadzania.

System iniekcyjny Hilti HIT-HY 200-R V3

Opis produktu

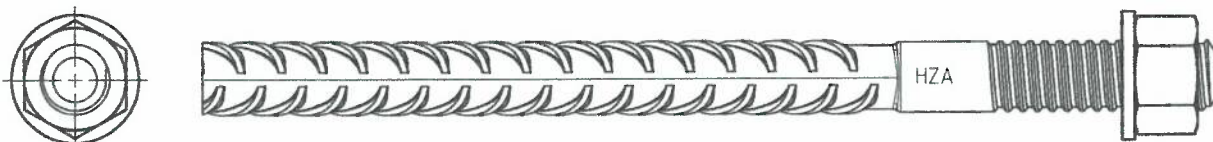
Żywica iniekcyjna / Mieszacz statyczny / Element stalowe.



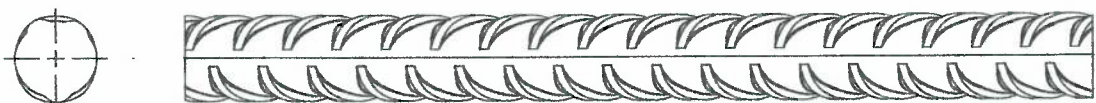
Elementy stalowe



Tuleja z gwintem wewnętrzny: HIS-(R)N od M8 do M20



Kotwa rozciągana Hilti: HZA od M12 do M27 oraz HZA-R od M12 do M24

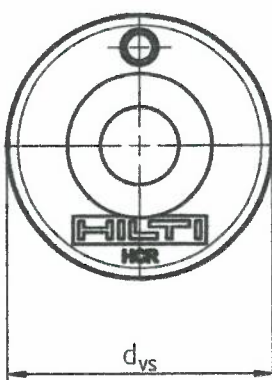


Pręt zbrojeniowy: od ϕ 8 do ϕ 32

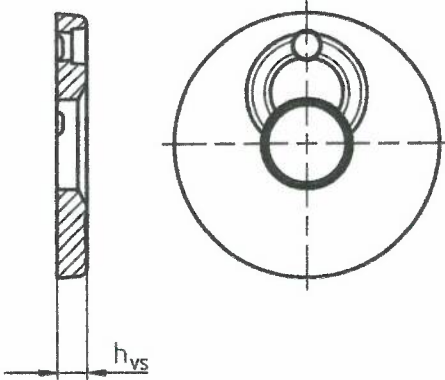
- Materiały oraz właściwości mechaniczne zgodne z Tabelą A1.
- Wymiary zgodne z podanymi w Załączniku B6.

Zestaw Hilti do wypełniania pierścieniowej przestrzeni pomiędzy kotwą i elementem mocowanym

Podkładka uszczelniająca



Podkładka sferyczna



Zestaw Hilti do wypełniania	M16	M20	M24
Średnica podkładki uszczelniającej d _{vs} [mm]	56	60	70
Grubość podkładki uszczelniającej h _{vs} [mm]		6	
Grubość zestawu Hilti do wypełniania h _{HS} [mm]	11	13	15

System iniekcyjny Hilti HIT-HY 200-R V3

Opis produktu

Żywica iniekcyjna / Mieszacz statyczny / Elementy stalowe



Tabela A1: Materiały

Opis elementu	Materiały
Pręty zbrojeniowe	
Pręt zbrojeniowy według normy EN 1992-1-1: 2004 oraz AC:2010, Załącznik C	Pręty proste i pręty rozwijane z kręgów klasy B lub C o f_{yk} oraz k zgodnych z NDP lub NCL normy EN 1992-1-1/NA $f_{uk} = f_{ik} = k \cdot f_{yk}$
Elementy metalowe wykonane ze stali ocynkowanej	
HAS-U-5.8 (HDG), HIT-V-5.8(F), Pręt gwintowany	Klasa wytrzymałości stali 5.8, $f_{uk} = 500 \text{ N/mm}^2$, $f_{yk} = 400 \text{ N/mm}^2$, Wydłużenie przy zerwaniu ($l_0=5d$) > 8% ciągliwa Powlekany warstwą ocynku galwanicznego o grubości $\geq 5 \mu\text{m}$, (F) lub (HDG) ocynkowany ogniwowo, grubość powłoki $\geq 45 \mu\text{m}$
HAS-U-8.8 (HDG), HIT-V-8.8(F), Pręt gwintowany	Klasa wytrzymałości stali 8.8, $f_{uk} = 800 \text{ N/mm}^2$, $f_{yk} = 640 \text{ N/mm}^2$, Wydłużenie przy zerwaniu ($l_0=5d$) > 12% ciągliwa Powlekany warstwą ocynku galwanicznego o grubości $\geq 5 \mu\text{m}$, (F) lub (HDG) ocynkowany ogniwowo, grubość powłoki $\geq 45 \mu\text{m}$
Pręt metryczny Hilti AM 8.8 (HDG)	Klasa wytrzymałości stali 8.8, $f_{uk} = 800 \text{ N/mm}^2$, $f_{yk} = 640 \text{ N/mm}^2$, Wydłużenie przy zerwaniu ($l_0 = 5d$) > 12% ciągliwa, Powlekany warstwą ocynku galwanicznego o grubości $\geq 5 \mu\text{m}$, (F) ocynkowany ogniwowo, grubość powłoki $\geq 45 \mu\text{m}$
Kotwa rozciągana Hilti HZA	Okrągły pręt stalowy częściowo nagwintowany: powlekany warstwą ocynku galwanicznego o grubości $\geq 5 \mu\text{m}$ Pręt zbrojeniowy: pręty klasy B zgodne z NDP lub NCL normy EN 1992-1-1/NA
Tuleja z gwintem wewnętrznym HIS-N	Powlekana warstwą ocynku galwanicznego o grubości $\geq 5 \mu\text{m}$
Podkładka	Powlekana warstwą ocynku galwanicznego o grubości $\geq 5 \mu\text{m}$, ocynkowana ogniwowo, grubość powłoki $\geq 45 \mu\text{m}$
Nakrętka sześciokątna	Klasa wytrzymałości nakrętki sześciokątnej dostosowana do klasy wytrzymałości pręta gwintowanego. Powlekana warstwą ocynku galwanicznego o grubości $\geq 5 \mu\text{m}$, (F) ocynkowana ogniwowo, grubość powłoki $\geq 45 \mu\text{m}$
Zestaw Hilti do wypełniania (F)	Podkładka wypełniająca: Powlekana warstwą ocynku galwanicznego o grubości $\geq 5 \mu\text{m}$, (F) ocynkowany ogniwowo, grubość powłoki $\geq 45 \mu\text{m}$ Podkładka sferyczna: Powlekana warstwą ocynku galwanicznego o grubości $\geq 5 \mu\text{m}$, (F) ocynkowany ogniwowo, grubość powłoki $\geq 45 \mu\text{m}$ Nakrętka kontrująca: Powlekana warstwą ocynku galwanicznego o grubości $\geq 5 \mu\text{m}$, (F) ocynkowany ogniwowo, grubość powłoki $\geq 45 \mu\text{m}$

System iniecyjny Hilti HIT-HY 200-R V3

Opis produktu
Materiały



Tabela A1: ciąg dalszy**Elementy metalowe wykonane ze stali nierdzewnej****klasa odporności na korozję III według normy EN 1993-1-4:2006 + A1:2015-06**

HAS-U A4, HIT-V-R	Dla $\leq M24$: klasa wytrzymałości stali 70, $f_{uk} = 700 \text{ N/mm}^2$, $f_{yk} = 450 \text{ N/mm}^2$; Dla $> M24$: klasa wytrzymałości stali 50, $f_{uk} = 500 \text{ N/mm}^2$, $f_{yk} = 210 \text{ N/mm}^2$; Wydłużenie przy zerwaniu ($l_0=5d$) $> 8\%$ ciągliwa
Pręt gwintowany	Dla $\leq M24$: klasa wytrzymałości stali 70, $f_{uk} = 700 \text{ N/mm}^2$, $f_{yk} = 450 \text{ N/mm}^2$; Dla $> M24$: klasa wytrzymałości stali 50, $f_{uk} = 500 \text{ N/mm}^2$, $f_{yk} = 210 \text{ N/mm}^2$; Wydłużenie przy zerwaniu ($l_0=5d$) $> 8\%$ ciągliwa Stal nierdzewna 1.4401, 1.4404, 1.4578, 1.4571, 1.4439, 1.4362 według normy EN 10088-1:2014
Kotwa rozciągana Hilti HZA-R	Okrągły pręt stalowy częściowo nagwintowany: Stal nierdzewna 1.4404, 1.4362, 1.4571 EN 10088-1:2014 Pręt zbrojeniowy: pręty klasy B zgodne z NDP lub NCL normy EN 1992-1-1/NA
Tuleja z gwintem wewnętrzny HIS-RN	Stal nierdzewna 1.4401, 1.4571 według normy EN 10088-1:2014
Podkładka	Stal nierdzewna 1.4401, 1.4404, 1.4578, 1.4571, 1.4439, 1.4362 według normy EN 10088-1:2014
Nakrętka sześciokątna	Dla $\leq M24$: klasa wytrzymałości stali 70, $f_{uk} = 700 \text{ N/mm}^2$, $f_{yk} = 450 \text{ N/mm}^2$; Dla $> M24$: klasa wytrzymałości stali 50, $f_{uk} = 500 \text{ N/mm}^2$, $f_{yk} = 210 \text{ N/mm}^2$; Stal nierdzewna 1.4401, 1.4404, 1.4578, 1.4571, 1.4439, 1.4362 według normy EN 10088-1:2014

Elementy metalowe wykonane ze stali o wysokiej odporności na korozję**klasa odporności na korozję V według normy EN 1993-1-4:2006 + A1:2015-06**

HAS-U HCR, HIT-V-HCR	Dla $\leq M20$: $f_{uk} = 800 \text{ N/mm}^2$, $f_{yk} = 640 \text{ N/mm}^2$, Dla $> M20$: $f_{uk} = 700 \text{ N/mm}^2$, $f_{yk} = 400 \text{ N/mm}^2$, Wydłużenie przy zerwaniu ($l_0=5d$) $> 8\%$ ciągliwa
Pręt gwintowany	Dla $\leq M20$: $f_{uk} = 800 \text{ N/mm}^2$, $f_{yk} = 640 \text{ N/mm}^2$, Dla $> M20$: $f_{uk} = 700 \text{ N/mm}^2$, $f_{yk} = 400 \text{ N/mm}^2$, Wydłużenie przy zerwaniu ($l_0=5d$) $> 8\%$ ciągliwa Stal o wysokiej odporności na korozję 1.4529, 1.4565 według normy EN 10088-1:2014
Podkładka	Stal o wysokiej odporności na korozję 1.4529, 1.4565 według normy EN 10088-1:2014
Nakrętka sześciokątna	Dla $\leq M20$: $f_{uk} = 800 \text{ N/mm}^2$, $f_{yk} = 640 \text{ N/mm}^2$, Dla $> M20$: $f_{uk} = 700 \text{ N/mm}^2$, $f_{yk} = 400 \text{ N/mm}^2$, Stal o wysokiej odporności na korozję 1.4529, 1.4565 według normy EN 10088-1:2014

System iniekcyjny Hilti HIT-HY 200-R V3**Opis produktu**
Materiały

Szczegóły techniczne zamierzonego stosowania

Zakotwienia poddawane:

- Obciążeniom statycznym i quasi-statycznym.
- Obciążeniom kategorii właściwości sejsmicznych C1 oraz C2 (patrz → Tabela B1).

Materiał podłoża:

- Zagęszczony zbrojony lub niezbrojony beton o standardowym ciężarze bez włókien zgodny z normą EN 206-1:2013 + A1:2016.
- Klasa wytrzymałości betonu od C20/25 do C50/60 zgodne z normą EN 206-1:2013 + A1:2016.
- Beton spękanym i beton niespękanym.

Temperatura wewnętrz podłoża:

- w trakcie montażu
od -10 °C do +40 °C dla znormalizowanej zmienności temperatur po przeprowadzeniu montażu
- w trakcie eksploatacji

Zakres temperatur I: od -40 °C do +40 °C

(maksymalna dopuszczalna temperatura przy oddziaływaniu długotrwałym +24 °C
i maksymalna dopuszczalna temperatura przy oddziaływaniu krótkotrwałym +40 °C)

Zakres temperatur II: od -40 °C do +80 °C

(maksymalna dopuszczalna temperatura przy oddziaływaniu długotrwałym +50 °C
i maksymalna dopuszczalna temperatura przy oddziaływaniu krótkotrwałym +80 °C)

Zakres temperatur III: od -40 °C do +120 °C

(maksymalna dopuszczalna temperatura przy oddziaływaniu długotrwałym +72 °C
i maksymalna dopuszczalna temperatura przy oddziaływaniu krótkotrwałym +120°C)

Tabela B1: Specyfikacje zamierzonego stosowania

Elementy	HIT-HY 200-RV3 z...			
	HAS-U-..., HIT-V-..., AM 8.8 	Pręt zbrojeniowy 	HZA-(R) 	HIS-(R)N
Wiercenie udarowe przy użyciu wiertła rurowego TE-CD lub TE-YD 	✓	✓	✓	✓
Wiercenie udarowe 	✓	✓	✓	✓
Wiercenie diamentowe z narzędziem do szorstkowania TE-YRT 	✓	✓	✓	✓
Obciążenia statyczne i quasi-statyczne w betonie spękanym i w betonie niespękanym	od M8 do M30	od φ 8 do φ 32	od M12 do M27	od M8 do M20
Kategoria właściwości sejsmicznych C1	od M10 do M30	od φ 10 do φ 32	od M12 do M27	-
Kategoria właściwości sejsmicznych C2	od M16 do M24, HAS-U 8.8, HIT-V 8.8, AM 8.8, HAS-U 8.8 HDG, HIT-V-F 8.8, AM HDG 8.8 Pręty dostępne w handlu (wyłącznie ocynkowane galwanicznie)	-	-	-

System iniekcyjny Hilti HIT-HY 200-R V3

Zamierzone stosowanie Specyfikacje



Warunki stosowania (warunki środowiskowe):

- Konstrukcje poddane oddziaływaniu warunków suchych wewnętrz budowli (wszystkie materiały).
- Dla wszelkich pozostałych warunków zgodnie z normą EN 1993-1-4:2006 + A1:2015-06, odpowiednio dla klas odporności na korozję wyszczególnionych w Tabeli A1 Załącznika A6 Tabela A1 (stale nierdzewne).

Projektowanie:

- Zakotwienia muszą być zaprojektowane pod nadzorem inżyniera doświadczonego w dziedzinie zakotwień i robót betonowych.
- Należy wykonać możliwe do weryfikacji obliczenia oraz opracować rysunki, biorąc pod uwagę obciążenia, które mają być przeniesione. Położenie kotew musi być określone na rysunkach projektowych (np. poprzez podanie położenia kotwy względem zbrojenia lub względem podpór, itd).
- Zakotwienia muszą być zaprojektowane zgodnie z: normą EN 1992-4:2018 oraz Raportem Technicznym EOTA TR 055.

Montaż:

- Kategoria użytkowania: w betonie suchym lub wilgotnym (niedopuszczalne w otworach zalanych wodą) dla wszystkich technik wiercenia otworów.
- Techniki wiercenia otworów:
 - wiercenie udarowe,
 - wiercenie udarowe przy użyciu wiertel rurowych Hilti TE-CD, TE-YD,
 - wiercenie techniką diamentową rdzeniową z szorstgowaniem powierzchni otworu przy użyciu narzędzia do szorstgowania Hilti TE-YRT.
- Kierunek montażu D3: dopuszczalny montaż w dół, poziomo oraz w górę (np. nad głową) dla wszystkich elementów stalowych.
- Montaż kotew i prętów może być przeprowadzony wyłącznie przez odpowiednio wykwalifikowany personel oraz pod nadzorem osoby odpowiedzialnej za zagadnienia techniczne budowy.

System iniekcyjny Hilti HIT-HY 200-R V3

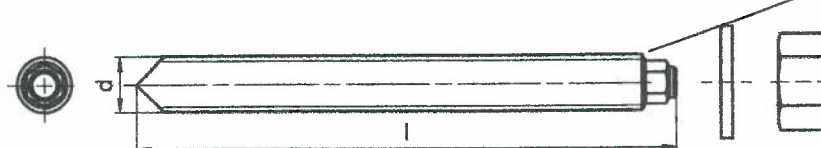
Zamierzone stosowanie
Specyfikacje



Tabela B2: Parametry montażowe prętów gwintowanych, HAS-U-..., HIT-V-... oraz AM 8.8

Pręt gwintowany, HAS-U- ..., HIT-V-..., AM 8.8	M8	M10	M12	M16	M20	M24	M27	M30	
Średnica elementu d [mm]	8	10	12	16	20	24	27	30	
Nominalna średnica wiertła d ₀ [mm]	10	12	14	18	22	28	30	35	
Czynna głębokość osadzania i głębokość wierconego otworu h _{ef} = h ₀ [mm]	od 60 do 160	od 60 do 200	od 70 do 240	od 80 do 320	od 90 do 400	od 96 do 480	od 108 do 540	od 120 do 600	
Maksymalna średnica otworu przelotowego w elemencie mocowanym d _f [mm]	9	12	14	18	22	26	30	33	
Grubość Zestawu Hilti do wypełniania h _{fs} [mm]	-	-	-	11	13	15	-	-	
Czynna grubość elementu mocowanego z Zestawem Hilti t _{fix,eff} [mm]	$t_{fix,eff} = t_{fix} - h_{fs}$								
Minimalna grubość elementu betonowego h _{min} [mm]	$h_{ef} + 30 \geq 100 \text{ mm}$			$h_{ef} + 2 \cdot d_0$					
Maksymalny moment dokręcający T _{max} [Nm]	10	20	40	80	150	200	270	300	
Minimalny rozstaw kotew s _{min} [mm]	40	50	60	75	90	115	120	140	
Minimalna odległość kotew od krawędzi podłoża c _{min} [mm]	40	45	45	50	55	60	75	80	

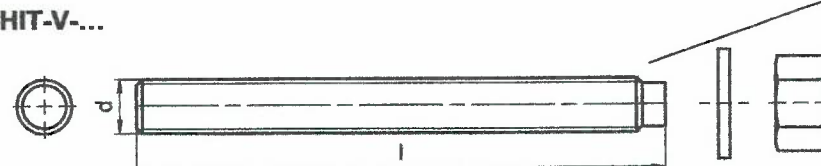
HAS-U-...



Oznaczenie:

Numer odpowiadający klasie stali oraz litera oznaczająca długość:
np. 8L

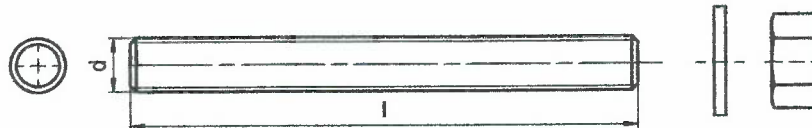
HIT-V-...



Oznaczenie:

5.8 - l = HIT-V-5.8 M...x l
 5.8F - l = HIT-V-5.8F M...x l
 8.8 - l = HIT-V-8.8 M...x l
 8.8F - l = HIT-V-8.8F M...x l
 R - l = HIT-V-R M...x l
 HCR - l = HIT-V-HCR M...x l

Pręt metryczny Hilti AM (HDG) 8.8



System iniekcyjny Hilti HIT-HY 200-R V3

Zamierzzone stosowanie

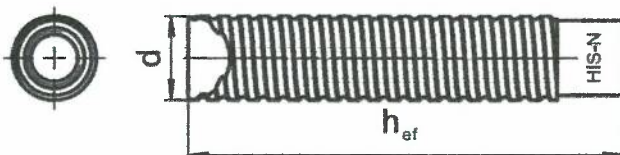
Parametry montażowe prętów gwintowanych, HAS-U-..., HIT-V-... oraz AM 8.8



Tabela B3: Parametry montażowe dla tulei z gwintem wewnętrznym HIS-(R)N

Tuleja z gwintem wewnętrznym HIS-(R)N...	M8	M10	M12	M16	M20
Zewnętrzna średnica tulei d [mm]	12,5	16,5	20,5	25,4	27,6
Nominalna średnica wiertła d ₀ [mm]	14	18	22	28	32
Czynna głębokość osadzania oraz głębokość wierconego otworu h _{ef} = h ₀ [mm]	90	110	125	170	205
Maksymalna średnica otworu przelotowego w elemencie mocowanym d _f [mm]	9	12	14	18	22
Minimalna grubość elementu betonowego h _{min} [mm]	120	150	170	230	270
Maksymalny moment dokręcający T _{max} [Nm]	10	20	40	80	150
Długość włączenia gwintu min.-maks. h _s [mm]	8-20	10-25	12-30	16-40	20-50
Minimalny rozstaw kotew s _{min} [mm]	60	75	90	115	130
Minimalna odległość tulei od krawędzi podłoża c _{min} [mm]	40	45	55	65	90

Tuleja z gwintem wewnętrznym HIS-(R)N...



Oznaczenie:

Znak identyfikacyjny - HILTI oraz
wyłoczenie "HIS-N" (dla stali węglowej)
wyłoczenie "HIS-RN" (dla stali nierdzewnej)

System iniekcyjny Hilti HIT-HY 200-R V3

Zamierzzone stosowanie

Parametry montażowe dla tulei z gwintem wewnętrznym HIS-(R)N



Tabela B4: Parametry montażowe kotwy rozciąganej Hilti HZA-R

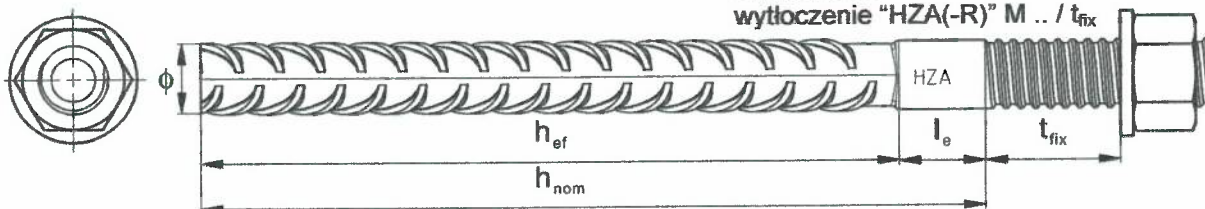
Kotwa rozciągana Hilti HZA-R ...	M12	M16	M20	M24
Średnica pręta zbrojeniowego ϕ [mm]	12	16	20	25
Nominalna głębokość osadzania oraz głębokość wierconego otworu $h_{\text{nom}} = h_0$ [mm]	od 170 do 240	od 180 do 320	od 190 do 400	od 200 do 500
Czynna głębokość osadzania ($h_{\text{ef}} = h_{\text{nom}} - l_e$) h_{ef} [mm]		$h_{\text{nom}} - 100$		
Długość gładkiej części trzpienia kotwy l_e [mm]		100		
Nominalna średnica wiertła d_0 [mm]	16	20	25	32
Maksymalna średnica otworu przelotowego w elemencie mocowanym ¹⁾ d_f [mm]	14	18	22	26
Maksymalny moment dokręcający T_{max} [Nm]	40	80	150	200
Minimalna grubość elementu betonowego h_{min} [mm]		$h_{\text{nom}} + 2 \cdot d_0$		
Minimalny rozstaw kotew s_{min} [mm]	65	80	100	130
Minimalna odległość od krawędzi podłoża c_{min} [mm]	45	50	55	60

Tabela B5: Parametry montażowe kotwy rozciąganej Hilti HZA

Kotwa rozciągana Hilti HZA...	M12	M16	M20	M24	M27
Średnica pręta zbrojeniowego ϕ [mm]	12	16	20	25	28
Nominalna głębokość osadzania oraz głębokość wierconego otworu $h_{\text{nom}} = h_0$ [mm]	od 90 do 240	od 100 do 320	od 110 do 400	od 120 do 500	od 140 do 560
Czynna głębokość osadzania ($h_{\text{ef}} = h_{\text{nom}} - l_e$) h_{ef} [mm]		$h_{\text{nom}} - 20$			
Długość gładkiej części trzpienia kotwy l_e [mm]		20			
Nominalna średnica wiertła d_0 [mm]	16	20	25	32	35
Maksymalna średnica otworu przelotowego w elemencie mocowanym ¹⁾ d_f [mm]	14	18	22	26	30
Maksymalny moment dokręcający T_{max} [Nm]	40	80	150	200	270
Minimalna grubość elementu betonowego h_{min} [mm]		$h_{\text{nom}} + 2 \cdot d_0$			
Minimalny rozstaw kotew s_{min} [mm]	65	80	100	130	140
Minimalna odległość od krawędzi podłoża c_{min} [mm]	45	50	55	60	75

Oznaczenie:

wytłoczenie "HZA(-R)" M .. / t_{fix}



System iniekcyjny Hilti HIT-HY 200-R V3

Zamierzzone stosowanie

Parametry montażowe kotwy rozciąganej Hilti HZA-(R)

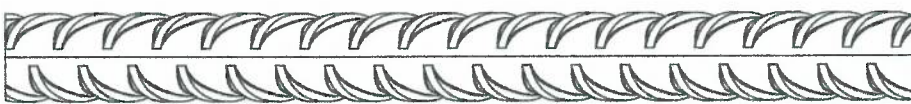


Tabela B6: Parametry montażowe dla prętów zbrojeniowych

Pręt zbrojeniowy	$\phi 8$	$\phi 10$	$\phi 12$	$\phi 14$	$\phi 16$	$\phi 20$	$\phi 25$	$\phi 26$	$\phi 28$	$\phi 30$	$\phi 32$
Średnica ϕ [mm]	8	10	12	14	16	20	25	26	28	30	32
Czynna głębokość osadzania oraz głębokość $h_{ef} = h_0$ [mm] wierconego otworu	od 60 do 160	od 60 do 200	od 70 do 240	od 75 do 280	od 80 do 320	od 90 do 400	od 100 do 500	od 104 do 520	od 112 do 560	od 120 do 600	od 128 do 640
Nominalna średnica wiertła d_0 [mm]	10 / 12 ¹⁾	12 / 14 ¹⁾	14 ¹⁾	16 ¹⁾	18	20	25	32	32	35	37
Minimalna grubość elementu betonowego h_{min} [mm]	$h_{ef} + 30 \geq 100 \text{ mm}$										
Minimalny rozstaw prętów s_{min} [mm]	40	50	60	70	80	100	125	130	140	150	160
Minimalna odległość od krawędzi podłoża c_{min} [mm]	40	45	45	50	50	65	70	75	75	80	80

¹⁾ Dopuszczalne jest zastosowanie każdej z dwóch podanych wartości.

Pręt zbrojeniowy



Dla pręta zbrojeniowego

- Minimalna wartość odnośnej powierzchni żebra $f_{R,min}$ zgodna z normą EN 1992-1-1:2004 + AC:2010.
- Wysokość żebra pręta zbrojeniowego h_{rib} musi zawierać się w zakresie $0,05 \cdot \phi \leq h_{rib} \leq 0,07 \cdot \phi$ (ϕ : nominalna średnica pręta zbrojeniowego; h_{rib} : wysokość żebra pręta zbrojeniowego).

System iniekcyjny Hilti HIT-HY 200-R V3

Zamierzone stosowanie

Parametry montażowe dla prętów zbrojeniowych



**Tabela B7: Maksymalny czas roboczy oraz minimalny czas utwardzania żywicy
Hilti HY 200-R V3**

Temperatura materiału podłoża T	Maksymalny czas roboczy t_{work}	Minimalny czas utwardzania t_{cure}
od -10 °C do -5 °C	3 godziny	20 godzin
> -5 °C do 0 °C	1,5 godziny	8 godzin
> 0 °C do 5 °C	45 minut	4 godziny
> 5 °C do 10 °C	30 minut	2,5 godziny
>10 °C do 20 °C	15 minut	1,5 godziny
>20 °C do 30 °C	9 minut	1 godzina
> 30 °C do 40 °C	6 minut	1 godzina

System iniecyjny Hilti HIT-HY 200-R V3

Zamierzone stosowanie

Maksymalny czas roboczy oraz minimalny czas utwardzania żywicy



Tabela B8: Parametry narzędzi do czyszczenia otworu i osadzania elementów

Elementy				Wiercenie i czyszczenie otworów				Montaż	
Pręt gwintowany HAS-U-..., HIT-V-..., AM 8.8	HIS-(R)N	Pręt zbrojeniowy	HZA(-R)	Wiercenie udarowe	Wiertło rurowe	Wiercenie diamentowe rdzeniowe	Narzędzie do szorstkania	Szczotka stalowa	Końcówka iniekcyjna
rozmiar	rozmiar	rozmiar	rozmiar	d ₀ [mm]	d ₀ [mm]	d ₀ [mm]	d ₀ [mm]	HIT-RB	HIT-SZ
M8	-	φ8	-	10	-	-	-	10	-
M10	-	φ8 / φ10	-	12	12 ¹⁾	-	-	12	12
M12	M8	φ10 / φ12	-	14	14 ¹⁾	-	-	14	14
-	-	φ12	M12	16	16	-	-	16	16
M16	M10	φ14	-	18	18	18	18	18	18
-	-	φ16	M16	20	20	20	20	20	20
M20	M12	-	-	22	22	22	22	22	22
-	-	φ20	M20	25	25	25	25	25	25
M24	M16	-	-	28	28	28	28	28	28
M27	-	-	-	30	-	-	-	30	30
-	M20	φ25 / φ26	M24	32	32	32	32	32	32
M30	-	φ28	M27	35	35	35	35	35	35
-	-	φ30	-	37	-	-	-	37	37
-	-	φ32	-	40	-	-	-	40	40

¹⁾ Do stosowania w połączeniu z odkurzacem Hilti o wydajności ssania ≥ 61 l/s (VC 20/40 –Y wyłącznie w trybie przewodowym).

Metody czyszczenia otworów

Czyszczenie ręczne (MC):

Ręczna pompka Hilti do wydmuchiwania zwierciń z wywierconych otworów o średnicach d₀ ≤ 20 mm oraz o głębokościach otworów h₀ ≤ 10·d.



Czyszczenie przy użyciu sprężonego powietrza (CAC):

Dysza do sprężonego powietrza z otworem wylotowym o średnicy co najmniej 3,5 mm.



Czyszczenie automatyczne (AC):

Czyszczenie odbywa się w trakcie wiercenia otworu przy użyciu systemu do wiercenia Hilti TE-CD oraz TE-YD wyposażonego w odkurzacz.



System iniekcyjny Hilti HIT-HY 200-R V3

Zamierzone stosowanie

Parametry narzędzi do czyszczenia otworów i osadzania elementów
Metody czyszczenia otworów



Tabela B9: Parametry dla stosowania narzędzia do szorstkowania Hilti TE-YRT

Elementy związane		Narzędzie do szorstkowania TE-YRT	Wskaźnik zużycia narzędzia RTG...
Wiercenie diamentowe rdzeniowe		d ₀ [mm]	rozmiar
nominalna	pomierzona	d ₀ [mm]	
18	od 17,9 do 18,2	18	18
20	od 19,9 do 20,2	20	20
22	od 21,9 do 22,2	22	22
25	od 24,9 do 25,2	25	25
28	od 27,9 do 28,2	28	28
30	od 29,9 do 30,2	30	30
32	od 31,9 do 32,2	32	32
35	od 34,9 do 35,2	35	35

Tabela B10: Parametry montażowe dla stosowania narzędzia do szorstkowania Hilti TE-YRT

	Czas szorstkowania t _{szorstkowania}	Minimumalny czas wydmuchiwania t _{wydmuchiwania}
h _{ef} [mm]	t _{szorstkowania} [sek.] = h _{ef} [mm] / 10	t _{wydmuch.} [sek.] = t _{szorstkow.} [sek.] + 20
od 0 do 100	10	30
od 101 do 200	20	40
od 201 do 300	30	50
od 301 do 400	40	60
od 401 do 500	50	70
od 501 do 600	60	80

Narzędzie Hilti TE-YRT do szorstkowania oraz wskaźnik jego zużycia RTG

Narzędzie do szorstkowania Hilti TE-YRT



Wskaźnik zużycia narzędzia RTG

**System iniekcyjny Hilti HIT-HY 200-R V3****Zamierzone stosowanie**

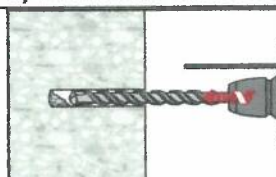
Parametry do stosowania narzędzia do szorstkowania Hilti TE-YRT



Instrukcja montażu

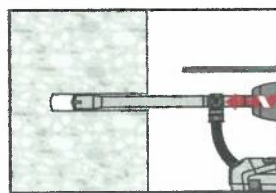
Wiercenie otworów

a) Wiercenie udarowe



Należy wywiercić otwór o wymaganej głębokości zakotwienia przy pomocy wiertarki udarowej z włączoną opcją pracy udarowo-obrotowej. Wiertarka musi być wyposażona w odpowiednio dobrane pod względem rozmiaru wiertło z końcówką z węglików spiekanych.

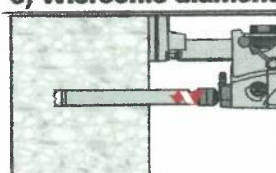
b) Wiercenie udarowe przy użyciu wiertła rurowego Hilti



Należy wywiercić otwór o wymaganej głębokości zakotwienia za pomocą odpowiednio dobranego pod względem rozmiaru wiertła drążonego Hilti TE-CD lub TE-YD podłączonego do odkurzacza Hilti VC 20/40 (-Y) (wydajność ssania $\geq 57 \text{ l/s}$) z aktywną funkcją automatycznego czyszczenia filtra. Ten system wykonywania otworów pozwala na usuwanie zwierciń i czyszczenie otworów podczas ich wiercenia, pod warunkiem jego zastosowania zgodnie z instrukcją użytkowania. W przypadku stosowania wiertła TE-CD w rozmiarze 12 oraz 14 należy zapoznać się z Tabelą B8.

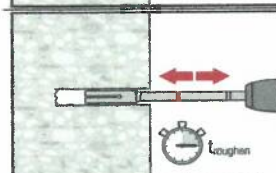
Po zakotwczaniu wiercenia należy przejść do kroku "przygotowanie iniekcji żywicy" opisanego w niniejszej instrukcji montażu.

c) Wiercenie diamentowe rdzeniowe z szorstkowaniem narzędziem do szorstkowania Hilti TE-YRT:



Wiercenie diamentowe rdzeniowe jest dopuszczalne pod warunkiem zastosowania odpowiedniej wiertnicy diamentowej rdzeniowej oraz dopasowanych do niej wiertel rdzeniowych.

Dla zastosowań w połączaniu z narzędziem do szorstkowania otworów Hilti TE-YRT należy zapoznać się z parametrami zamieszczonymi w Tabeli B10.



Przed rozpoczęciem szorstkowania z wywierconego otworu należy usunąć wodę. Należy sprawdzić możliwość zastosowania narzędzia do szorstkowania otworu przy użyciu wskaźnika zużycia RTG.

Następnie należy szorstkować wywiercony otwór na całą jego długość do wymaganej h_{ef} .

Czyszczenie wywierconego otworu

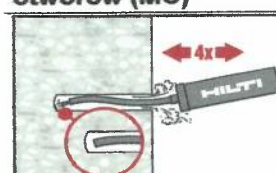
Tuż przed osadzeniem kotwy otwór musi zostać oczyszczony z kurzu i gruzu.

Niewłaściwe czyszczenie otworu = pogorszenie nośności połączenia.

Ręczne czyszczenie otworów (MC)

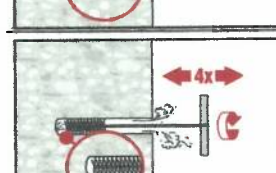
Dopuszczalne wyłącznie dla betonu niespękanego.

Dla wywierconych otworów o średnicach $d_0 \leq 20 \text{ mm}$ oraz o głębokościach $h_0 \leq 10 \cdot d$.

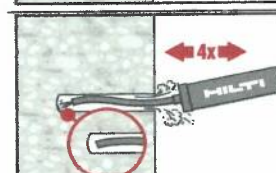


Do wydmuchania otworów o średnicach $d_0 \leq 20 \text{ mm}$ i głębokościach otworów $h_0 \leq 10 \cdot d$ można zastosować ręczną pompkę do zwierciń firmy Hilti.

Otwór należy wydmuchać przynajmniej 4-krotnie, zaczynając od jego dna, aż do momentu, kiedy strumień powietrza wylatujący z otworu będzie pozbawiony widocznego pyłu.



Następnie należy 4-krotnie wyszczotkować otwór z użyciem szczotki o określonym rozmiarze (patrz → Tabela B8) poprzez wprowadzenie ruchem okrężnym stalowej szczotki Hilti HIT-RB do dna otworu (jeśli to konieczne, wyposażonej w przedłużkę) i wyciągnięcie jej. Wsuwanie szczotki do otworu musi wywoływać naturalny opór (\varnothing szczotki $\geq \varnothing$ wywierconego otworu) - jeśli tak się nie dzieje, szczotka jest zbyt mała i konieczne jest zastąpienie jej szczotką o właściwej średnicy.



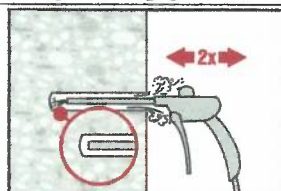
Następnie należy ponownie przynajmniej 4-krotnie wydmuchać otwór przy użyciu ręcznej pompki aż do momentu, kiedy strumień powietrza wylatujący z otworu będzie pozbawiony widocznego pyłu.

System iniecyjny Hilti HIT-HY 200-R V3

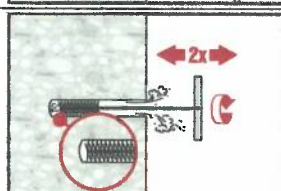
Zamierzone stosowanie Instrukcja montażu elementów



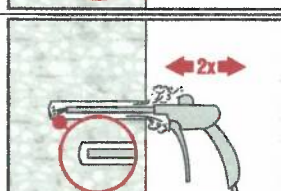
Czyszczenie przy użyciu sprężonego powietrza (CAC) dla wszystkich średnic wierconych otworów d_0 oraz wszystkich głębokości wierconych otworów h_0



Otwór należy wydmuchać 2-krotnie, zaczynając od jego dna, (jeśli to konieczne, z użyciem przedłużki dyszy) na całej długości z użyciem niezaolejonego sprężonego powietrza (minimalne ciśnienie 6 bar przy wydajności $6 \text{ m}^3/\text{h}$), aż do momentu, kiedy strumień powietrza wylatujący z otworu będzie pozbawiony widocznego pyłu. W przypadku otworów o średnicy $\geq 32 \text{ mm}$ należy zastosować kompresor o wydajności strumienia powietrza przynajmniej $140 \text{ m}^3/\text{godzinę}$.

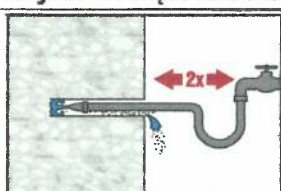


Następnie należy 2-krotnie wyszczotkować otwór z użyciem szczotki o określonym rozmiarze (patrz → Tabela B8) poprzez wprowadzenie ruchem okrężnym stalowej szczotki Hilti HIT-RB do dna otworu (jeśli to konieczne, wyposażonej w przedłużkę) i wyciągnięcie jej. Wsuwanie szczotki do otworu musi wywoływać naturalny opór (\varnothing szczotki $\geq \varnothing$ wierconego otworu - jeśli tak się nie dzieje, szczotka jest zbyt mała i konieczne jest zastąpienie jej szczotką o właściwej średnicy).

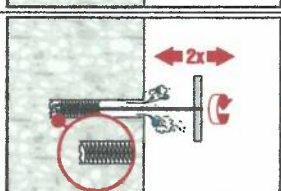


Następnie należy ponownie 2-krotne wydmuchać otwór sprężonym powietrzem aż do momentu, kiedy strumień powietrza wylatującego z otworu będzie pozbawiony widocznego pyłu.

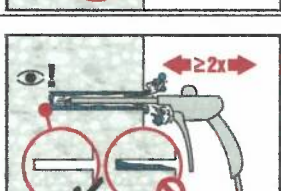
Czyszczenie otworów wywierconych techniką diamentową rdzeniową z szorstkowaniem otworu przy użyciu narzędzia do szorstkowania otworu Hilti TE-YRT.



Należy dwukrotnie wypłukać wywiercony otwór poprzez wprowadzenie do niego, aż do dna, węza z wodą (ciśnienie z instalacji wodociągowej) i płukanie aż do momentu, kiedy woda wypływająca z otworu będzie czysta.



Następnie należy dwukrotnie wyszczotkować otwór z użyciem szczotki o określonym rozmiarze (patrz → Tabela B8) poprzez wprowadzenie ruchem okrężnym stalowej szczotki Hilti HIT-RB do dna otworu (jeśli to konieczne, wyposażonej w przedłużkę) i wyciągnięcie jej. Wsuwanie szczotki do otworu musi wywoływać naturalny opór (\varnothing szczotki $\geq \varnothing$ wierconego otworu) - jeśli tak się nie dzieje, szczotka jest zbyt mała i konieczne jest jej zastąpienie szczotką o właściwej średnicy.



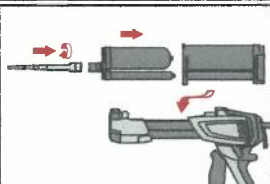
Następnie należy wydmuchać dwukrotnie otwór począwszy od jego końca (jeśli to konieczne, stosując przedłużkę dyszy) na całej długości przy użyciu niezaolejonego sprężonego powietrza (ciśnienie min. 6 bar przy wydajności $6 \text{ m}^3/\text{h}$), aż do momentu, gdy wylatujący strumień powietrza nie zawiera widocznego kurzu i wody. Przed dozowaniem żywicy należy usunąć wodę z wywierconego otworu aż do jego całkowitego osuszenia. Dla wywierconych otworów o średnicy $\geq 32 \text{ mm}$ sprężarka musi mieć wydajność strumienia powietrza przynajmniej $140 \text{ m}^3/\text{h}$.

System iniekcyjny Hilti HIT-HY 200-R V3

Zamierzzone stosowanie
Instrukcja montażu elementów



Przygotowanie iniekcji żywicy

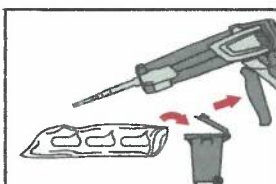


Należy dokładnie zamocować mieszacz statyczny Hilti HIT-RE-M na gwintowanej końcówce ładunku foliowego. Niedopuszczalne jest wprowadzanie jakichkolwiek zmian w mieszaczu.

Następnie należy zapoznać się z instrukcją użytkowania dozownika.

Należy sprawdzić prawidłowość funkcjonowania kasety ładunku foliowego.

Należy wprowadzić ładunek foliowy do kasety, a kasetę do komory dozownika.



Ładunek foliowy otwiera się automatycznie po rozpoczęciu dozowania. W zależności od objętości ładunku foliowego, należy odrzucić określona pierwszą porcję żywicy.

Objętości, które należy odrzucić, to:

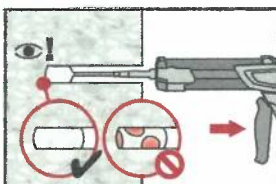
2 naciśnięcia spustu dla ładunku foliowego o objętości 330 ml,

3 naciśnięcia spustu dla ładunku foliowego o objętości 500 ml,

4 naciśnięcia spustu dla ładunku foliowego o objętości 500 ml w temp. $\leq 5^{\circ}\text{C}$.

Minimalna temperatura ładunku foliowego do 0°C.

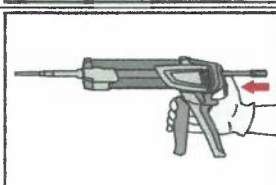
Dozowanie żywicy od końca otworu w sposób pozwalający uniknąć tworzenia się pęcherzyków powietrza.



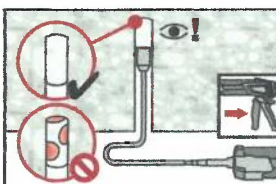
Należy dozować żywicę począwszy od końca otworu, powoli wycofując mieszacz statyczny przy każdym naciśnięciu spustu dozownika.

Należy wypełnić otwory w około 2/3 ich objętości celem zapewnienia całkowitego wypełnienia żywicą pierścieniowej przestrzeni między elementem kotwącym i betonem na całej długości zakotwienia.

W betonie nasączonym wodą wymagane jest osadzenie łącznika natychmiast po wyczyszczeniu wywierconego otworu.



Po zakończeniu dozowania należy zwolnić nacisk tła dozownika poprzez naciśnięcie spustu dźwigni. Pozwoli to zapobiec dalszemu wypływowi żywicy z mieszacza.



Montaż nad głową oraz/lub montaż przy głębokości zakotwienia $h_{\text{eff}} > 250\text{mm}$.

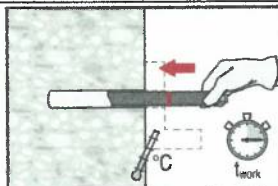
Dla montażu w pozycji nad głową dozowanie żywicy jest możliwe jedynie przy użyciu węża przedłużającego i końcówek iniecyjnych. Należy zmontować (połączyć) mieszacz statyczny HIT-RE-M, przedłużkę/ki oraz końcówkę iniecyjną o odpowiednio dobranym rozmiarze (patrz → Tabela B8). Następnie należy wprowadzić końcówkę iniecyjną do dna otworu i dozować żywicę. W trakcie dozowania końcówka iniecyjna będzie w naturalny sposób wypychana z otworu przez ciśnienie żywicy.

System iniecyjny Hilti HIT-HY 200-R V3

Zamierzzone stosowanie
Instrukcja montażu elementów

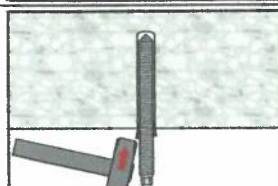


Osadzanie elementu kotwiącego

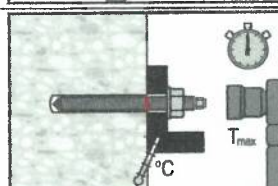


Przed użyciem elementu kotwiącego należy upewnić się, czy jest on suchy, niezanieczyszczony olejem i pozbawiony innych zanieczyszczeń.

Przed upływem czasu roboczego t_{work} należy oznaczyć i osadzić element kotwiący, stosując się do wymaganej głębokości zakotwienia. Czasy robocze t_{work} zostały podane w Tabeli B7.

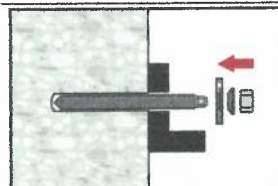


W przypadku montażu w pozycji nad głową należy zastosować końcówki iniejkcyjne oraz tymczasowo zamocować osadzone elementy kotwiące w otworze np. za pomocą klinów (Hilti HIT-OHW).

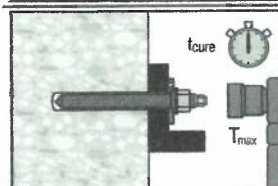


Obciążanie elementu kotwiącego: Element kotwiący może zostać obciążony po upłynięciu wymaganego czasu utwardzania t_{cure} (patrz → Tabela B7). Zastosowany montażowy moment dokręcający nie może przekroczyć wartości T_{max} podanych w Tabelach od B2 do B5.

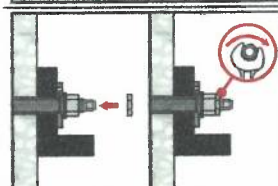
Montaż zestawu Hilti do wypełniania



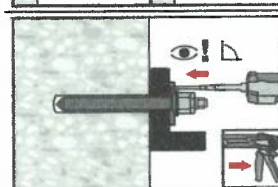
Należy zastosować Zestaw Hilti do wypełniania wraz ze standardową nakrętką sześciokątną. Należy sprawdzić prawidłowość położenia podkładki wypełniającej oraz podkładki sferycznej.



Zastosowany montażowy moment dokręcający nie może przekroczyć wartości T_{max} podanych w Tabelach od B2 do B5.



Opcjonalnie:
Montaż przeciwnakrętki (nakrętki kontrującej). Należy dokręcić o $\frac{1}{4}$ do $\frac{1}{2}$ obrotu.
(Niedopuszczalne dla rozmiaru M24.)



Należy wypełnić pierścieniową przestrzeń między prętem kotwy oraz elementem mocowanym 1 - 3 porcjami żywicy iniekcyjnej Hilti HIT-HY ... lub HIT-RE Należy postępować zgodnie z instrukcją montażu dostarczoną wraz z odpowiednią żywicą iniekcyjną Hilti.
Kotwa może być obciążona po upływie wymaganego czasu t_{cure} .

System iniekcyjny Hilti HIT-HY 200-R V3

Zamierzone stosowanie Instrukcja montażu elementów

Tabela C1: Podstawowe charakterystyki dla prętów gwintowanych, HAS-U-..., HIT-V-... oraz AM 8.8 pod wpływem obciążen rozciągających w betonie

Pręt gwintowany, HAS-U-..., HIT-V-... oraz AM 8.8	M8	M10	M12	M16	M20	M24	M27	M30
Montażowy współczynnik bezpieczeństwa								
Wiercenie udarowe γ_{inst} [-]								
Wiercenie udarowe przy użyciu wiertel rurowych Hilti TE-CD lub TE-YD	γ_{inst} [-]	1)						1,0
Wiercenie diamentowe rdzeniowe z szorstkowaniem narzędziem do szorstkowania Hilti TE-YRT	γ_{inst} [-]		1)					1,0
Zniszczenie stali								
Nośność charakterystyczna $N_{Rk,s}$ [kN]								$A_s \cdot f_{uk}$
Częściowy współczynnik bezpieczeństwa klasy 5.8 $\gamma_{Ms,N}^{2)}$ [-]								1,5
Częściowy współczynnik bezpieczeństwa klasy 8.8 $\gamma_{Ms,N}^{2)}$ [-]								1,5
Częściowy współczynnik bezpieczeństwa HAS-U A4, HIT-V-R $\gamma_{Ms,N}^{2)}$ [-]							1,86	2,86
Częściowy współczynnik bezpieczeństwa HAS-U HCR, HIT-V-HCR $\gamma_{Ms,N}^{2)}$ [-]							1,5	2,1
Zniszczenie przez kombinację wyciągnięcia kotwy i wyłamania stożka betonu								
Charakterystyczna nośność wiązania chemicznego w betonie niespękanym klasy C20/25								
Zakres temperatur I: 40 °C / 24 °C $\tau_{Rk,ucr}$ [N/mm²]								18
Zakres temperatur II: 80 °C / 50 °C $\tau_{Rk,ucr}$ [N/mm²]								15
Zakres temperatur III: 120 °C / 72 °C $\tau_{Rk,ucr}$ [N/mm²]								13
Charakterystyczna nośność wiązania chemicznego w betonie spękanym klasy C20/25								
Zakres temperatur I: 40 °C / 24 °C $\tau_{Rk,cr}$ [N/mm²]		7,5		8,5				9,0
Zakres temperatur II: 80 °C / 50 °C $\tau_{Rk,cr}$ [N/mm²]		6,0		7,0				7,5
Zakres temperatur III: 120 °C / 72 °C $\tau_{Rk,cr}$ [N/mm²]		5,5		6,0				6,5
Współczynniki wpływu ψ na nośność wiązania chemicznego τ_{Rk}								
Beton spękany i beton niespękany: ψ_c	C30/37							1,04
Współczynnik dla wytrzymałości betonu	C40/45							1,07
	C50/60							1,1
Beton spękany i beton niespękany: ψ_{sus}^0	40 °C/24 °C							0,74
Współczynnik dla obciążenia długotrwałego	80 °C/50 °C							0,89
	120 °C/72 °C							0,72

System iniekcyjny Hilti HIT-HY 200-R V3

Charakterystyki

Podstawowe charakterystyki pod wpływem obciążen rozciągających w betonie



Załącznik C1

Tabela C1: ciąg dalszy

Zniszczenie przez wyłamanie stożka betonu		
Współczynnik dla betonu niespękanego	$k_{ucr,N}$	[·]
Współczynnik dla betonu spękanego	$k_{cr,N}$	[·]
Odległość od krawędzi podłoża	$c_{cr,N}$	[mm]
Rozstaw kotew	$s_{cr,N}$	[mm]
Zniszczenie przez rozłupanie podłożu betonowego		
Odległość od krawędzi podłoża $c_{cr,sp}$ [mm] dla	$h / h_{ef} \geq 2,0$	$1,0 \cdot h_{ef}$
	$2,0 > h / h_{ef} > 1,3$	$4,6 \cdot h_{ef} - 1,8 \cdot h$
	$h / h_{ef} \leq 1,3$	$2,26 \cdot h_{ef}$
Rozstaw kotew	$s_{cr,sp}$	[mm]

1) Nie określono charakterystyki.

2) W przypadku braku przepisów krajowych.

Tabela C2: Podstawowe charakterystyki dla prętów gwintowanych, HAS-U-..., HIT-V-... oraz AM 8.8 pod wpływem obciążen ścinających w betonie

Pręt gwintowany, HAS-U-..., HIT-V-..., AM 8.8	M8	M10	M12	M16	M20	M24	M27	M30
Zniszczenie stali bez oddziaływania momentu zginającego								
Nośność charakterystyczna								
Nośność charakterystyczna	$V_{Rk,s}$	[kN]						$0,5 \cdot A_s \cdot f_{uk}$
Częściowy współczynnik bezpieczeństwa klasy 5.8	$\gamma_{Ms,V}^{1)}$	[·]						1,25
Częściowy współczynnik bezpieczeństwa klasy 8.8	$\gamma_{Ms,V}^{1)}$	[·]						1,25
Częściowy współczynnik bezpieczeństwa HAS-U A4, HIT-V-R	$\gamma_{Ms,V}^{1)}$	[·]					1,56	2,38
Częściowy współczynnik bezpieczeństwa HAS-U HCR, HIT-V-HCR	$\gamma_{Ms,V}^{1)}$	[·]					1,25	1,75
Współczynnik dla ciągliwości	k_7	[·]					1,0	
Zniszczenie stali z oddziaływaniem momentu zginającego								
Moment zginający	$M_{Rk,s}^0$	[Nm]						$1,2 \cdot W_{el} \cdot f_{uk}$
Współczynnik dla ciągliwości	k_7	[·]					1,0	
Zniszczenie przez podważenie betonu								
Współczynnik dla podważenia betonu	k_8	[·]					2,0	
Zniszczenie krawędzi podłożu betonowego								
Czynna długość łącznika	l_f	[mm]						$\min(h_{ef}, 12 \cdot d_{nom})$
Zewnętrzna średnica łącznika	d_{nom}	[mm]	8	10	12	16	20	24
							27	30

1) W przypadku braku przepisów krajowych.

System iniekcyjny Hilti HIT-HY 200-R V3

Charakterystyki

Podstawowe charakterystyki pod wpływem obciążen rozciągających i ścinających w betonie



Tabela C3: Podstawowe charakterystyki dla tulei z gwintem wewnętrznym HIS-(R)N pod wpływem obciążen rozciągających w betonie

HIS-(R)N	M8	M10	M12	M16	M20
Montażowy współczynnik bezpieczeństwa					
Wiercenie udarowe γ_{inst} [-]				1,0	
Wiercenie udarowe przy użyciu wiertel rurowych Hilti TE-CD lub TE-YD γ_{inst} [-]				1,0	
Wiercenie diamentowe rdzeniowe z szorstkowaniem narzędziem do szorstkowania Hilti TE-YRT γ_{inst} [-]	1)			1,0	
Zniszczenie stali					
Nośność charakterystyczna HIS-N ze śrubą lub pretem gwintowanym klasy 8,8 $N_{Rk,s}$ [kN]	25	46	67	125	116
Częściowy współczynnik bezpieczeństwa $\gamma_{Ms,N}^{2)}$ [-]				1,50	
Nośność charakterystyczna HIS-RN ze śrubą lub pretem gwintowanym klasy 70 $N_{Rk,s}$ [kN]	26	41	59	110	166
Częściowy współczynnik bezpieczeństwa $\gamma_{Ms,N}^{2)}$ [-]			1,87		2,4
Zniszczenie przez kombinację wyciągnięcia kotwy i wyłamania stożka betonu					
Czynna głębokość osadzania h_{ef} [mm]	90	110	125	170	205
Czynna średnica łącznika d_1 [mm]	12,5	16,5	20,5	25,4	27,6
Charakterystyczna nośność wiązania chemicznego w betonie niespękanym klasy C20/25					
Zakres temperatur I: 40 °C/24 °C $\tau_{Rk,ucr}$ [N/mm²]				13	
Zakres temperatur II: 80 °C/50 °C $\tau_{Rk,ucr}$ [N/mm²]				11	
Zakres temperatur III: 120 °C/72 °C $\tau_{Rk,ucr}$ [N/mm²]				9,5	
Charakterystyczna nośność wiązania chemicznego w betonie spękanym klasy C20/25					
Zakres temperatur I: 40 °C/24 °C $\tau_{Rk,cr}$ [N/mm²]				7	
Zakres temperatur II: 80 °C/50 °C $\tau_{Rk,cr}$ [N/mm²]				5,5	
Zakres temperatur III: 120 °C/72 °C $\tau_{Rk,cr}$ [N/mm²]				5	
Współczynniki wpływu ψ na nośność wiązania chemicznego τ_{Rk}					
Beton spękany i beton niespękany: ψ_c	C30/37			1,04	
Współczynnik dla wytrzymałości betonu	C40/45			1,07	
	C50/60			1,1	
Beton spękany i beton niespękany: ψ_{sus}^0	40 °C/24 °C			0,74	
Współczynnik dla obciążenia długotrwałego	80 °C/50 °C			0,89	
	120 °C/72 °C			0,72	

System iniekcyjny Hilti HIT-HY 200-R V3

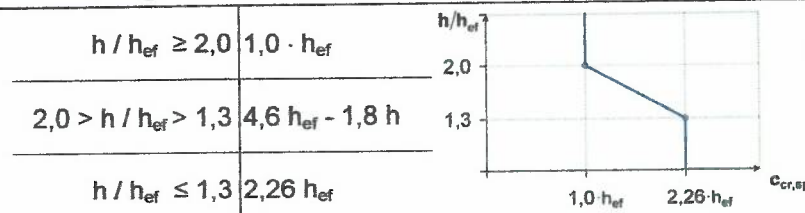
Charakterystyki

Podstawowe charakterystyki pod wpływem obciążen rozciągających w betonie



Tabela C3: ciąg dalszy

Zniszczenie przez wyłamanie stożka betonu		
Współczynnik dla betonu niespękanego $k_{cr,N}$	[$-$]	11,0
Współczynnik dla betonu spękanego $k_{cr,N}$	[$-$]	7,7
Odległość od krawędzi podłożu $c_{cr,N}$	[mm]	$1,5 \cdot h_{ef}$
Rozstaw kotew $s_{cr,N}$	[mm]	$3,0 \cdot h_{ef}$
Zniszczenie przez rozłupanie podłożu betonowego		
Odległość od krawędzi podłożu $c_{cr,sp}$ [mm] dla	$h / h_{ef} \geq 2,0$	$1,0 \cdot h_{ef}$
	$2,0 > h / h_{ef} > 1,3$	$4,6 h_{ef} - 1,8 h$
	$h / h_{ef} \leq 1,3$	$2,26 h_{ef}$
Rozstaw kotew $s_{cr,sp}$	[mm]	$2 \cdot c_{cr,sp}$



1) Nie określono charakterystyki.

2) W przypadku braku przepisów krajowych.

Tabela C4: Podstawowe charakterystyki dla tulei z gwintem wewnętrznym HIS-(R)N pod wpływem obciążen rozciągających w betonie

HIS-(R)N	M8	M10	M12	M16	M20
Zniszczenie stali bez oddziaływanie momentu zginającego					
Nośność charakterystyczna HIS-N ze śrubą lub prętem gwintowanym klasy 8.8 $V_{Rk,s}$ [kN]	13	23	34	63	58
Częściowy współczynnik bezpieczeństwa $\gamma_{Ms,V}^{1)}$ [$-$]				1,25	
Nośność charakterystyczna HIS-RN ze śrubą lub prętem gwintowanym klasy 70 $V_{Rk,s}$ [kN]	13	20	30	55	83
Częściowy współczynnik bezpieczeństwa $\gamma_{Ms,V}^{1)}$ [$-$]			1,56		2,0
Współczynnik dla ciągliwości k_7 [$-$]			1,0		
Zniszczenie stali z oddziaływaniem momentu zginającego					
HIS-N ze śrubą lub prętem gwintowanym klasy 8.8 $M_{Rk,s}^0$ [Nm]	30	60	105	266	519
HIS-RN ze śrubą lub prętem gwintowanym klasy 70 $M_{Rk,s}^0$ [Nm]	26	52	92	233	454
Współczynnik dla ciągliwości k_7 [$-$]			1,0		
Zniszczenie przez podważenie betonu					
Współczynnik dla podważenia betonu k_8 [$-$]			2,0		
Zniszczenie krawędzi podłożu betonowego					
Czynna długość łącznika l_f [mm]	90	110	125	170	205
Zewnętrzna średnica łącznika d_{nom} [mm]	12,5	16,5	20,5	25,4	27,6

1) W przypadku braku przepisów krajowych.

System iniekcyjny Hilti HIT-HY 200-R V3

Charakterystyki

Podstawowe charakterystyki pod wpływem obciążen rozciągających i ścinających w betonie



Załącznik C4

Tabela C5: Podstawowe charakterystyki dla kotwy rozciąganej Hilti HZA / HZA-R pod wpływem obciążen rozciągających w betonie

Kotwa rozciągana Hilti HZA, HZA-R	M12	M16	M20	M24	M27
Montażowy współczynnik bezpieczeństwa					
Wiercenie udarowe γ_{inst} [-]				1,0	
Wiercenie udarowe przy użyciu wiertel rurowych Hilti TE-CD lub TE-YD γ_{inst} [-]				1,0	
Wiercenie diamentowe rdzeniowe z szorstkowaniem narzędziem do szorstkowania Hilti TE-YRT γ_{inst} [-]	1)			1,0	
Zniszczenie stali					
Nośność charakterystyczna HZA $N_{Rk,s}$ [kN]	46	86	135	194	253
Nośność charakterystyczna HZA-R $N_{Rk,s}$ [kN]	62	111	173	248	1)
Częściowy współczynnik bezpieczeństwa $\gamma_{Ms,N}^{2)}$ [-]			1,4		
Zniszczenie przez kombinację wyciągnięcia kotwy i wyłamania stożka betonu					
Średnica pręta zbrojeniowego d [mm]	12	16	20	25	28
Charakterystyczna nośność wiązania chemicznego w betonie niespękanym klasy C20/25					
Czynna głębokość zakotwienia HZA h_{ef} [mm]			$h_{nom} - 20$		
HZA-R h_{ef} [mm]			$h_{nom} - 100$		1)
Zakres temperatur I: 40 °C/24 °C $\tau_{Rk,ucr}$ [N/mm²]			12		
Zakres temperatur II: 80 °C/50 °C $\tau_{Rk,ucr}$ [N/mm²]			10		
Zakres temperatur III: 120 °C/72 °C $\tau_{Rk,ucr}$ [N/mm²]			8,5		
Charakterystyczna nośność wiązania chemicznego w betonie spękanym klasy C20/25					
Zakres temperatur I: 40 °C/24 °C $\tau_{Rk,cr}$ [N/mm²]			7		
Zakres temperatur II: 80 °C/50 °C $\tau_{Rk,cr}$ [N/mm²]			5,5		
Zakres temperatur III: 120 °C/72 °C $\tau_{Rk,cr}$ [N/mm²]			5		
Współczynniki wpływu ψ na nośność wiązania chemicznego τ_{Rk}					
Beton spękany i beton niespękany: ψ_c	C30/37		1,04		
Współczynnik dla wytrzymałości betonu	C40/45		1,07		
	C50/60		1,1		
	10 °C/24 °C		0,74		
Beton spękany i beton niespękany: ψ_{sus}^0	30 °C/50 °C		0,89		
Współczynnik dla obciążenia długotrwałego	20 °C/72 °C		0,72		

System iniekcyjny Hilti HIT-HY 200-R V3

Charakterystyki

Podstawowe charakterystyki pod wpływem obciążen rozciągających w betonie



Tabela C5: ciąg dalszy

Zniszczenie przez wylamanie stożka betonu

Czynna głębokość zakotwienia	HZA	h_{ef}	[mm]	h_{nom}		
	HZA-R	h_{ef}	[mm]	h_{nom}		1)
Współczynnik dla betonu niespękanego	k_{ucr}	[-]		11,0		
Współczynnik dla betonu spękanego	k_{cr}	[-]		7,7		
Odległość od krawędzi podłoża	$c_{cr,N}$	[mm]		$1,5 \cdot h_{ef}$		
Rozstaw kotew	$s_{cr,N}$	[mm]		$3,0 \cdot h_{ef}$		

Zniszczenie przez rozłupanie podłożu betonowego dotyczące betonu niespękanego

Odległość od krawędzi podłoża $c_{cr,sp}$ [mm] dla	$h / h_{ef} \geq 2,0$	$1,0 \cdot h_{ef}$	h / h_{ef}	
	$2,0 > h / h_{ef} > 1,3$	$4,6 \cdot h_{ef} - 1,8 \cdot h$	1,3	
	$h / h_{ef} \leq 1,3$	$2,26 \cdot h_{ef}$	2,0	
Rozstaw kotew	$s_{cr,sp}$	[mm]		$2 \cdot c_{cr,sp}$

1) Nie określono charakterystyki.

2) W przypadku braku przepisów krajowych.

Tabela C6: Podstawowe charakterystyki dla kotwy rozciąganej Hilti HZA, HZA-R pod wpływem obciążen ścinających w betonie

Kotwa rozciągana Hilti HZA, HZA-R	M12	M16	M20	M24	M27		
Zniszczenie stali bez oddziaływanie momentu zginającego							
Nośność charakterystyczna HZA	$V_{Rk,s}$	[kN]	23	43	67	97	126
Nośność charakterystyczna HZA-R	$V_{Rk,s}$	[kN]	31	55	86	124	1)
Częściowy współczynnik bezpieczeństwa $\gamma_{Ms,V}^{2)}$	[-]				1,5		
Współczynnik dla ciągliwości	k_7	[-]			1,0		
Zniszczenie stali z oddziaływaniem momentu zginającego							
HZA	$M_{Rk,s}^0$	[Nm]	72	183	357	617	915
HZA-R	$M_{Rk,s}^0$	[Nm]	97	234	457	790	1)
Współczynnik dla ciągliwości	k_7	[-]			1,0		
Zniszczenie przez podważenie betonu							
Współczynnik dla podważenia betonu	k_8	[-]			2,0		
Zniszczenie krawędzi podłożu betonowego							
Czynna długość łącznika	l_f	[mm]		$\min(h_{nom}; 12 \cdot d_{nom})$		$\min(h_{nom}, 300)$	
Zewnętrzna średnica łącznika	d_{nom}	[mm]	12	16	20	24	27

1) Nie określono charakterystyki.

2) W przypadku braku przepisów krajowych.

System iniekcyjny Hilti HIT-HY 200-R V3

Charakterystyki

Podstawowe charakterystyki pod wpływem obciążen rozciągających i ścinających w betonie



Tabela C7: Podstawowe charakterystyki dla prętów zbrojeniowych pod wpływem obciążen rozciągających w betonie

Pręt zbrojeniowy	Ø 8	Ø 10	Ø 12	Ø 14	Ø 16	Ø 20	Ø 25	Ø 26	Ø 28	Ø 30	Ø 32
Montażowy współczynnik bezpieczeństwa											
Wiercenie udarowe γ_{inst} [-]											1,0
Wiercenie udarowe przy użyciu wiertel rurowych Hilti TE-CD lub TE-YD γ_{inst} [-]											1,0
Wiercenie diamentowe rdzeniowe z szorstkowaniem narzędziem do szorstkowania Hilti TE-YRT γ_{inst} [-]				1)							1,0
Zniszczenie stali											
Nośność charakterystyczna Pręt zbrojeniowy B500B według normy DIN 488:2009-08 $N_{Rk,s}$ [kN]	28	43	62	85	111	173	270	292	339	388	442
Częściowy współczynnik bezpieczeństwa $\gamma_{Ms,N}^{2)}$ [-]											1,4
Zniszczenie przez kombinację wyciągnięcia kotwy i wyłamania stożka betonu											
Średnica pręta zbrojeniowego d [mm]	8	10	12	14	16	20	25	26	28	30	32
Charakterystyczna nośność wiązania chemicznego w betonie niespękanym klasy C20/25											
Zakres temperatur I: 40°C/24°C $\tau_{Rk,ucr}$ [N/mm²]											12
Zakres temperatur II: 80°C/50°C $\tau_{Rk,ucr}$ [N/mm²]											10
Zakres temperatur III: 120°C/72°C $\tau_{Rk,ucr}$ [N/mm²]											8,5
Charakterystyczna nośność wiązania chemicznego w betonie spękanym klasy C20/25											
Zakres temperatur I: 40°C/24°C $\tau_{Rk,cr}$ [N/mm²]	1)	5									7
Zakres temperatur II: 80°C/50°C $\tau_{Rk,cr}$ [N/mm²]	1)	4									5,5
Zakres temperatur III: 120°C/72°C $\tau_{Rk,cr}$ [N/mm²]	1)	3,5									5
Współczynniki wpływu ψ na nośność wiązania chemicznego τ_{Rk}											
Beton spękany i beton niespękany: ψ_c	C30/37										1,04
Współczynnik dla wytrzymałości betonu	C40/45										1,07
	C50/60										1,1
Beton spękany i beton niespękany: ψ_{sus}^0	40 °C/24 °C										0,74
Współczynnik dla obciążenia długotrwałego	80 °C/50 °C										0,89
	120 °C/72 °C										0,72

System iniekcyjny Hilti HIT-HY 200-R V3

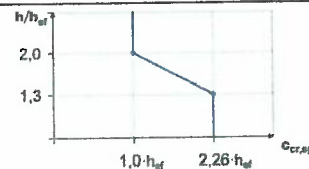
Charakterystyki

Podstawowe charakterystyki pod wpływem obciążen rozciągających w betonie



Tabela C7: ciąg dalszy

Zniszczenie przez wyłamanie stożka betonu		
Współczynnik dla betonu niespękanego $k_{ucr,N}$ [-]		11,0
Współczynnik dla betonu spękanego $k_{cr,N}$ [-]		7,7
Odległość od krawędzi podłoża $c_{cr,N}$ [mm]		$1,5 \cdot h_{ef}$
Rozstaw kotew $s_{cr,N}$ [mm]		$3,0 \cdot h_{ef}$
Zniszczenie przez rozłupanie podłoża betonowego dotyczące betonu niespękanego		
Odległość od krawędzi podłoża $c_{cr,sp}$ [mm] dla	$h / h_{ef} \geq 2,0$	$1,0 \cdot h_{ef}$
	$2,0 > h / h_{ef} > 1,3$	$4,6 \cdot h_{ef} - 1,8 \cdot h$
	$h / h_{ef} \leq 1,3$	$2,26 \cdot h_{ef}$
Rozstaw kotew $s_{cr,sp}$ [mm]		$2 c_{cr,sp}$



1) Nie określono charakterystyki.

2) W przypadku braku przepisów krajowych.

Tabela C8: Podstawowe charakterystyki dla prętów zbrojeniowych pod wpływem obciążen ścinających w betonie

Pręt zbrojeniowy	$\phi 8$	$\phi 10$	$\phi 12$	$\phi 14$	$\phi 16$	$\phi 20$	$\phi 25$	$\phi 26$	$\phi 28$	$\phi 30$	$\phi 32$
Zniszczenie stali bez oddziaływanie momentu zginającego											
Nośność charakterystyczna Pręt zbrojeniowy B500B według normy DIN 488:2009-08	$V_{Rk,s}$ [kN]	14	22	31	42	55	86	135	146	169	194
Częściowy współczynnik bezpieczeństwa $\gamma_{Ms,V}^{1)}$ [-]											1,5
Współczynnik dla ciągliwości k_7 [-]											1,0
Zniszczenie stali z oddziaływaniem momentu zginającego											
Pręt zbrojeniowy B500B według normy DIN 488:2009-08	$M_{Rk,s}^o$ [Nm]	33	65	112	178	265	518	1012	1139	1422	1749
Współczynnik dla ciągliwości k_7 [-]											2123
Zniszczenie przez podważenie betonu											
Współczynnik dla podważenia betonu k_8 [-]											2,0
Zniszczenie krawędzi podłoża betonowego											
Czynna długość łącznika l_f [mm]		min. ($h_{ef}; 12 \cdot d_{nom}$)						min. ($h_{nom}; 300$)			
Zewnętrzna średnica łącznika d_{nom} [mm]	8	10	12	14	16	20	25	26	28	30	32

1) W przypadku braku przepisów krajowych.

System iniekcyjny Hilti HIT-HY 200-R V3

Charakterystyki

Podstawowe charakterystyki pod wpływem obciążen rozciągających i ścinających w betonie



Tabela C9: Przemieszczenia pod wpływem obciążen rozciągających

Pręt gwintowany, HAS-U-..., HIT-V-..., AM 8.8		M8	M10	M12	M16	M20	M24	M27	M30
Beton niespękany, zakres temperatur I: 40°C / 24°C									
Przemieszczenie	δ_{N0} [mm/(N/mm ²)]	0,02	0,03	0,03	0,04	0,06	0,07	0,07	0,08
	$\delta_{N\infty}$ [mm/(N/mm ²)]	0,04	0,05	0,06	0,08	0,10	0,13	0,14	0,16
Beton niespękany, zakres temperatur II: 80°C / 50°C									
Przemieszczenie	δ_{N0} [mm/(N/mm ²)]	0,03	0,04	0,05	0,06	0,08	0,09	0,10	0,12
	$\delta_{N\infty}$ [mm/(N/mm ²)]	0,04	0,05	0,06	0,09	0,11	0,13	0,15	0,16
Beton niespękany, zakres temperatur III: 120°C / 72°C									
Przemieszczenie	δ_{N0} [mm/(N/mm ²)]	0,04	0,05	0,06	0,08	0,10	0,12	0,13	0,16
	$\delta_{N\infty}$ [mm/(N/mm ²)]	0,04	0,05	0,07	0,09	0,11	0,13	0,15	0,17
Beton spękany, zakres temperatur I: 40°C / 24°C									
Przemieszczenie	δ_{N0} [mm/(N/mm ²)]						0,07		
	$\delta_{N\infty}$ [mm/(N/mm ²)]						0,16		
Beton spękany, zakres temperatur II: 80°C / 50°C									
Przemieszczenie	δ_{N0} [mm/(N/mm ²)]						0,10		
	$\delta_{N\infty}$ [mm/(N/mm ²)]						0,22		
Beton spękany, zakres temperatur III: 120°C / 72°C									
Przemieszczenie	δ_{N0} [mm/(N/mm ²)]						0,13		
	$\delta_{N\infty}$ [mm/(N/mm ²)]						0,29		

Tabela C10: Przemieszczenia pod wpływem obciążen ścinających

Pręt gwintowany, HAS-U-..., HIT-V-..., AM 8.8		M8	M10	M12	M16	M20	M24	M27	M30
Przemieszczenie	δ_{V0} [mm/kN]	0,06	0,06	0,05	0,04	0,04	0,03	0,03	0,03
	$\delta_{V\infty}$ [mm/kN]	0,09	0,08	0,08	0,06	0,06	0,05	0,05	0,05

System iniecyjny Hilti HIT-HY 200-R V3

Charakterystyki

Przemieszczenia dla prętów gwintowanych, HAS-U-..., HIT-V-... oraz AM 8.8



Tabela C11: Przemieszczenia pod wpływem obciążen rozciągających

HIS-(R)N		M8	M10	M12	M16	M20
Beton niesękany, zakres temperatur I: 40°C / 24°C						
Przemieszczenie	δ_{N0} [mm/(N/mm ²)]	0,03	0,05	0,06	0,07	0,08
	$\delta_{N\infty}$ [mm/(N/mm ²)]	0,06	0,09	0,11	0,13	0,14
Beton niesękany, zakres temperatur II: 80°C / 50°C						
Przemieszczenie	δ_{N0} [mm/(N/mm ²)]	0,05	0,06	0,08	0,10	0,11
	$\delta_{N\infty}$ [mm/(N/mm ²)]	0,07	0,09	0,11	0,13	0,15
Beton niesękany, zakres temperatur III: 120°C / 72°C						
Przemieszczenie	δ_{N0} [mm/(N/mm ²)]	0,06	0,08	0,10	0,13	0,14
	$\delta_{N\infty}$ [mm/(N/mm ²)]	0,07	0,09	0,11	0,14	0,15
Beton spękany, zakres temperatur I: 40°C / 24°C						
Przemieszczenie	δ_{N0} [mm/(N/mm ²)]			0,11		
	$\delta_{N\infty}$ [mm/(N/mm ²)]			0,16		
Beton spękany, zakres temperatur II: 80°C / 50°C						
Przemieszczenie	δ_{N0} [mm/(N/mm ²)]			0,15		
	$\delta_{N\infty}$ [mm/(N/mm ²)]			0,22		
Beton spękany, zakres temperatur III: 120°C / 72°C						
Przemieszczenie	δ_{N0} [mm/(N/mm ²)]			0,20		
	$\delta_{N\infty}$ [mm/(N/mm ²)]			0,29		

Tabela C12: Przemieszczenia pod wpływem obciążen ścinających

HIS-(R)N		M8	M10	M12	M16	M20
Przemieszczenie	δ_{V0} [mm/kN]	0,06	0,06	0,05	0,04	0,04
	$\delta_{V\infty}$ [mm/kN]	0,09	0,08	0,08	0,06	0,06

System iniecyjny Hilti HIT-HY 200-R V3

Charakterystyki
 Przemieszczenia dla tulei HIS-(R)N



Tabela C13: Przemieszczenia pod wpływem obciążen rozciągających

Kotwa rozciągana Hilti HZA, HZA-R		M12	M16	M20	M24	M27
Beton niespękany, zakres temperatur I : 40°C / 24°C						
Przemieszczenie	δ_{N0} [mm/(N/mm ²)]	0,03	0,04	0,06	0,07	0,08
	$\delta_{N\infty}$ [mm/(N/mm ²)]	0,06	0,08	0,13	0,13	0,15
Beton niespękany, zakres temperatur II : 80°C / 50°C						
Przemieszczenie	δ_{N0} [mm/(N/mm ²)]	0,05	0,06	0,08	0,10	0,11
	$\delta_{N\infty}$ [mm/(N/mm ²)]	0,06	0,09	0,14	0,14	0,15
Beton niespękany, zakres temperatur III : 120°C / 72°C						
Przemieszczenie	δ_{N0} [mm/(N/mm ²)]	0,06	0,08	0,10	0,12	0,14
	$\delta_{N\infty}$ [mm/(N/mm ²)]	0,07	0,09	0,14	0,14	0,16
Beton spękany, zakres temperatur I : 40°C / 24°C						
Przemieszczenie	δ_{N0} [mm/(N/mm ²)]				0,11	
	$\delta_{N\infty}$ [mm/(N/mm ²)]				0,16	
Beton spękany, zakres temperatur II : 80°C / 50°C						
Przemieszczenie	δ_{N0} [mm/(N/mm ²)]				0,15	
	$\delta_{N\infty}$ [mm/(N/mm ²)]				0,22	
Beton spękany, zakres temperatur III : 120°C / 72°C						
Przemieszczenie	δ_{N0} [mm/(N/mm ²)]				0,20	
	$\delta_{N\infty}$ [mm/(N/mm ²)]				0,29	

Tabela C14: Przemieszczenia pod wpływem obciążen ścinających

Kotwa rozciągana Hilti HZA, HZA-R		M12	M16	M20	M24	M27
Przemieszczenie	δ_{v0} [mm/kN]	0,05	0,04	0,04	0,03	0,03
	$\delta_{v\infty}$ [mm/kN]	0,08	0,06	0,06	0,05	0,05

System iniecyjny Hilti HIT-HY 200-R V3**Charakterystyki**

Przemieszczenia dla kotew rozciąganych HZA oraz HZA-R



Tabela C15: Przemieszczenia pod wpływem obciążen rozciągających

Pręt zbrojeniowy	φ 8	φ 10	φ 12	φ 14	φ 16	φ 20	φ 25	φ 26	φ 28	φ 30	φ 32
Beton niespękany, zakres temperatur I: 40°C / 24°C											
Przemieszczenie											
δ_{N0} [mm/(N/mm²)]	0,02	0,03	0,03	0,04	0,04	0,06	0,07	0,08	0,08	0,09	0,09
$\delta_{N\infty}$ [mm/(N/mm²)]	0,04	0,05	0,06	0,07	0,08	0,10	0,13	0,14	0,15	0,16	0,17
Beton niespękany, zakres temperatur II: 80°C / 50°C											
δ_{N0} [mm/(N/mm²)]	0,03	0,04	0,05	0,05	0,06	0,08	0,10	0,11	0,11	0,12	0,12
$\delta_{N\infty}$ [mm/(N/mm²)]	0,04	0,05	0,06	0,07	0,09	0,11	0,14	0,15	0,15	0,16	0,17
Beton niespękany, zakres temperatur III: 120°C / 72°C											
δ_{N0} [mm/(N/mm²)]	0,04	0,05	0,06	0,07	0,08	0,10	0,12	0,13	0,14	0,15	0,16
$\delta_{N\infty}$ [mm/(N/mm²)]	0,04	0,05	0,07	0,08	0,09	0,11	0,14	0,15	0,16	0,17	0,18
Beton spękany, zakres temperatur I: 40°C / 24°C											
δ_{N0} [mm/(N/mm²)]	0,11										
$\delta_{N\infty}$ [mm/(N/mm²)]	0,16										
Beton spękany, zakres temperatur II: 80°C / 50°C											
δ_{N0} [mm/(N/mm²)]	0,15										
$\delta_{N\infty}$ [mm/(N/mm²)]	0,22										
Beton spękany, zakres temperatur III: 120°C / 72°C											
δ_{N0} [mm/(N/mm²)]	0,20										
$\delta_{N\infty}$ [mm/(N/mm²)]	0,29										

Tabela C16: Przemieszczenia pod wpływem obciążen ścinających

Pręt zbrojeniowy	φ 8	φ 10	φ 12	φ 14	φ 16	φ 20	φ 25	φ 26	φ 28	φ 30	φ 32
Przemieszczenie	δ_{v0} [mm/kN]	0,06	0,05	0,05	0,04	0,04	0,04	0,03	0,03	0,03	0,03
	$\delta_{v\infty}$ [mm/kN]	0,09	0,08	0,07	0,06	0,06	0,05	0,05	0,05	0,04	0,04

System iniekcyjny Hilti HIT-HY 200-R V3

Charakterystyki

Przemieszczenia dla prętów zbrojeniowych



Tabela C17: Podstawowe charakterystyki dla prętów gwintowanych, HAS-U-..., HIT-V-... oraz AM 8.8 pod wpływem obciążen rozciągających dla kategorii właściwości sejsmicznych C1

Pręt gwintowany, HAS-U-..., HIT-V-... oraz AM 8.8	M10	M12	M16	M20	M24	M27	M30
Zniszczenie stali							
HAS-U-5.8 (HDG), HIT-V-5.8(F), Pręt gwintowany 5.8							
N _{Rk,s,seis} [kN]	29	42	79	123	177	230	281
HAS-U-8.8 (HDG), HIT-V-8.8(F), Pręt gwintowany 8.8, AM 8.8	N _{Rk,s,seis} [kN]	46	67	126	196	282	367
N _{Rk,s,seis} [kN]	41	59	110	172	247	230	281
HAS-U A4, HIT-V-R, Pręt gwintowany A4-70	N _{Rk,s,seis} [kN]	46	67	126	196	247	321
N _{Rk,s,seis} [kN]	46	67	126	196	247	321	393
Zniszczenie przez kombinację wyciągnięcia kotwy i wyłamania stożka betonu							
Charakterystyczna nośność wiązania chemicznego w betonie spękanym klasy C20/25							
Zakres temperatur I: 40 °C/24 °C	τ _{Rk,seis} [N/mm ²]	5,2				7,0	
Zakres temperatur II: 80 °C/50 °C	τ _{Rk,seis} [N/mm ²]	3,9				5,7	
Zakres temperatur III: 120 °C/72 °C	τ _{Rk,seis} [N/mm ²]	3,5				4,8	

Tabela C18: Podstawowe charakterystyki dla prętów gwintowanych, HAS-U-..., HIT-V-... oraz AM 8.8 pod wpływem obciążen ścinających dla kategorii właściwości sejsmicznych C1

Pręt gwintowany, HAS-U-..., HIT-V-... oraz AM 8.8	M10	M12	M16	M20	M24	M27	M30
Zniszczenie stali bez oddziaływania momentu zginającego							
HAS-U-5.8 (HDG), HIT-V-5.8(F), Pręt gwintowany 5.8							
V _{Rk,s,seis} [kN]	11	15	27	43	62	81	98
HAS-U-8.8 (HDG), HIT-V-8.8(F), Pręt gwintowany 8.8, AM 8.8	V _{Rk,s,seis} [kN]	16	24	44	69	99	129
V _{Rk,s,seis} [kN]	16	24	44	69	87	113	137
HAS-U A4, HIT-V-R, Pręt gwintowany A4-70	V _{Rk,s,seis} [kN]	14	21	39	60	87	104
HAS-U HCR, HIT-V-HCR, Pręt gwintowany HCR-80	V _{Rk,s,seis} [kN]	16	24	44	69	87	104

Tabela C19: Przesunięcia pod wpływem obciążen rozciągających dla kategorii właściwości sejsmicznych C1

Pręt gwintowany, HAS-U-..., HIT-V-... oraz AM 8.8	M10	M12	M16	M20	M24	M27	M30
Przesunięcie ¹⁾ δ _{N,seis} [mm]	0,8	0,8	0,8	0,8	0,8	0,8	0,8

¹⁾ Maksymalne przesunięcie w trakcie trwania obciążenia cyklicznego (zjawiska sejsmiczne).

Tabela C20: Przesunięcia pod wpływem obciążen ścinających dla kategorii właściwości sejsmicznych C1

Pręt gwintowany, HAS-U-..., HIT-V-... oraz AM 8.8	M10	M12	M16	M20	M24	M27	M30
Przesunięcie ¹⁾ δ _{V,seis} [mm]	3,5	3,8	4,4	5,0	5,6	6,1	6,5

¹⁾ Maksymalne przesunięcie w trakcie trwania obciążenia cyklicznego (zjawiska sejsmiczne).

System iniekcyjny Hilti HIT-HY 200-R V3

Charakterystyki

Podstawowe charakterystyki dla kategorii właściwości sejsmicznych C1 oraz przesunięcia.



Tabela C21: Podstawowe charakterystyki dla kotwy rozciąganej Hilti HZA, HZA-R pod wpływem obciążen rozciągających dla kategorii właściwości sejsmicznych C1

Kotwa rozciągana Hilti HZA, HZA-R	M12	M16	M20	M24	M27
Zniszczenie stali					
Nośność charakterystyczna HZA $N_{Rk,s,seis}$ [kN]	46	86	135	194	253
Nośność charakterystyczna HZA-R $N_{Rk,s,seis}$ [kN]	62	111	173	248	¹⁾
Częściowy współczynnik bezpieczeństwa $\gamma_{Ms,N,seis}$ ²⁾ [-]	1,4				
Zniszczenie przez kombinację wyciągnięcia kotwy i wyłamania stożka betonu					
Średnica pręta zbrojeniowego d [mm]	12	16	20	25	28
Charakterystyczna nośność wiązania chemicznego w betonie spękanym klasy C20/25					
Zakres temperatur I: 40°C/24°C $\tau_{Rk,cr}$ [N/mm ²]	6,1				
Zakres temperatur II: 80°C/50°C $\tau_{Rk,cr}$ [N/mm ²]	4,8				
Zakres temperatur III: 120°C/72°C $\tau_{Rk,cr}$ [N/mm ²]	4,4				

1) Nie określono charakterystyki.

2) W przypadku braku przepisów krajowych.

Tabela C22: Podstawowe charakterystyki dla kotwy rozciąganej Hilti HZA, HZA-R pod wpływem obciążen ścinających dla kategorii właściwości sejsmicznych C1

Kotwa rozciągana Hilti HZA, HZA-R	M12	M16	M20	M24	M27
Zniszczenie stali bez oddziaływanie momentu zginającego					
Nośność charakterystyczna HZA $V_{Rk,s,seis}$ [kN]	16	30	47	68	88
Nośność charakterystyczna HZA-R $V_{Rk,s,seis}$ [kN]	22	39	60	124	¹⁾
Częściowy współczynnik bezpieczeństwa $\gamma_{Ms,V,seis}$ ²⁾ [-]	1,5				

1) Nie określono charakterystyki.

2) W przypadku braku przepisów krajowych.

Tabela C23: Przemieszczenia pod wpływem obciążen rozciągających dla kategorii właściwości sejsmicznych C1

Kotwa rozciągana Hilti HZA, HZA-R	M12	M16	M20	M24	M27
Przemieszczenie ¹⁾ $\delta_{N,seis}$ [mm]	1,3	1,3	1,3	1,3	1,3

1) Maksymalne przemieszczenie w trakcie trwania obciążenia cyklicznego (zjawiska sejsmicznego).

Tabela C24: Przemieszczenia pod wpływem obciążen ścinających dla kategorii właściwości sejsmicznych C1

Kotwa rozciągana Hilti HZA, HZA-R	M12	M16	M20	M24	M27
Przemieszczenie ¹⁾ $\delta_{V,seis}$ [mm]	3,8	4,4	5,0	5,6	6,1

1) Maksymalne przemieszczenie w trakcie trwania obciążenia cyklicznego (zjawiska sejsmicznego).

System iniekcyjny Hilti HIT-HY 200-R V3

Charakterystyki

Podstawowe charakterystyki dla kategorii właściwości sejsmicznych C1 oraz przemieszcznia.



Tabela C25: Podstawowe charakterystyki dla prętów zbrojeniowych pod wpływem obciążen rozciągających dla kategorii właściwości sejsmicznych C1

Pręt zbrojeniowy	φ 10	φ 12	φ 14	φ 16	φ 20	φ 25	φ 26	φ 28	φ 30	φ 32
Zniszczenie stali										
Nośność charakterystyczna dla pręta zbrojeniowego B500B $N_{Rk,seis}$ [kN] 43 62 85 111 173 270 292 339 388 442 według normy DIN 488:2009-08										
Zniszczenie przez kombinację wyciągnięcia kotwy i wyłamania stożka betonu										
Średnica pręta zbrojeniowego d [mm]	10	12	14	16	20	25	26	28	30	32
Charakterystyczna nośność wiązania chemicznego w betonie spękanym klasy C20/25										
Zakres temperatur I: 40°C/24°C $\tau_{Rk,cr}$ [N/mm ²]	4,4									
Zakres temperatur II: 80°C/50°C $\tau_{Rk,cr}$ [N/mm ²]	3,5									
Zakres temperatur III: 120°C/72°C $\tau_{Rk,cr}$ [N/mm ²]	3									

Tabela C26: Podstawowe charakterystyki dla prętów zbrojeniowych pod wpływem obciążen ścinających dla kategorii właściwości sejsmicznych C1

Pręt zbrojeniowy	φ 10	φ 12	φ 14	φ 16	φ 20	φ 25	φ 26	φ 28	φ 30	φ 32
Zniszczenie stali bez oddziaływanie momentu zginającego										
Nośność charakterystyczna dla pręta zbrojeniowego B500B $V_{Rk,s,seis}$ [kN] 15 22 29 39 60 95 102 118 135 165 według normy DIN 488:2009-08										

Tabela C27: Przemieszczenia pod wpływem obciążen rozciągających dla kategorii właściwości sejsmicznych C1

Pręt zbrojeniowy	φ 10	φ 12	φ 14	φ 16	φ 20	φ 25	φ 26	φ 28	φ 30	φ 32
Przemieszczenie ¹⁾ $\delta_{N,seis}$ [mm]	1,3	1,3	1,3	1,3	1,3	1,3	1,3	1,3	1,3	1,3

¹⁾ Maksymalne przemieszczenie w trakcie trwania obciążenia cyklicznego (zjawiska sejsmicznego).

Tabela C28: Przemieszczenia pod wpływem obciążen ścinających dla kategorii właściwości sejsmicznych C1

Pręt zbrojeniowy	φ 10	φ 12	φ 14	φ 16	φ 20	φ 25	φ 26	φ 28	φ 30	φ 32
Przemieszczenie ¹⁾ $\delta_{V,seis}$ [mm]	3,5	3,8	4,1	4,4	5,0	5,8	6,2	6,2	6,8	6,8

¹⁾ Maksymalne przemieszczenie w trakcie trwania obciążenia cyklicznego (zjawiska sejsmicznego).

System iniekcyjny Hilti HIT-HY 200-R V3

Charakterystyki

Podstawowe charakterystyki dla kategorii właściwości sejsmicznych C1 oraz przemieszcznia.



Tabela C29: Podstawowe charakterystyki dla prętów gwintowanych, HAS-U-..., HIT-V... oraz AM 8.8 pod wpływem obciążen rozciągających dla kategorii właściwości sejsmicznych C2

Pręt gwintowany, HAS-U-..., HIT-V-... oraz AM 8.8	M16	M20	M24	
Zniszczenie stali				
HAS-U 8.8 (HDG), HIT-V (-F) 8.8, AM (HDG) 8.8 Pręty gwintowane dostępne w handlu ocynkowane galwanicznie klasy 8.8	$N_{Rk,s,seis}$ [kN]	126	196	282
Zniszczenie przez kombinację wyciągnięcia kotwy i wylamania stożka betonu				
Charakterystyczna nośność wiązania chemicznego w betonie spękanym klasy C20/25 w otworach wywierconych udarowo oraz udarowo przy użyciu wiertel rurowych Hilti TE-CD lub TE-YD				
Zakres temperatur I: 40 °C/24 °C	$\tau_{Rk,seis}$ [N/mm ²]	3,9	4,3	3,5
Zakres temperatur II: 80 °C/50 °C	$\tau_{Rk,seis}$ [N/mm ²]	3,3	3,7	2,9
Zakres temperatur III: 120 °C/72 °C	$\tau_{Rk,seis}$ [N/mm ²]	2,8	3,2	2,5

Tabela C30: Podstawowe charakterystyki dla prętów gwintowanych, HAS-U-..., HIT-V-... oraz AM 8.8 pod wpływem obciążen ścinających dla kategorii właściwości sejsmicznych C2

Pręt gwintowany, HAS-U-..., HIT-V-... oraz AM 8.8	M16	M20	M24	
Zniszczenie stali bez oddziaływania momentu zginającego z Zestawem Hilti do wypełniania				
HAS-U 8.8, HIT-V 8.8, AM 8.8	$V_{Rk,s,seis}$ [kN]	46	77	103
Zniszczenie stali bez oddziaływania momentu zginającego bez Zestawu Hilti do wypełniania				
HAS-U 8.8, HIT-V 8.8, AM 8.8	$V_{Rk,s,seis}$ [kN]	40	71	90
HAS-U 8.8 HDG, HIT-V-F 8.8, AM-HDG 8.8	$V_{Rk,s,seis}$ [kN]	30	46	66
Pręty gwintowane dostępne w handlu ocynkowane galwanicznie klasy 8.8	$V_{Rk,s,seis}$ [kN]	28	50	63

System iniekcyjny Hilti HIT-HY 200-R V3

Charakterystyki

Podstawowe charakterystyki dla kategorii właściwości sejsmicznych C2.



Załącznik C16

Tabela C31: Przemieszczenia pod wpływem obciążen rozciągających dla kategorii właściwości sejsmicznych C2

Pręt gwintowany, HAS-U-..., HIT-V-... oraz AM 8.8	M16	M20	M24
Przemieszczenie DLS, HAS-U 8.8 (HDG), HIT-V (-F) 8.8, AM (HDG) 8.8 $\delta_{N,seis(DLS)}$ [mm]	0,2	0,5	0,4
Przemieszczenie ULS, HAS-U 8.8 (HDG), HIT-V (-F) 8.8, AM (HDG) 8.8 $\delta_{N,seis(ULS)}$ [mm]	0,6	0,8	1,0

Tabela C32: Przemieszczenia pod wpływem obciążen ścinających dla kategorii właściwości sejsmicznych C2

Pręt gwintowany, HAS-U-..., HIT-V-... oraz AM 8.8	M16	M20	M24
Montaż z Zestawem Hilti do wypełniania			
Przemieszczenie DLS, HAS-U 8.8, HIT-V 8.8, AM 8.8 $\delta_{V,seis(DLS)}$ [mm]	1,2	1,4	1,1
Przemieszczenie ULS, HAS-U 8.8, HIT-V 8.8, AM 8.8 $\delta_{V,seis(ULS)}$ [mm]	3,2	3,8	2,6
Montaż bez Zestawu Hilti do wypełniania			
Przemieszczenie DLS, HAS-U 8.8, HIT-V 8.8, AM 8.8 $\delta_{V,seis(DLS)}$ [mm]	3,2	2,5	3,5
Przemieszczenie DLS, HAS-U 8.8 HDG, HIT-V-F 8.8, AM HDG 8.8 $\delta_{V,seis(DLS)}$ [mm]	2,3	3,8	3,7
Przemieszczenie ULS, HAS-U 8.8, HIT-V 8.8, AM 8.8 $\delta_{V,seis(ULS)}$ [mm]	9,2	7,1	10,2
Przemieszczenie ULS, HAS-U 8.8 HDG, HIT-V-F 8.8, AM HDG 8.8 $\delta_{V,seis(ULS)}$ [mm]	4,3	9,1	8,4

System iniekcyjny Hilti HIT-HY 200-R V3

Charakterystyki

Przemieszczenia dla kategorii właściwości sejsmicznych C2.



koniec dokumentu

Ja, tłumacz przysięgły języka angielskiego mgr Agnieszka Modrzejewska-Fryżewska, TP 4738/05, zaświadczam zgodność niniejszego tłumaczenia z okazanym mi dokumentem w języku angielskim w 18 listopada 2019r.

Repertorium nr 24/2019

Tłumacz przysięgły

Agnieszka Modrzejewska-Fryżewska



TŁUMACZ PRZYSIĘGŁY JĘZYKA ANGIELSKIEGO

mgr Agnieszka Modrzejewska-Fryżewska

ul. Żmudzka 12a/6

85-028 Bydgoszcz tel. 510 199 883

tłumaczenie z języka angielskiego

tekst drukowany (40 stron)

początek dokumentu

